#### PLANETAS E SISTEMAS PLANETÁRIOS (AGA0502)

2MASSWJ1207334-393254

**Enos Picazzio (IAGUSP)** 



### **Conceitos antigos**

Assim surgem os mundos: corpos de todos os tamanhos e formas movem-se do infinito em um grande vácuo; lá eles juntam-se, rodopiam e formam um único vórtice, uns colidindo com outros, revolvendo de todas as maneiras, e começam a separar-se uns dos outros. Leucippus (~480-420 a.C.)

Há infinitos mundos, parecidos ou não como o nosso. Assim como os átomos são infinitos em número, como já foi provado, (...) não há em nenhuma parte obstáculo ao número infinito de mundos.

Epicurus (341-270 a.C.)

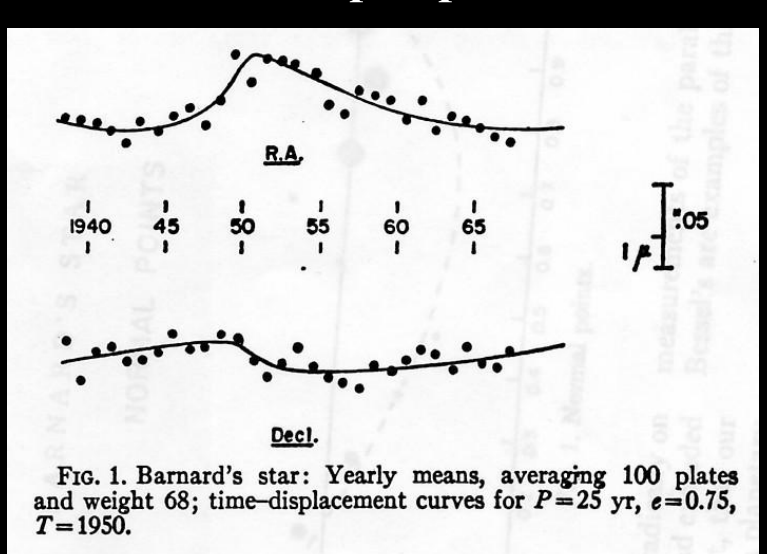
Não pode haver mais mundos que um. Aristóteles (384-322 a.C.)

Existem inúmeros sóis com inúmeras terras girando em torno deles...Seres vivos habitam esses mundos. Giordano Bruno (1548 - 1600)

#### **Conceitos modernos**

• Christian Huygens (1629 - 1695): primeira procura por planetas extrasolares documentada no final do séc. 17.

Peter van de Kamp (~1950): placas fotográficas registrando o movimento próprio da Estrela de Barnard:



Sua conclusão: o balanço (oscilação) é causado por um planeta com cerca de <u>1,6 massa de Júpiter</u>, em órbita excêntrica.



Refinando os cálculos (~1982) concluiu haver dois planetas em órbitas circulares, com <u>0,7 e 0,5 massa de Júpiter</u>.

Muitos tentaram verificar os trabalhos de van de Kamp mas não encontraram oscilações; as encontradas estavam dentro da margem de erro do método utilizado. Peter van de Kamp morreu em 1995 afirmando suas conclusões.

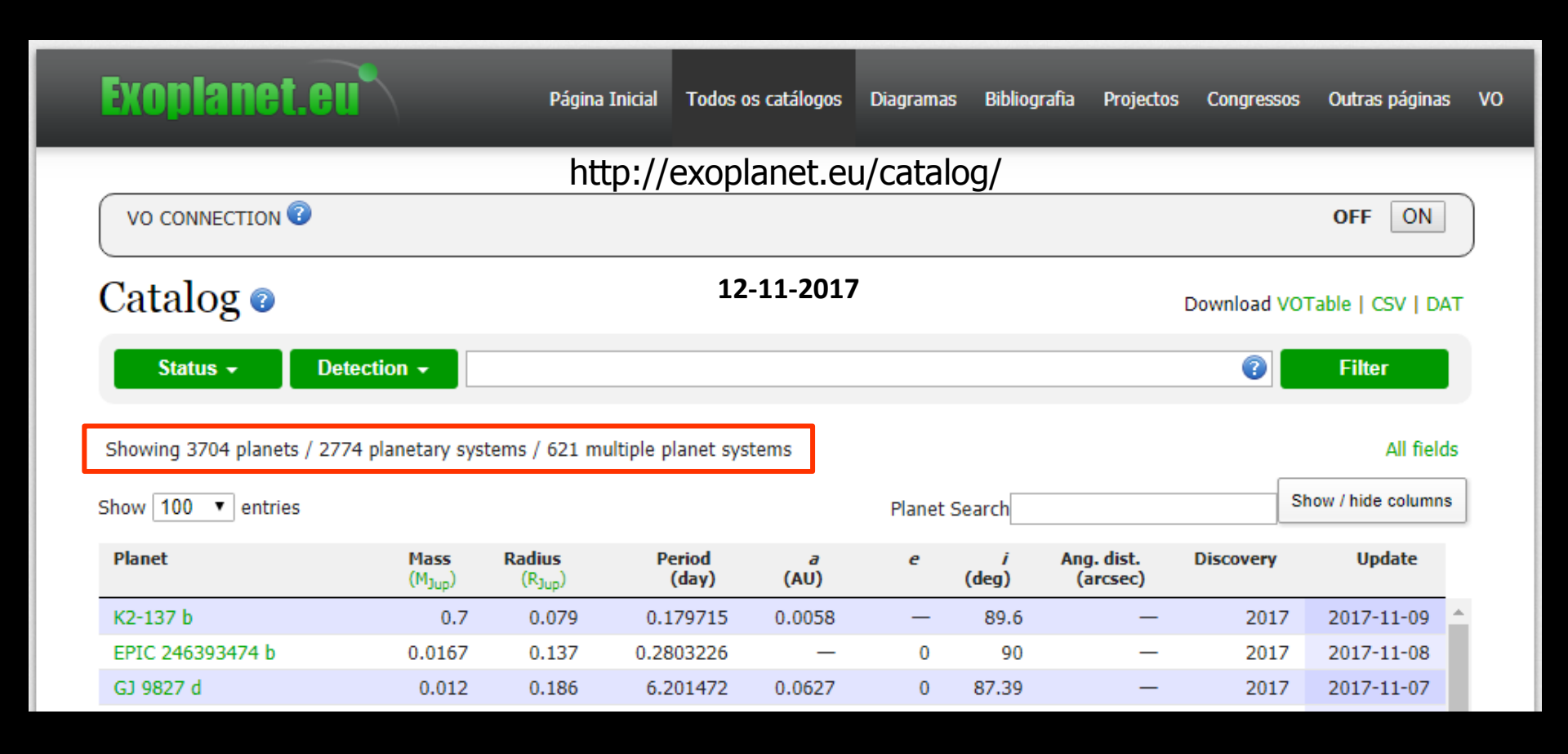
Planetas não foram confirmados.

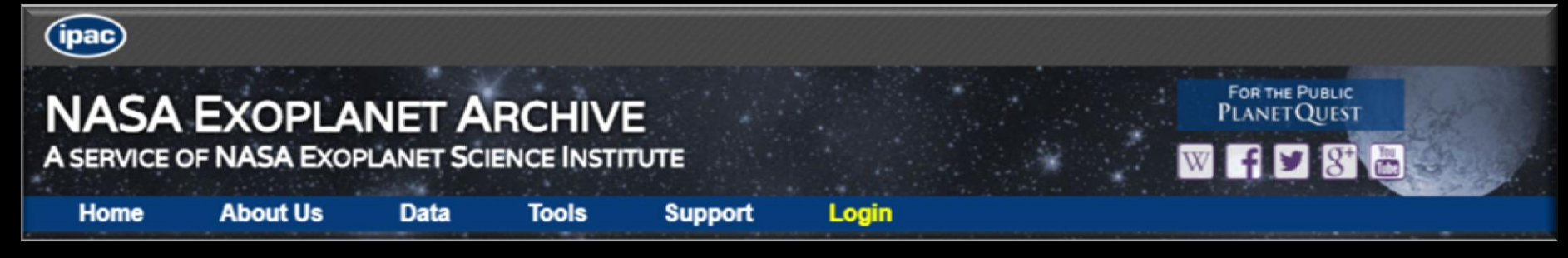
# BARNARD'S STAR AND VAN DE KAMP'S PLANETS: THE BEGINNING

by George H. Bell

In the September 15, 1916 issue of The Astronomical Journal (1) and the September 7, 1916 issue of Nature. (2) an article appeared that dealt with the discovery of a rather small, insignificant star that demonstrated a large proper motion. The purpose of the article was to alert the astronomical world that indeed, E.E. Barnard detected a unique find, that is a star with a proper motion larger than any star that had been studied previously. The large proper motion was calculated by Barnard to be approximately 10.3 arcseconds per year (3) The proper motion is defined as "the apparent angular motion per year of a star on the celestial sphere, i.e., in a direction perpendicular to the line of sight" (4) Proper motion is attributed to two basic permises, the star can move of its own accord

#### **Exoplanetas**





#### Luz refletida por um exoplaneta

Planeta, de raio R, na distância r da estrela intercepta

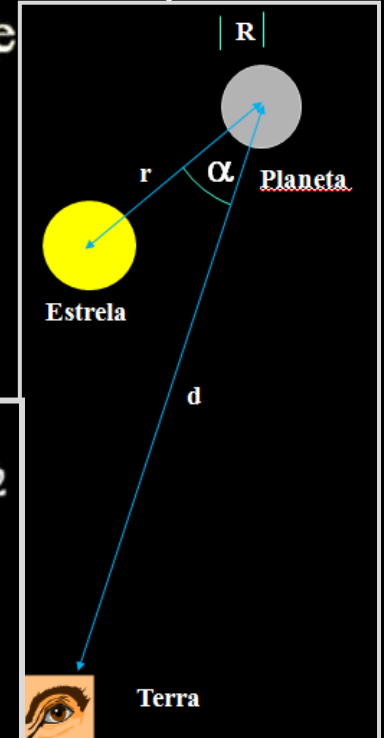
uma fração 
$$f = \frac{\pi R^2}{4\pi r^2} = \left(\frac{R}{2r}\right)^2$$
 da luminosidade da estrela

Suponha que o planeta reflita **toda** essa luz; a razão entre as luminosidades do planeta ( $L_p$ ) e da estrela ( $L_s$ ) será:

$$\frac{L_{\rm P}}{L_{\rm S}} = \left(\frac{R}{2r}\right)^2$$
Generalizando

http://www.astro.gla.ac.uk/users/martin/teaching/plystar/extra\_solar\_planets.ppt

 $\frac{L_{\rm p}}{L_{\rm s}} = p \left(\frac{R}{2r}\right)^2$  p - albedo



## Conceituação

#### **Exemplos**

$$\frac{L_{\rm P}}{L_{\rm S}} = \left(\frac{R}{2r}\right)^2$$

Sol – Terra:

$$R = 6.4 \times 10^6 \text{ m}$$
  
 $r = 1.5 \times 10^{11} \text{ m}$   $\Rightarrow \frac{L_P}{L_S} = 4.6 \times 10^{-10}$ 

Sol – Júpiter:

$$R = 7.2 \times 10^7 m$$
  $\Rightarrow \frac{L_P}{L_S} = 2.1 \times 10^{-9}$ 

Se fosse em torno da estrela Próxima Centauro (r = 4, 3  $10^{16}$  m):  $L_p/L_S = 7 \cdot 10^{-19}$ 

## Separação angular

Separação angular entre estrela e planeta é muito pequena

#### Unidades de Distância

Unidade Astronômica = distância média Terra-Sol

1 
$$U.A. = 1,496 \times 10^{11} \, \text{m}$$

Para distâncias interestelares: Ano Luz

$$1 \text{ ano } luz = 9,461 \times 10^{15} \text{ m}$$

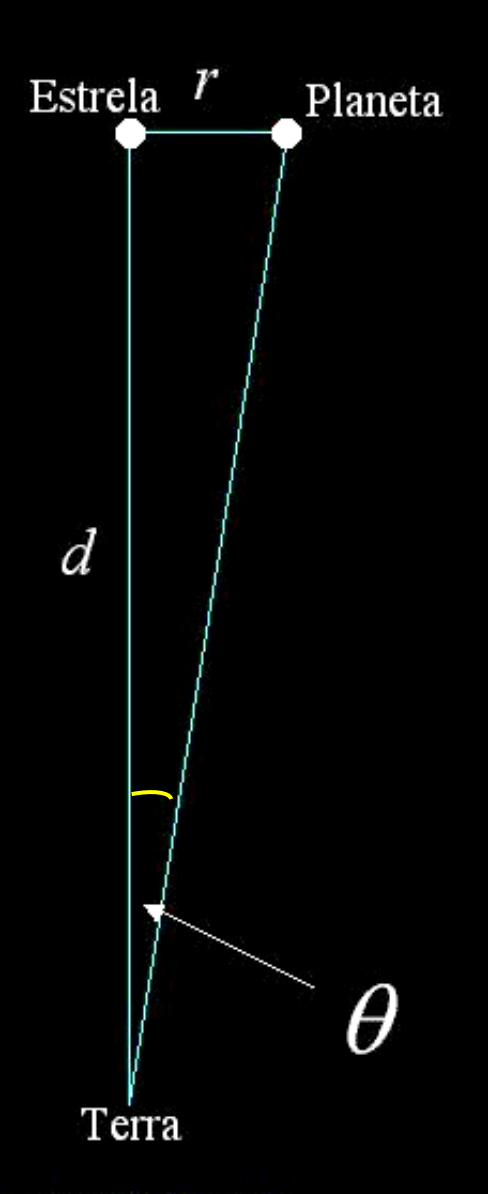
### Separação angular

Exemplo: planeta tipo Júpiter, orbitando estrela a 5 UA, distante 30 a.L.

$$d = 30 \text{ a.l.} = 2,8 \times 10^{17} \text{ m}$$
  
 $r = 5 \text{ U.A.} = 7,5 \times 10^{11} \text{ m}$ 

$$\tan\theta \cong \theta = \frac{r}{d}$$

$$\theta = 2.7 \times 10^{-6} \text{ radianos}$$
$$= 1.5 \times 10^{-4} \text{ grau}$$



### Telescópios ópticos

#### Potência de acúmulo de luz

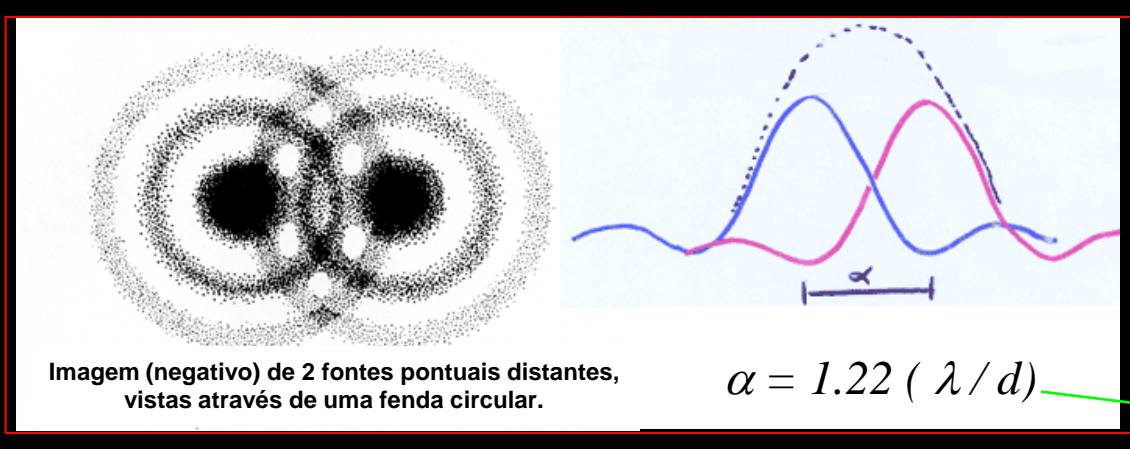
uma quantidade proporcional ao quadrado do diâmetro da objetiva

#### Campo de Visão

área visível, determinada pela abertura da entrada e a pupila de saída do sistema

#### Limite de resolução

distância mínima para que duas fontes possam ser distinguidas (Critério de Rayleigh, Sparrow...)

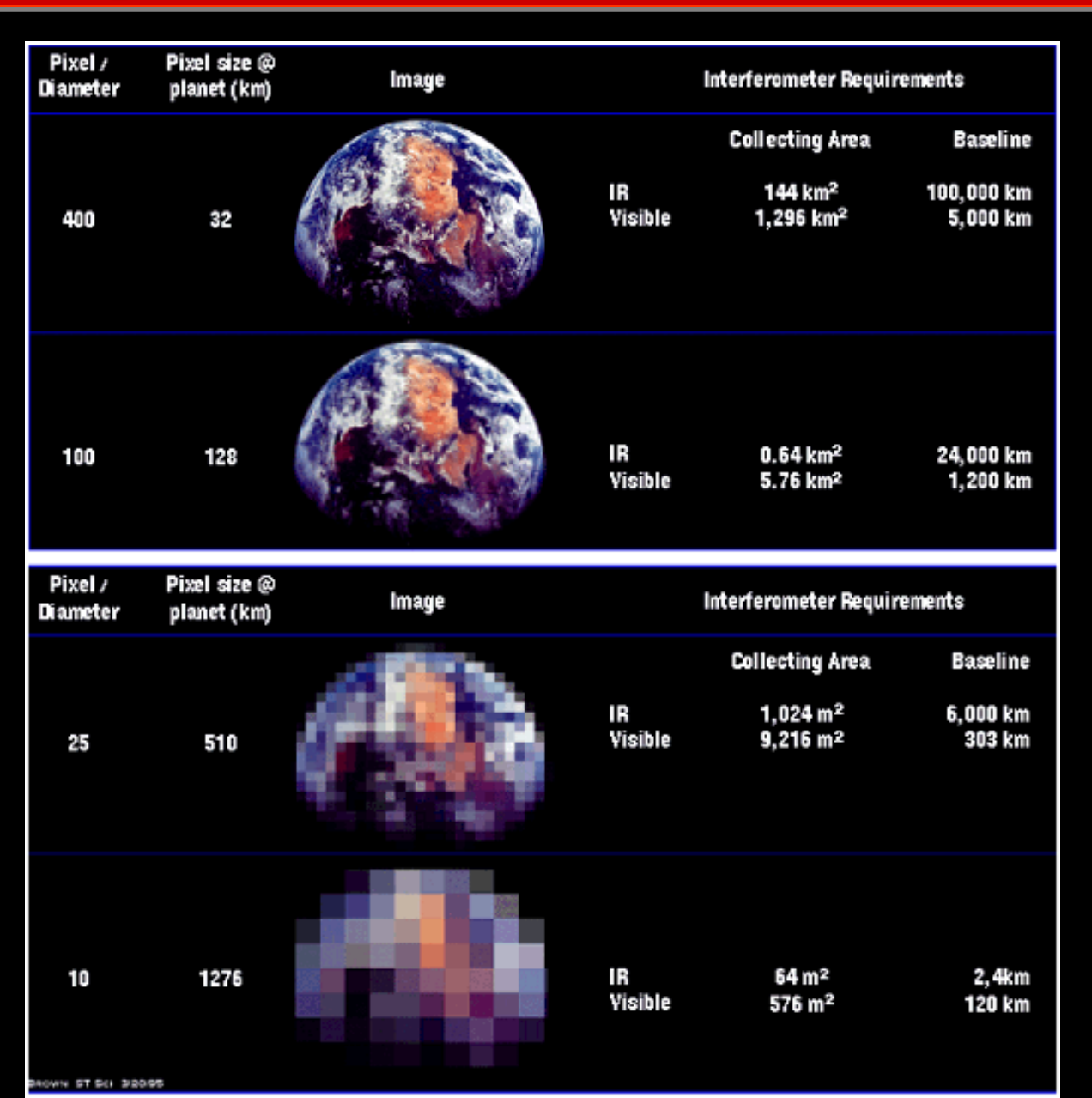


Critério: máximo de uma fonte coincide com o mínimo da outra. É o limite teórico de resolução de um telescópio -> melhora com o aumento da abertura "d":

- Telescópio LNA (1.6-m) = 0.71"
- Telescópio Hubble (2.5-m) = 0.046"
- Telescópio Keck (10-m) = 0.012"
  - Diâmetro do telescópio

### Telescópios ópticos e CCDs

Tamanho do pixel



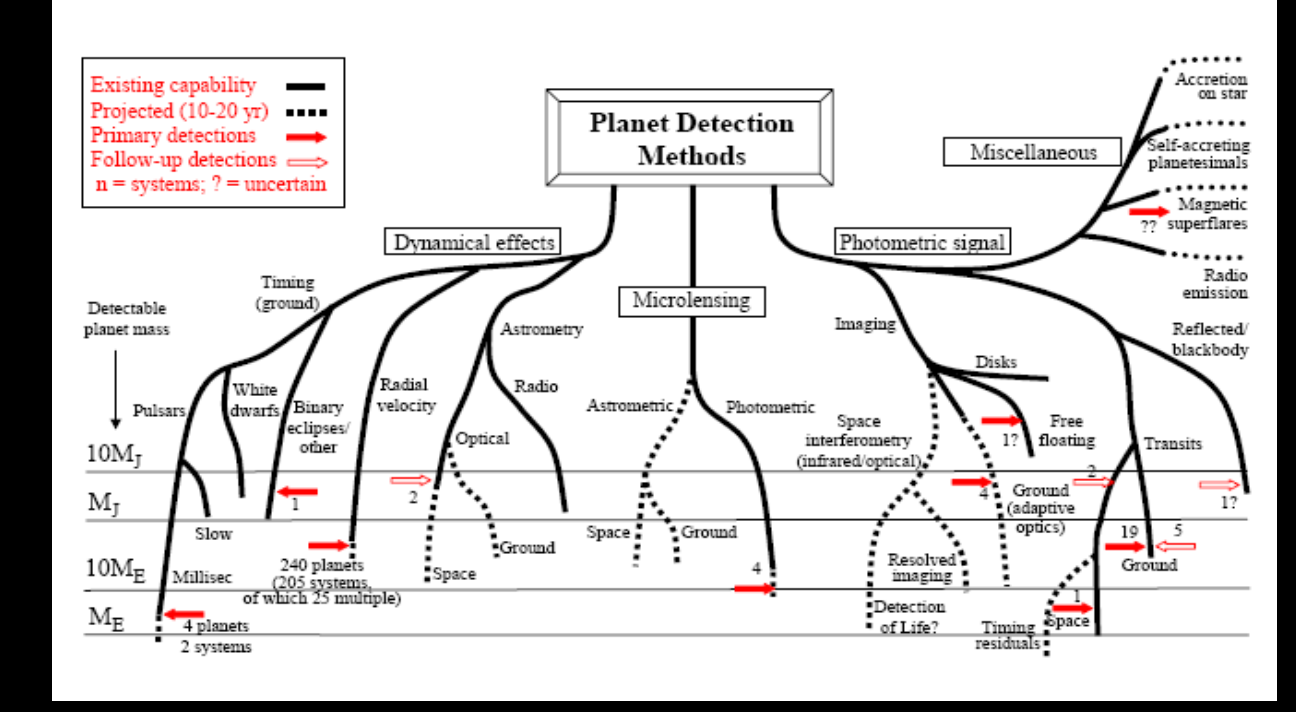
Tamanho do Telescópio

#### Métodos de detecção

- Velocidade Radial
- Astrometria
- Trânsitos
- "Pulsar timing"
- Lente Gravitacional
- Configuração de Disco
- Astrometria Diferencial
- Luz Refletida
- Luz Transmitida
- Emissões Aurorais
- Emissões Rádio
- Sinais Antropogênicos
- Imageamento por Coronógrafo
- Imageamento por Interferometria

#### Planet Detection Methods

Michael Perryman, Rep. Prog. Phys., 2000, 63, 1209 (updated 3 October 2007)

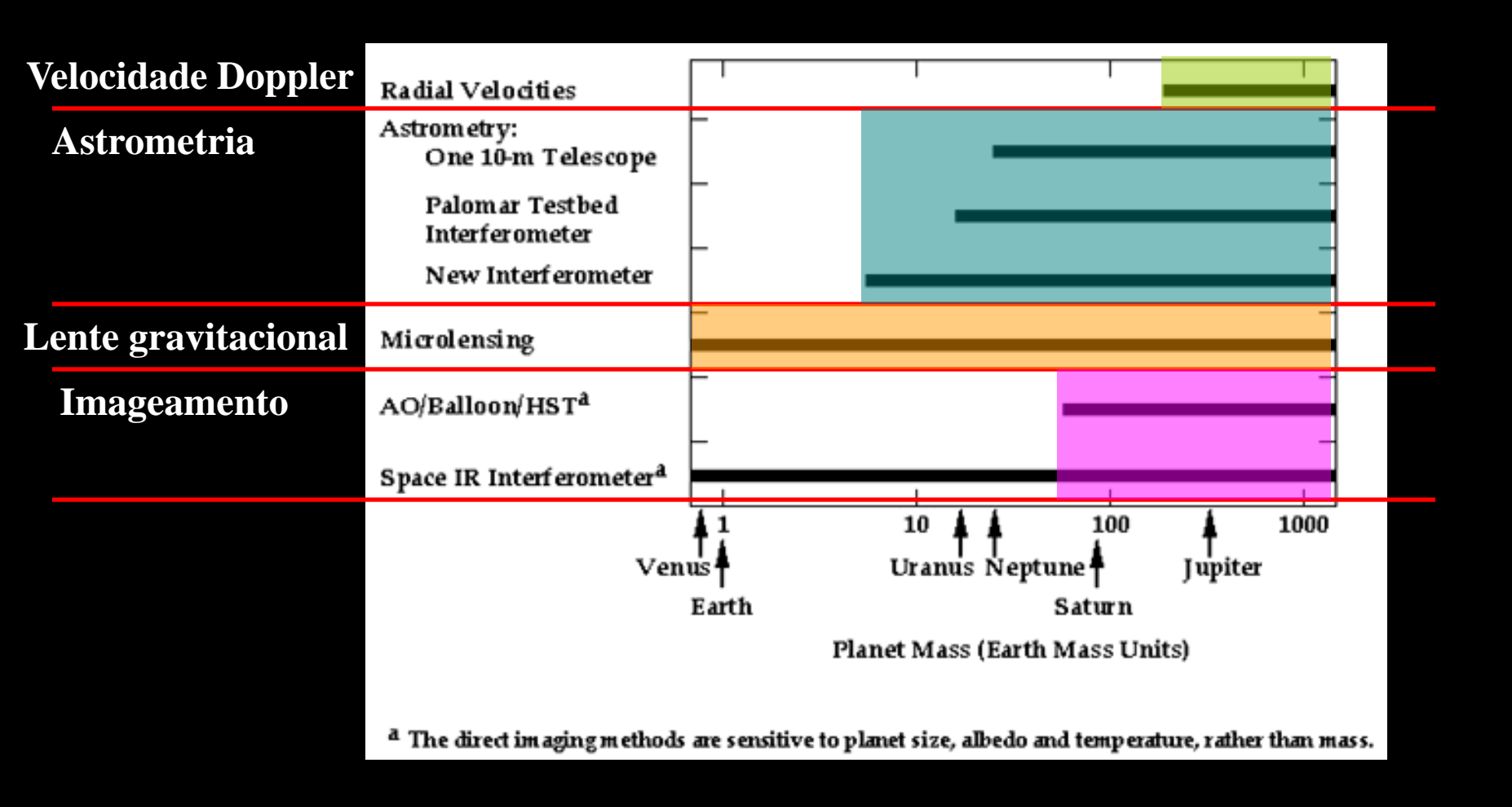


## Métodos de detecção

Velocidade radial	Movimento relativo da estrela projetado na direção do observador causa deslocamento Doppler no espectro estelar.
Astrometria	Movimento relativo da estrela projetado no plano do céu causa deslocamento aparente perceptível na posição da estrela.
Trânsito	Trânsitos dos planetas pelo disco estelar causa diminuição sutil de brilho da estrela, perceptível pela curva de luz .
Microlente gravitacional	Estrelas provocam efeito de lente ao transitarem em frente de estrelas de fundo. A presença de planetas provoca um pico na curva de luz da estrela de fundo.
Imageamento	Planetas refletem a luz da estrela e podem ser imageados. Método exige processo artificial para remover a imagem da estrela.

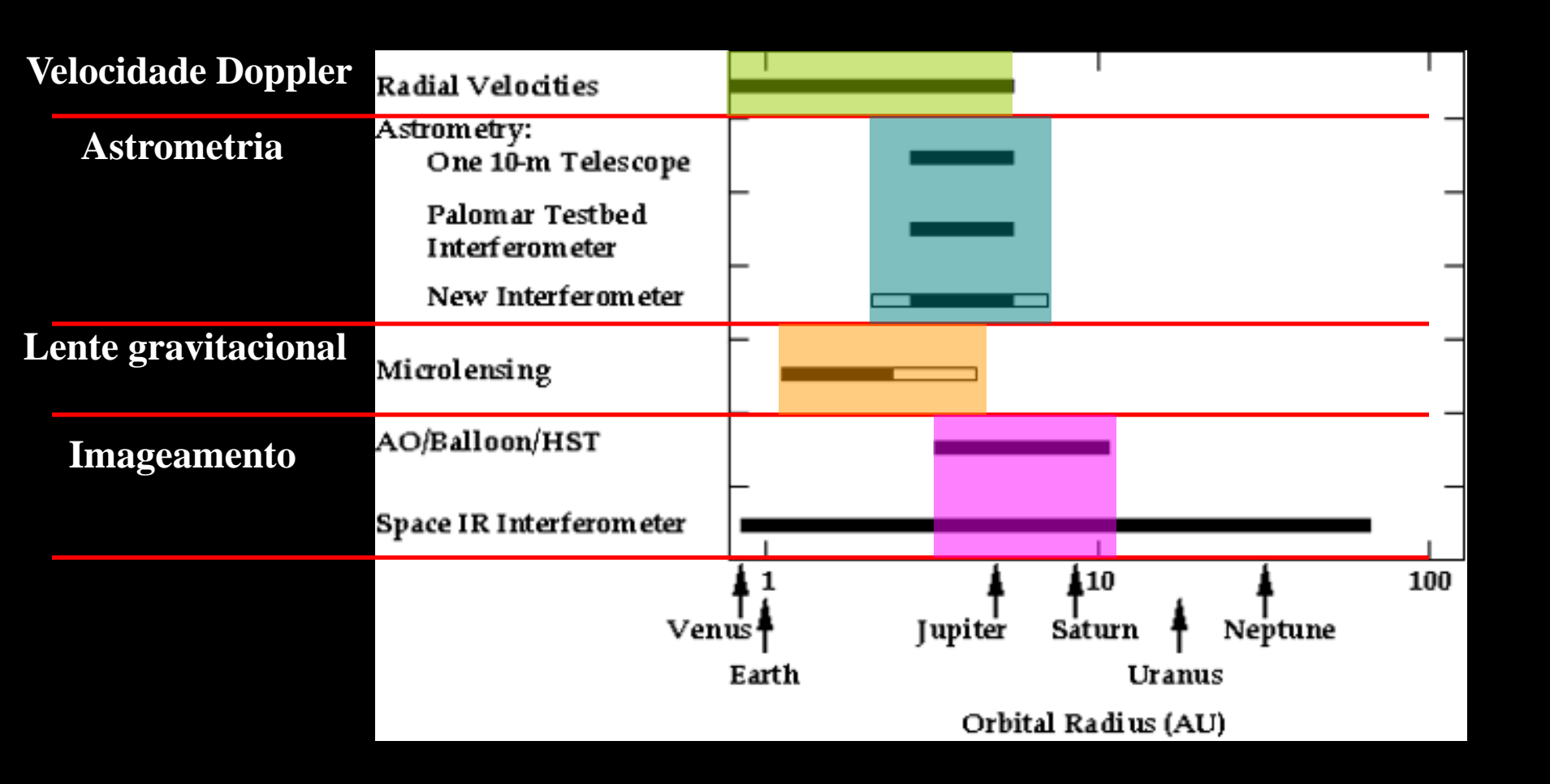
### Comparando os métodos:

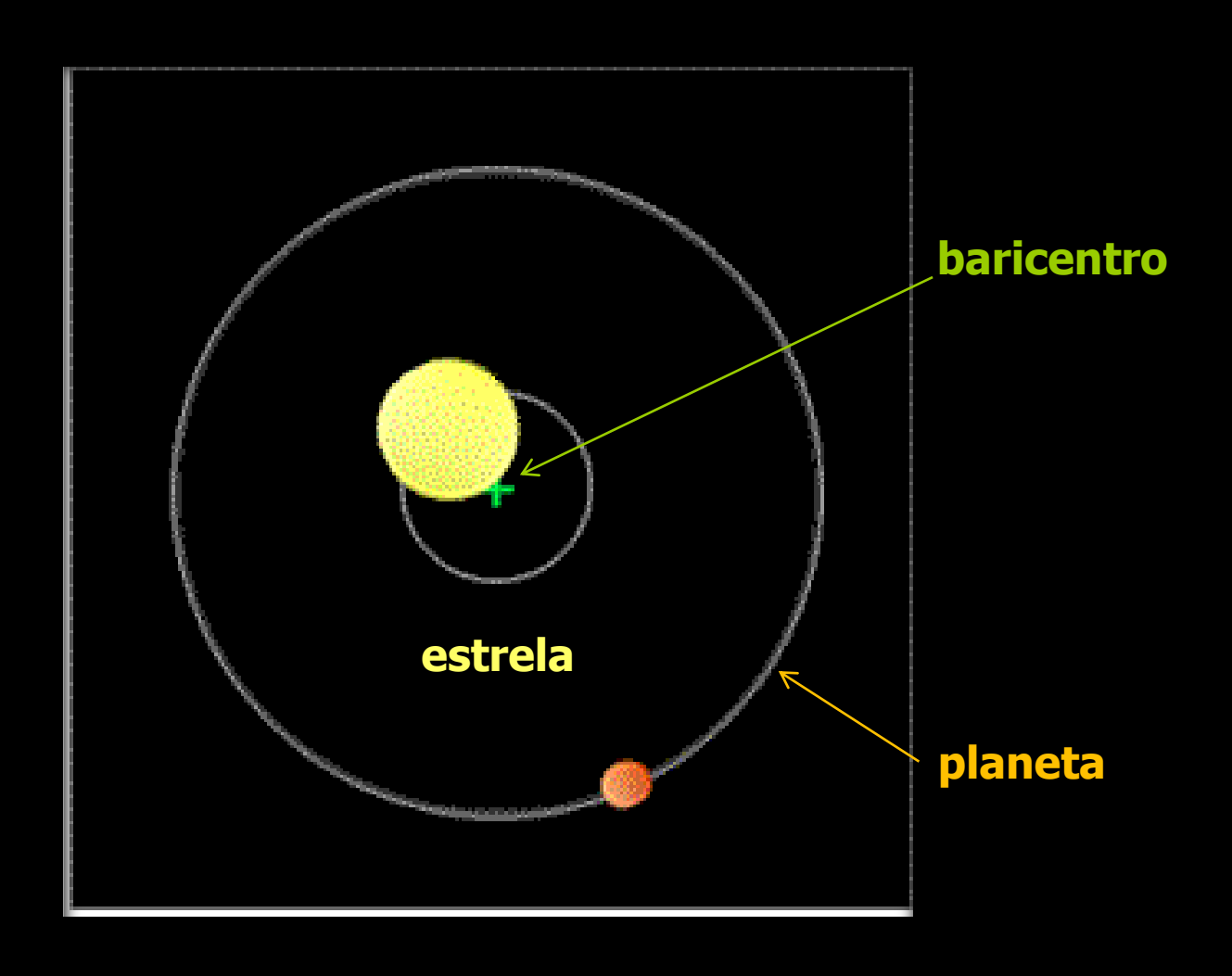
#### Critério: massa



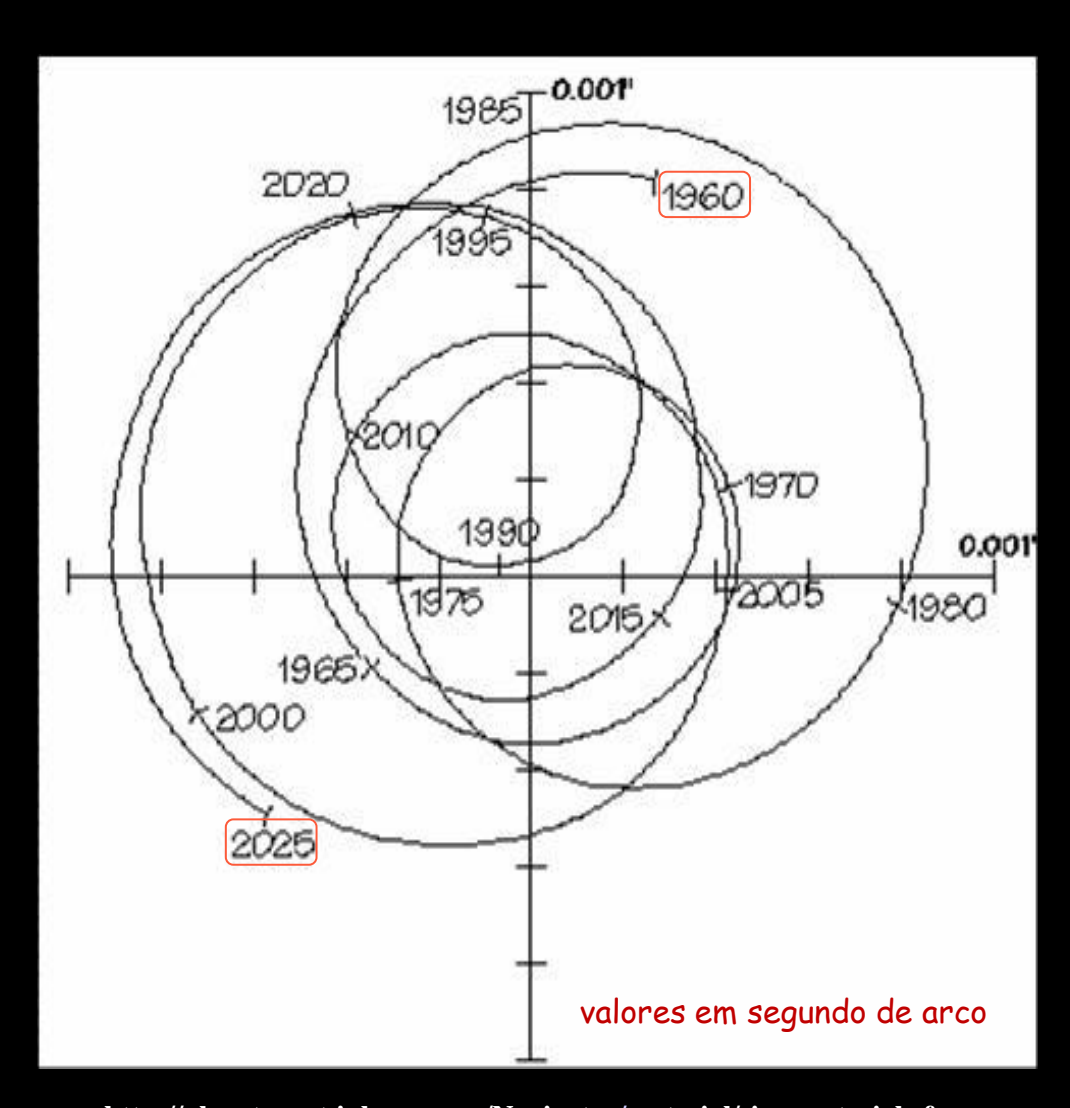
### Comparando os métodos:

#### Critério: órbita

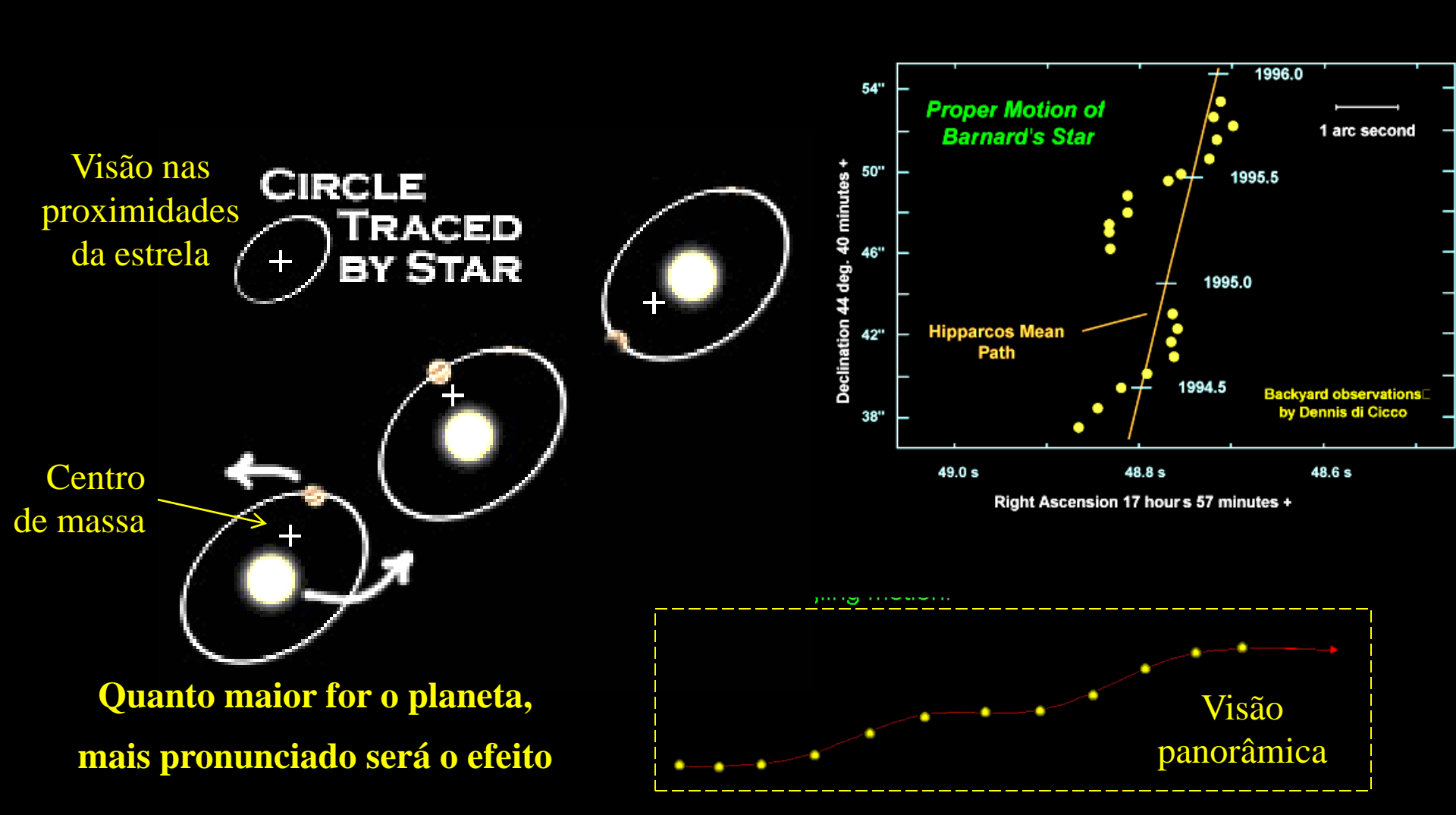




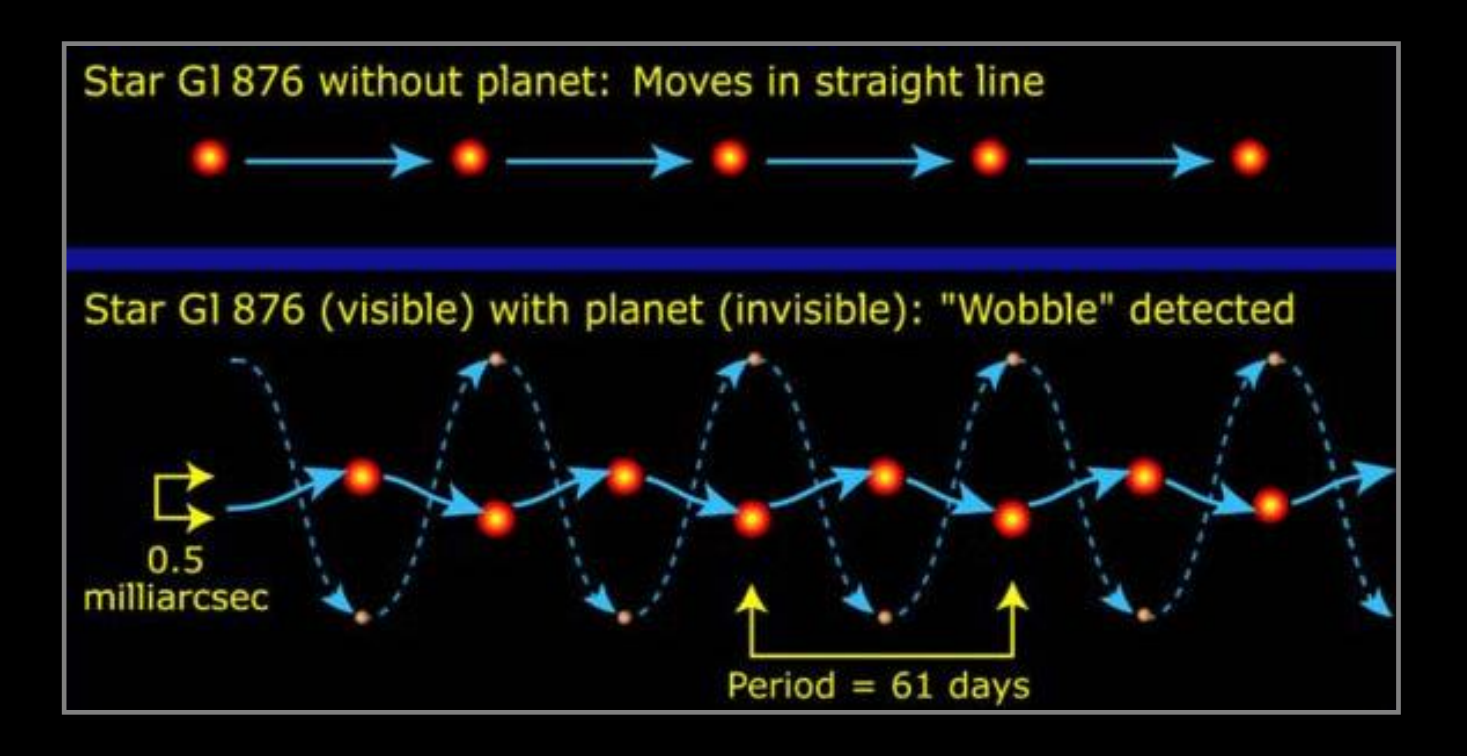
- Movimento do centro do Sol (ou do baricentro em relação ao centro do Sol) para o período de 1960 a 2025, visto de uma distância de 10 pc (~ 32 a.l.) na direção perpendicular ao plano da eclíptica (*i* = 0°).
- Astrometria apresenta precisão bem maior se observação for feita do espaço.



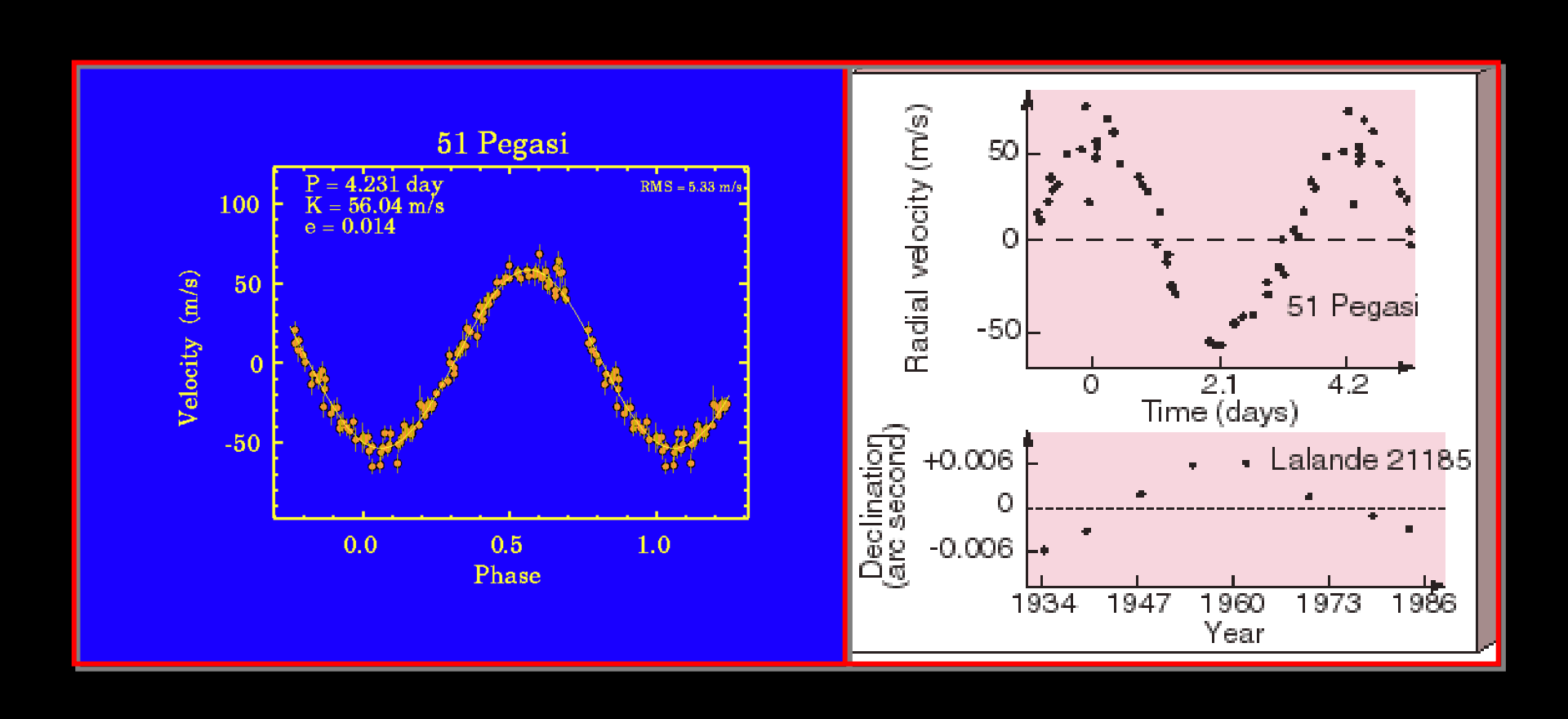
 $http://planet quest.jpl.nasa.gov/Navigator\underline{/}material/sim\underline{/}material.cfm$ 

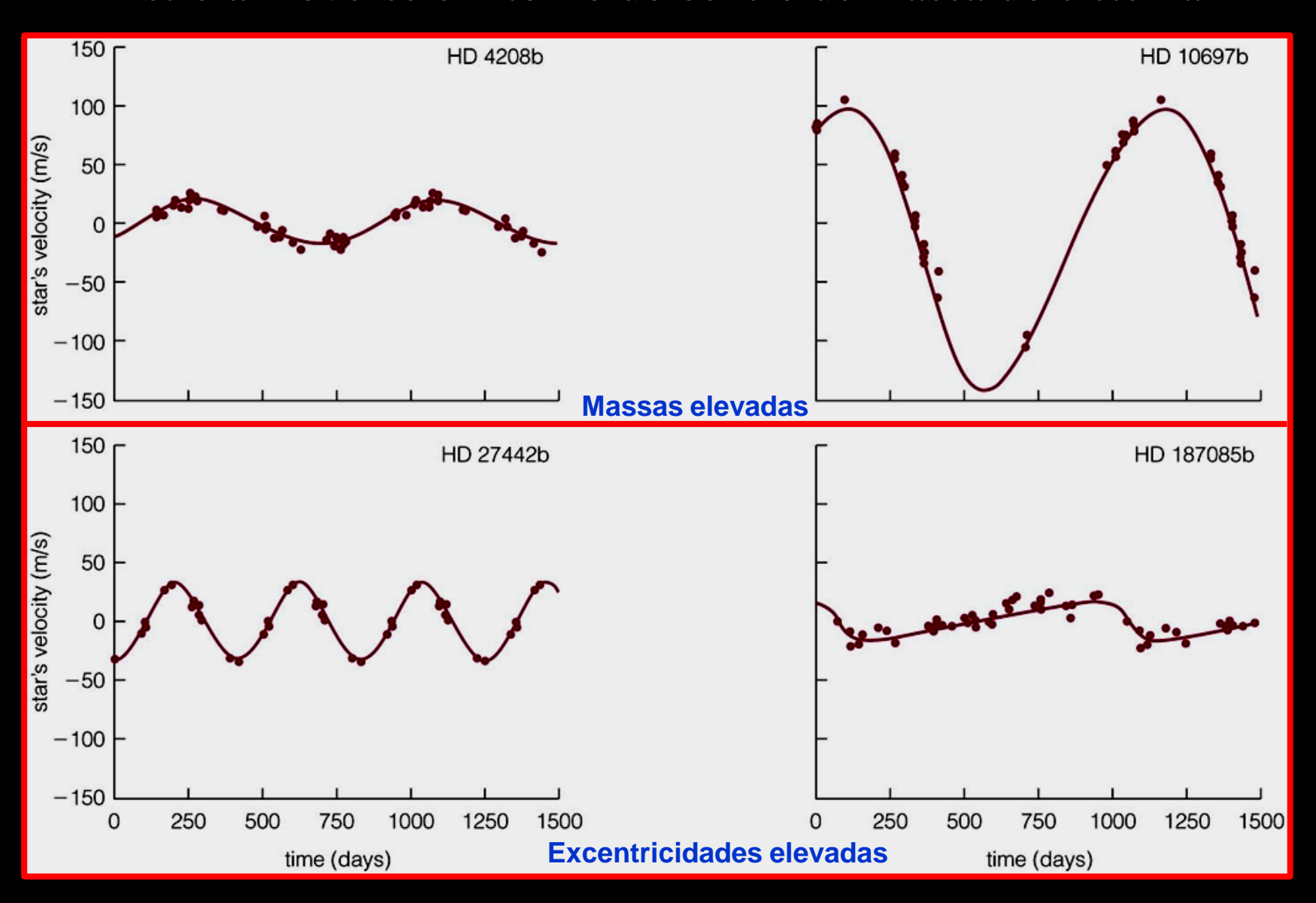


Estrela move-se em torno do centro de massa do sistema

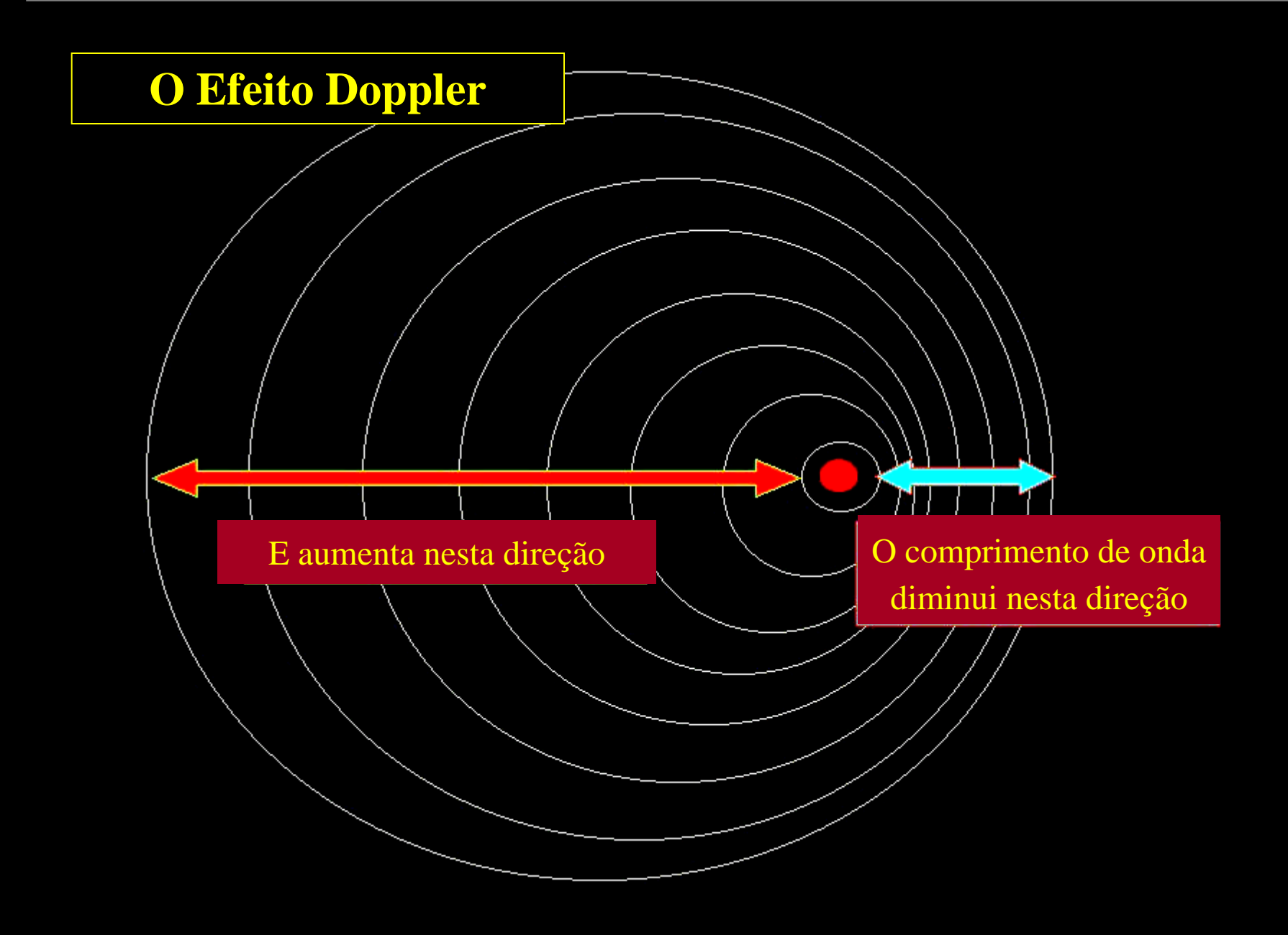


Os planetas da estrela Gliese 876, cerca de 15 anos-luz. O planeta tem quase a metade de seu tamanho.

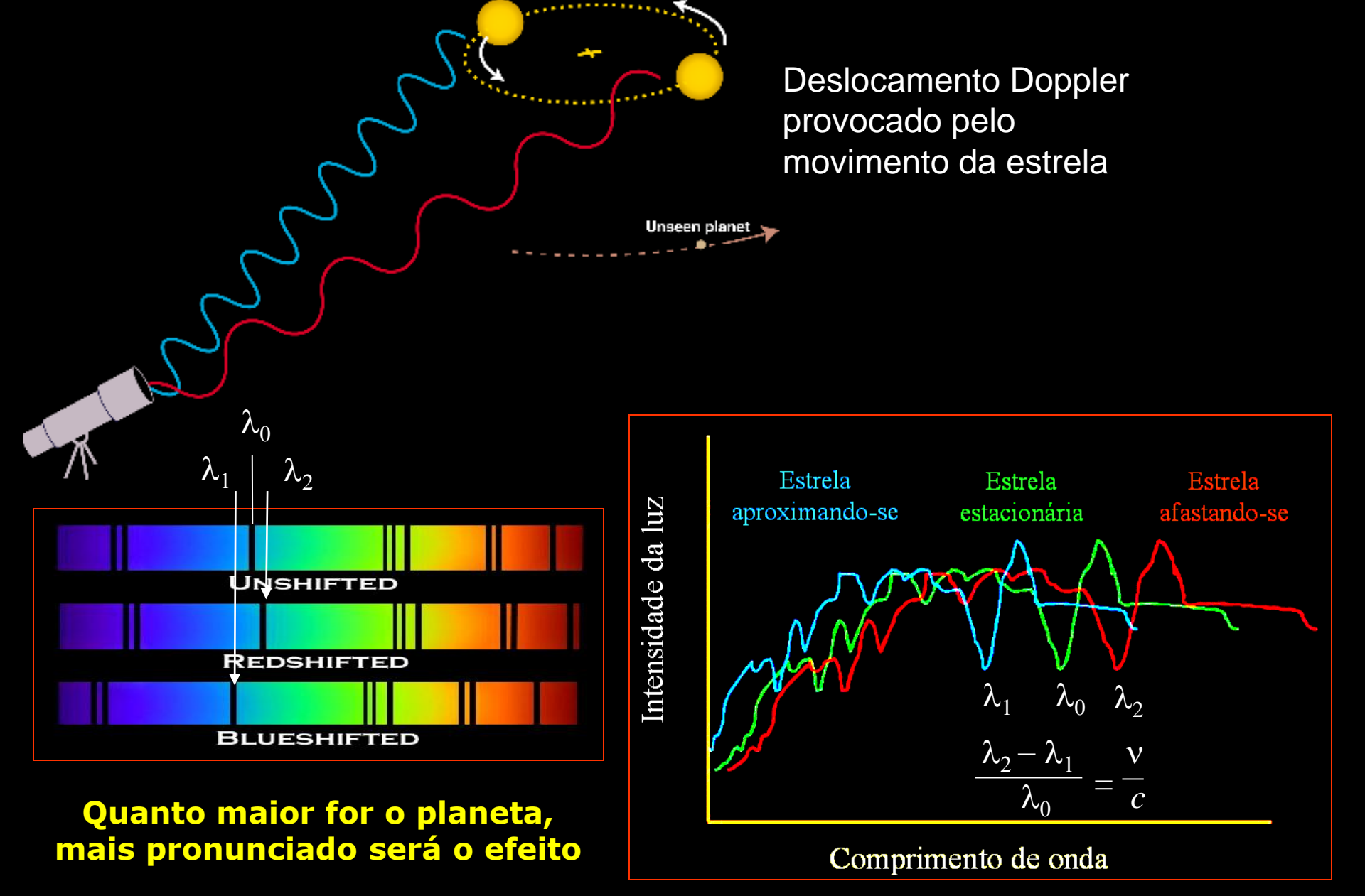




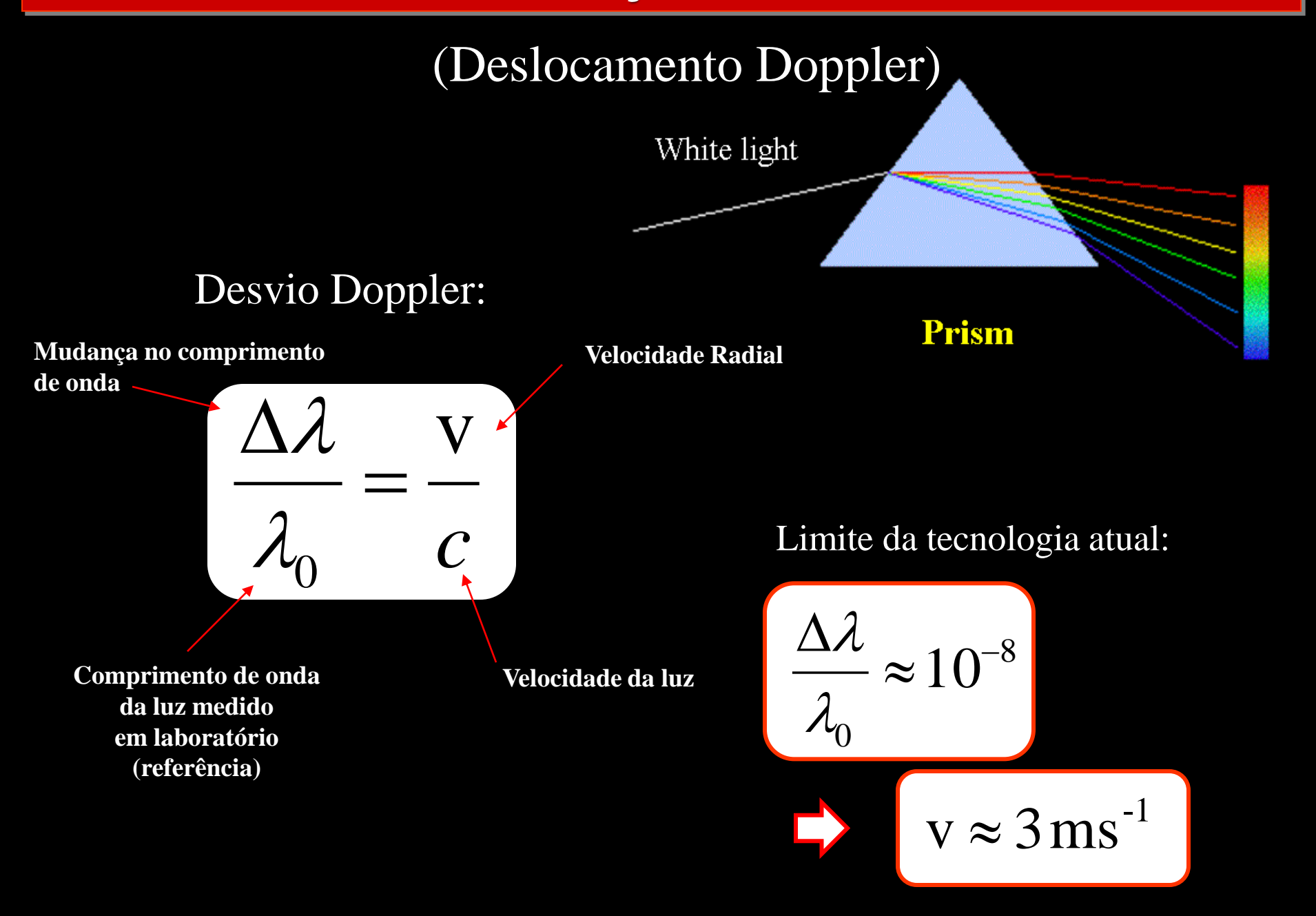
### Métodos indiretos de detecção



### Métodos indiretos de detecção: Velocidade Radial



### Métodos indiretos de detecção: Velocidade Radial



$$\mathbf{m_p}$$
  $\mathbf{r} = \mathbf{r_p} + \mathbf{r_s}$   $\mathbf{r_s}$   $\mathbf{m_s}$ 



Equacionando as acelerações gravitacional e circular:

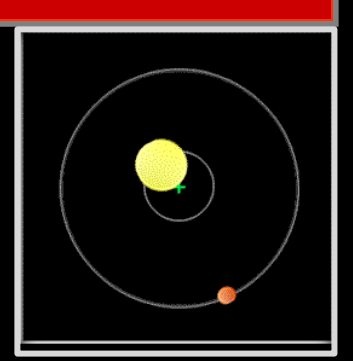
$$F_C = m_P \omega^2 r_P = \frac{G m_P m_S}{r^2}$$

$$F_C = m_S \,\omega^2 r_S = \frac{G \,m_P \,m_S}{r^2}$$

Somando:

$$\omega^{2}(r_{P} + r_{S}) = \omega^{2}r = \frac{G(m_{S} + m_{P})}{r^{2}}$$

$$\mathbf{m_p}$$
  $\mathbf{r} = \mathbf{r_p} + \mathbf{r_s}$   $\mathbf{r_s}$   $\mathbf{m_s}$ 



Equacionando as acelerações gravitacional e circular:

$$F_C = m_P \omega^2 r_P = \frac{G m_P m_S}{r^2}$$

$$F_C = m_S \omega^2 r_S = \frac{G m_P m_S}{r^2}$$

Somando: 
$$\omega^2(r_P + r_S) = \omega^2 r^3 = G(m_S + m_P)$$

$$\mathbf{m_p}$$
  $\mathbf{r} = \mathbf{r_p} + \mathbf{r_s}$   $\mathbf{r_s}$   $\mathbf{m_s}$ 



Equacionando as acelerações gravitacional e circular:

$$F_C = m_P \omega^2 r_P = \frac{G m_P m_S}{r^2}$$

$$F_C = m_S \omega^2 r_S = \frac{G m_P m_S}{r^2}$$

Somando: 
$$\omega^2(r_P + r_S) = \omega^2 r^3 = G(m_S + m_P)$$

Lembrando: Velocidade angular

$$\omega = \frac{2\pi}{T}$$

Período de oscilação

$$\mathbf{m_p}$$
  $\mathbf{r} = \mathbf{r_p} + \mathbf{r_s}$   $\mathbf{r_s}$   $\mathbf{m_s}$ 



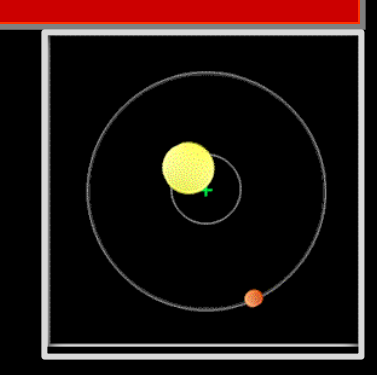
Equacionando as acelerações gravitacional e circular:

$$F_C = m_P \omega^2 r_P = \frac{G m_P m_S}{r^2}$$

$$F_C = m_S \omega^2 r_S = \frac{G m_P m_S}{r^2}$$

$$\omega^2 r^3 = \frac{4\pi^2 r^3}{T^2} = G(m_S + m_P) \cong Gm_S$$
3a Lei de Kepler

$$m_p$$
  $r = r_p + r_s$   $r_s$   $m_s$ 



$$r_{P}m_{P} = r_{S}m_{S}$$
 $r_{P}m_{P} + r_{S}m_{P} = r_{S}m_{S} + r_{S}m_{P}$ 
 $m_{P}(r_{P} + r_{S}) = r_{S}(m_{S} + m_{P})$ 
 $m_{P}r = r_{S}(m_{S} + m_{P})$ 
 $r = \frac{(m_{S} + m_{P})r_{S}}{m_{P}}$ 

do centro de massa

$$r = \frac{\left(m_S + m_P\right) r_S}{m_P}$$

$$\omega^2 r^3 = G(m_S + m_P)$$

$$G(m_S + m_P) = \frac{\omega^2 (m_S + m_P)^3 r_S^3}{m_P^3}$$

do centro de massa

$$r = \frac{(m_S + m_P) \, r_S}{m_P}$$

$$\omega^2 r^3 = G(m_S + m_P)$$

$$G(m_S + m_P) = \frac{\omega^2 (m_S + m_P)^3 r_S^3}{m_P^3}$$

$$v_{S} = \omega r_{S}$$

$$v_{S}^{3} = \omega^{3} r_{S}^{3}$$

$$\frac{v_{S}^{3}}{\omega} = \omega^{2} r_{S}^{3}$$

$$e \quad \omega = \frac{2\pi}{T}$$

do centro de massa

$$r = \frac{\left(m_S + m_P\right) r_S}{m_P}$$

$$\omega^2 r^3 = G(m_S + m_P)$$

$$G(m_S + m_P) = \frac{\omega^2 (m_S + m_P)^3 r_S^3}{m_P^3}$$

$$G(m_S + m_P) = \frac{v_s^3 (m_S + m_P)^3 r_S^3}{\omega m_P^3}$$

$$Gm_P^3 = \frac{v_s^3 (m_S + m_P)^2 r_s^3 T}{2\pi} \approx \frac{v_s^3 m_S^2 r_S^3 T}{2\pi}$$

$$v_{S} = \omega r_{S}$$

$$v_{S}^{3} = \omega^{3} r_{S}^{3}$$

$$\frac{v_{S}^{3}}{\omega} = \omega^{2} r_{S}^{3}$$

$$e \quad \omega = \frac{2\pi}{T}$$

do centro de massa

$$r = \frac{(m_S + m_P) \, r_S}{m_P}$$

$$\omega^2 r^3 = G(m_S + m_P)$$

$$G(m_S + m_P) = \frac{\omega^2 (m_S + m_P)^3 r_S^3}{m_P^3}$$

$$G(m_S + m_P) = \frac{v_s^3 (m_S + m_P)^2 r_S^3}{\omega m_P^3}$$

$$Gm_P^3 = \frac{v_s^3 (m_S + m_P)^2 r_S^3 T}{2\pi} \approx \frac{v_s^3 m_S^2 r_S^3 T}{2\pi}$$

$$v_{S} = \omega r_{S}$$

$$v_{S}^{3} = \omega^{3} r_{S}^{3}$$

$$\frac{v_{S}^{3}}{\omega} = \omega^{2} r_{S}^{3}$$

$$e \quad \omega = \frac{2\pi}{T}$$

$$\mathbf{v}_S = \left(\frac{2\pi G}{T}\right)^{1/3} m_S^{-2/3} m_P$$

$$\mathbf{v}_S = \left(\frac{2\pi G}{T}\right)^{1/3} m_S^{-2/3} m_P$$

$$G = 6,673 \times 10^{-11} \text{m}^3 \text{kg}^{-1} \text{s}^{-2}$$

$$m_{Sun} = 2,0 \times 10^{30} \text{ kg}$$

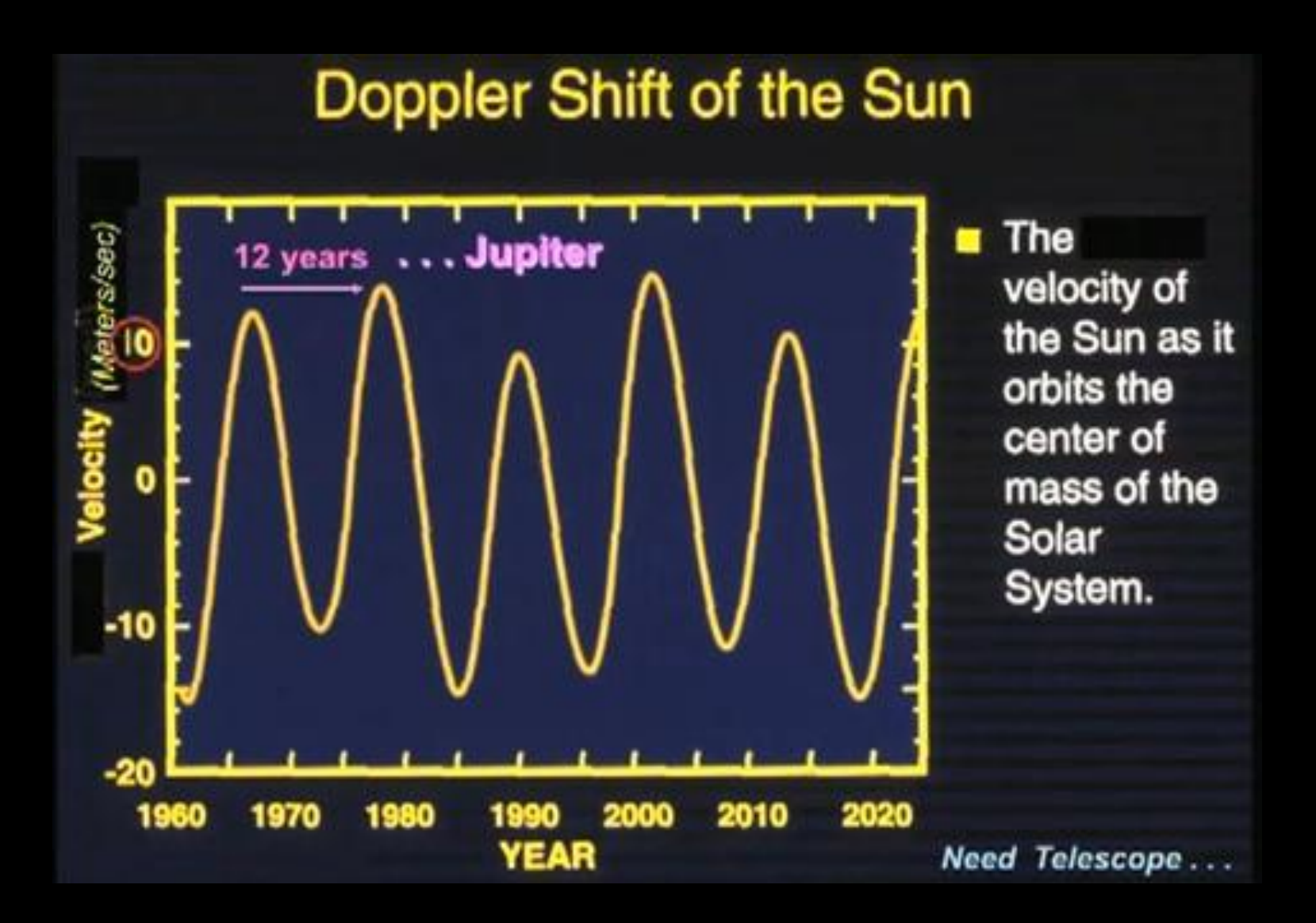
#### **Exemplos**

Júpiter:

$$m_{J\acute{u}p} = 1.9 \times 10^{27} \text{ kg}$$
 T = 11,86 anos  $v_S = 12.4 \text{ ms}^{-1}$ 

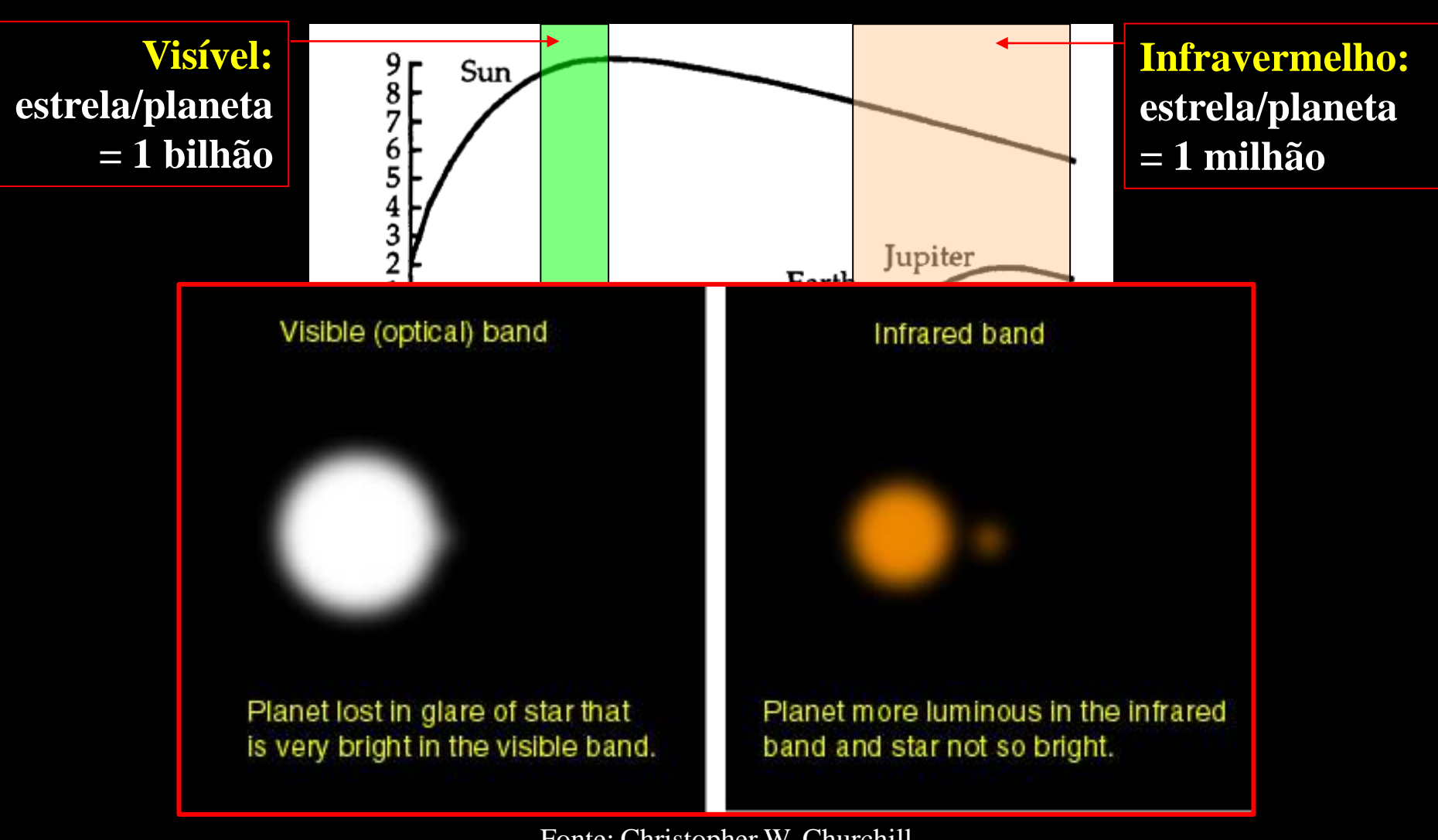
Terra:

$$m_{Terra} = 6.0 \times 10^{24} \text{ kg}$$
 T = 1 ano  $v_S = 0.09 \text{ ms}^{-1}$ 



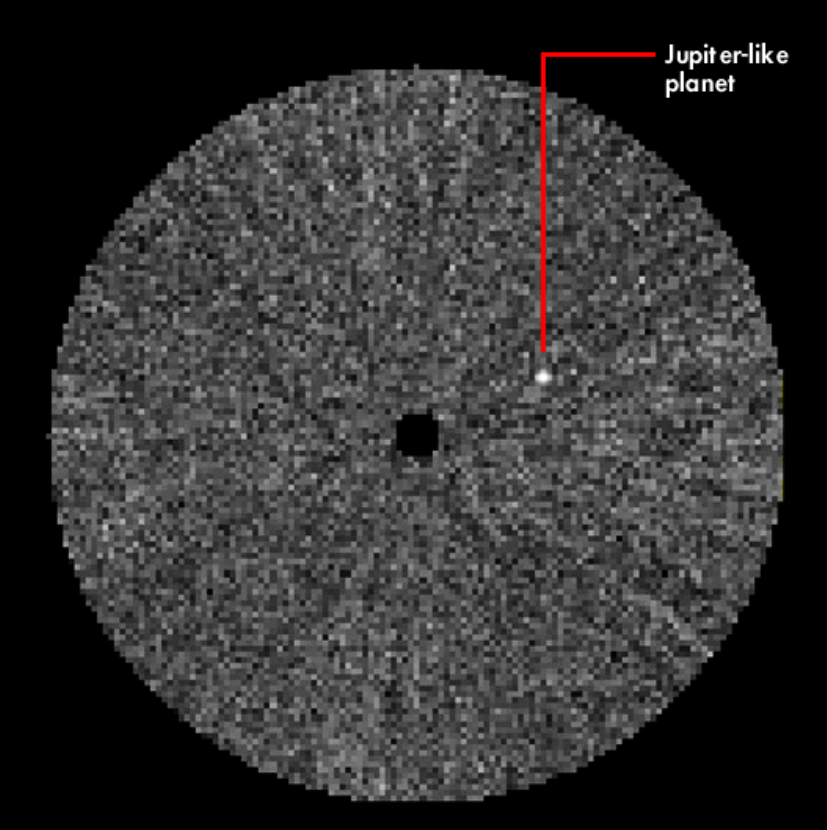
### Método direto de detecção: Imageamento

#### Luz refletida pelo planeta



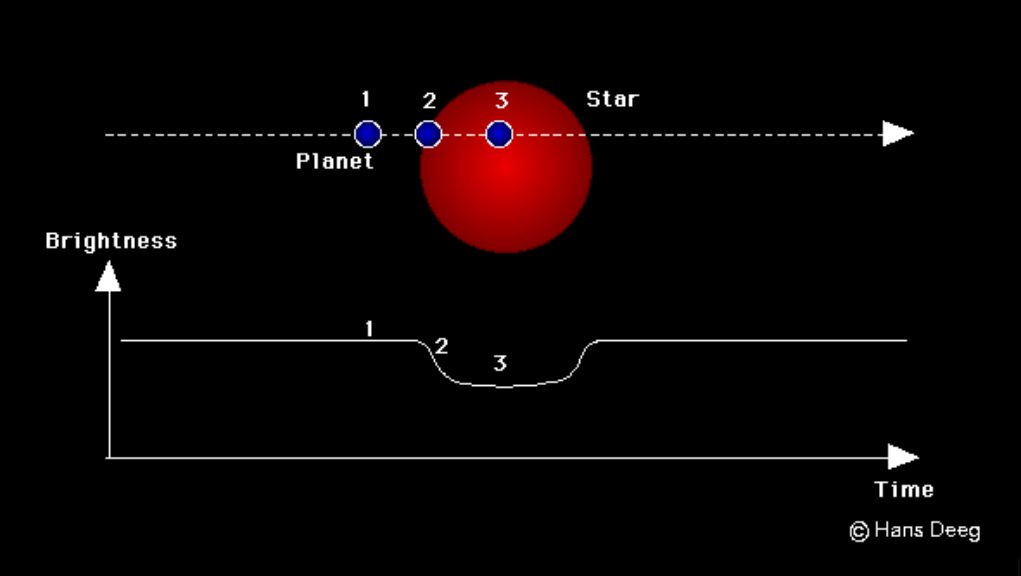
### Método direto de detecção: Imageamento

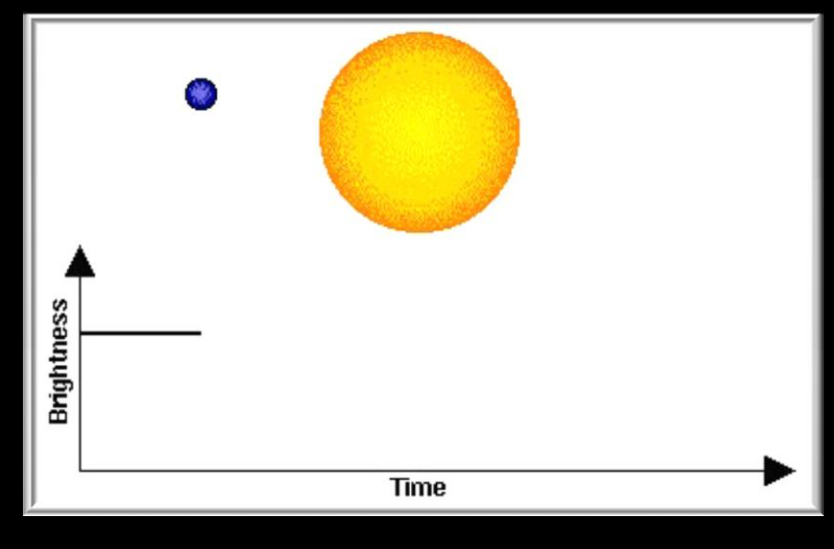
Luz refletida pelo planeta (Imagem simulada de Júpiter se visto à distância de 10pc



Método usa interferometria no infravermelho com telescópio de solo. Resultado depende a luz do planeta, não da inclinação do seu plano orbital.

Variação de luz decorrente de um eclipse



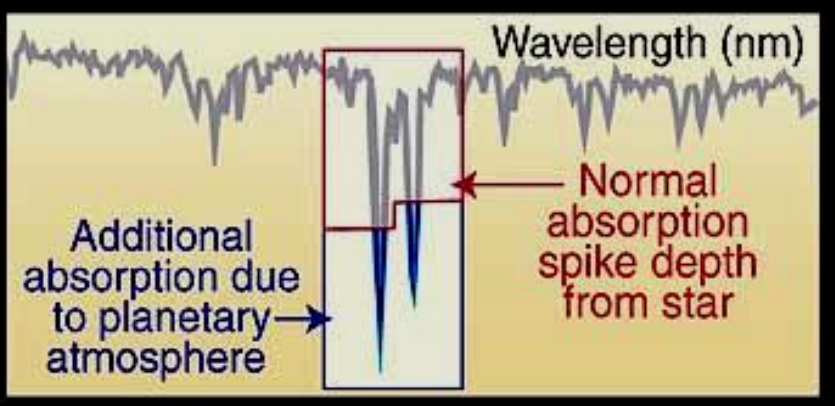


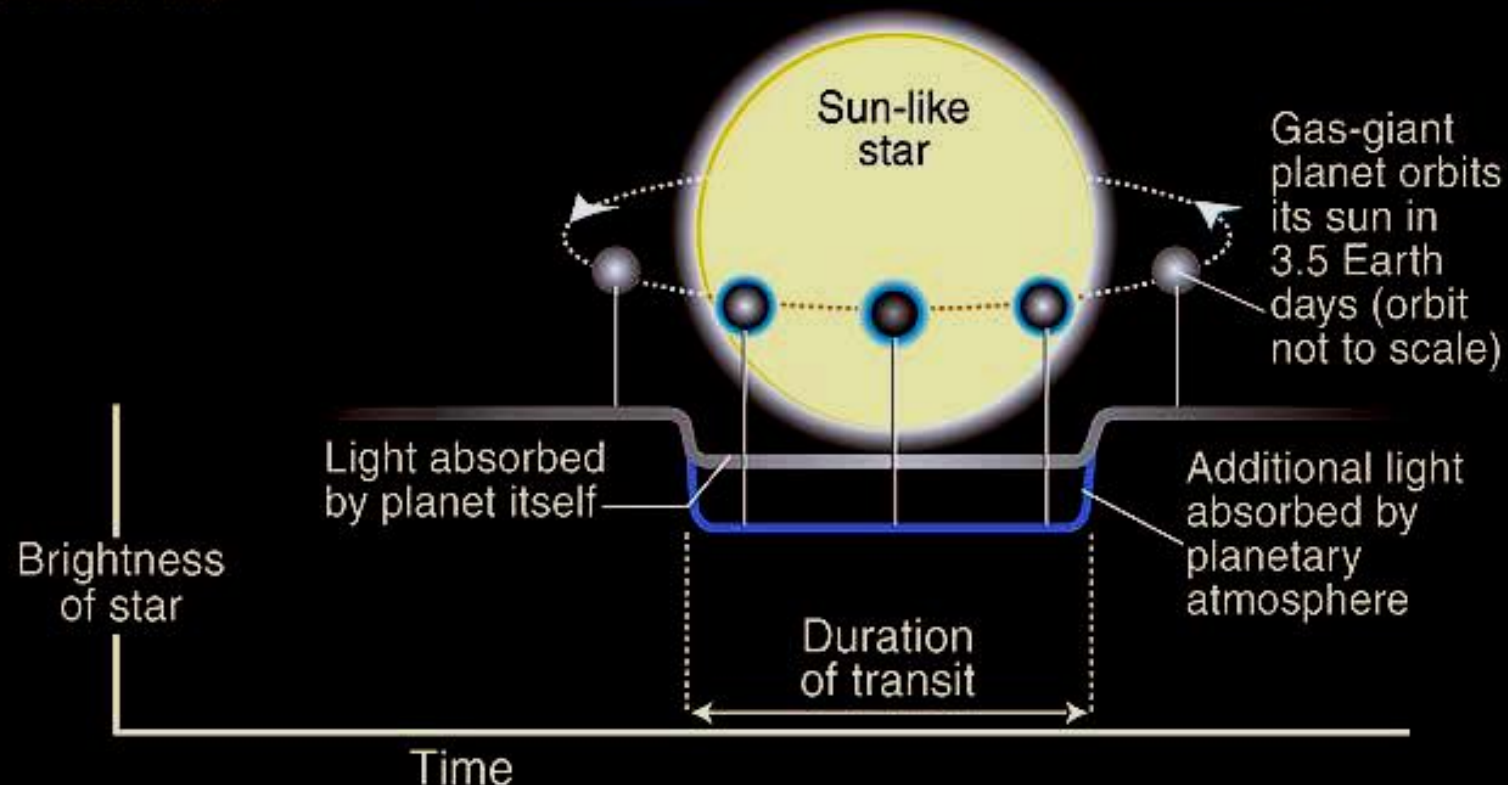
Quanto maior for o planeta, mais pronunciado será o efeito.

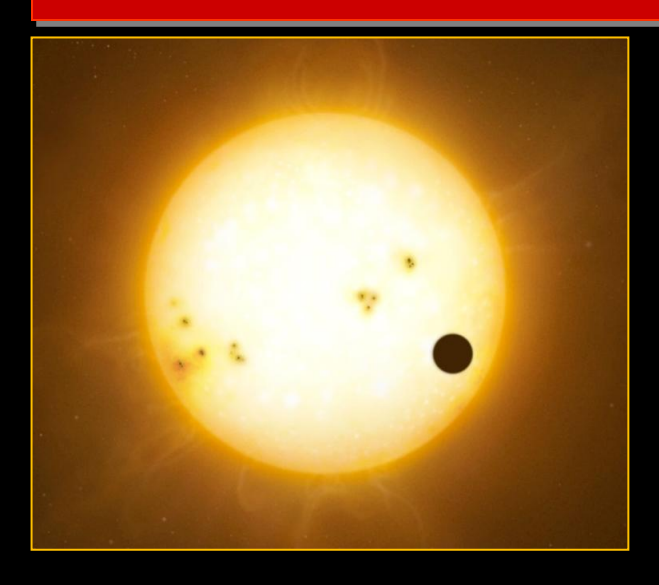
Contraste é maior no infravermelho que no visível



Absorção adicional de sódium decorrente da passagem da luz pela atmosfera do planeta.







Diâmetro (km) Área relativa → q	ueda de brilho
---------------------------------	----------------

1.400.000	1
143.000	0,01
49.600	0,001
12.800	0,0008
4.900	0,0001
	143.000 49.600 12.800

Astrobiology - Exoplanets - Geoff Marcy

# The Kepler Space Telescope

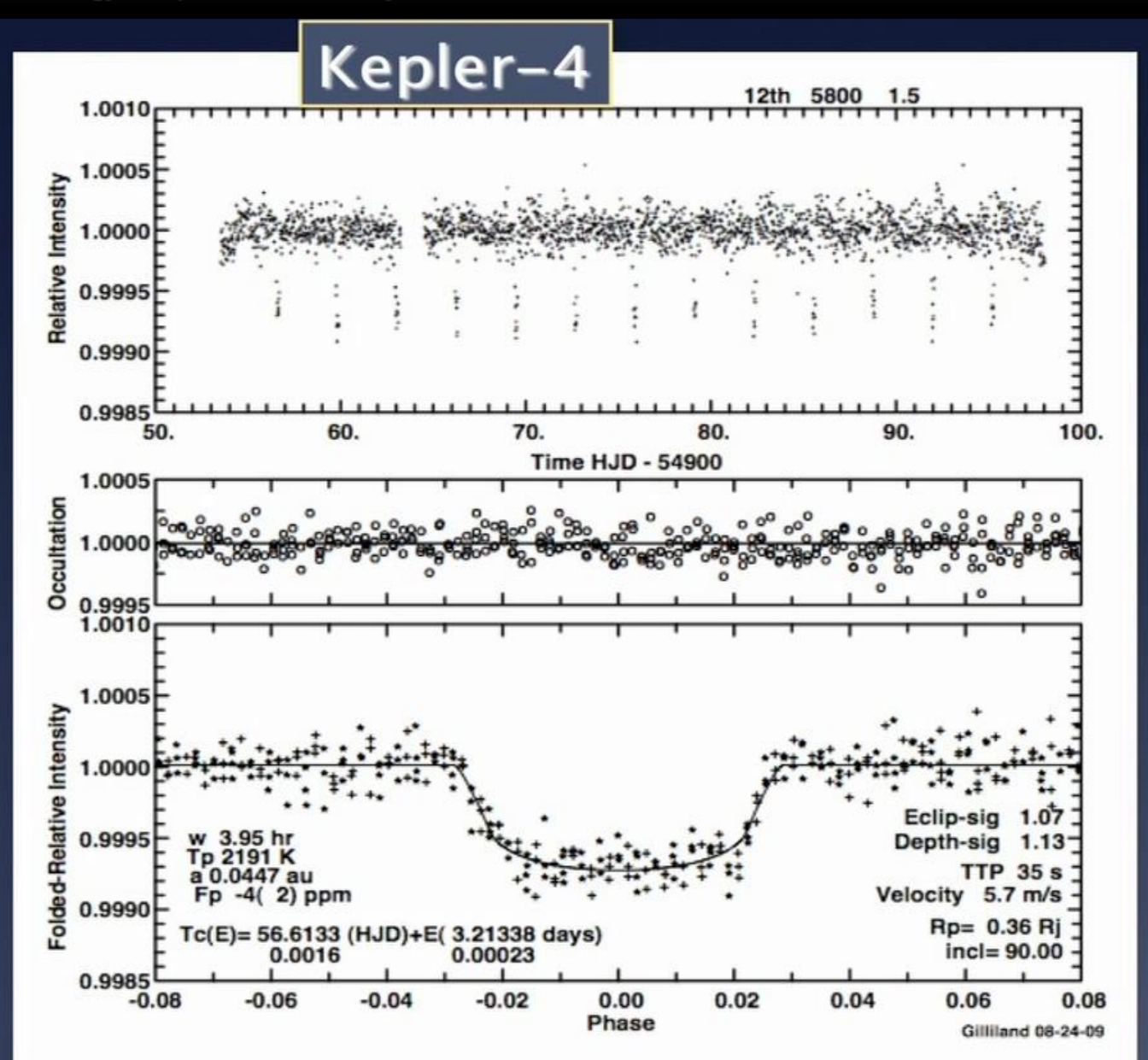
- \* 1--meter Diameter Telescope
- \* Field of View: 10 deg x 10 deg
- \* Camera: 95 MegaPixel
- Images 150,000 stars simultaneously
- Every 30 minutes
- For 4 Years
- Brightness Precision: 0.01%



## Comprovação da existência

RADIAL VELOCITY W. M. KECK OBSERVATORY KEPLER-10b -0:0 Orbital Phase GEMINI NORTH OBSERVATORY KEPLER-186f **IMAGING** 

Astrobiology - Exoplanets - Geoff Marcy



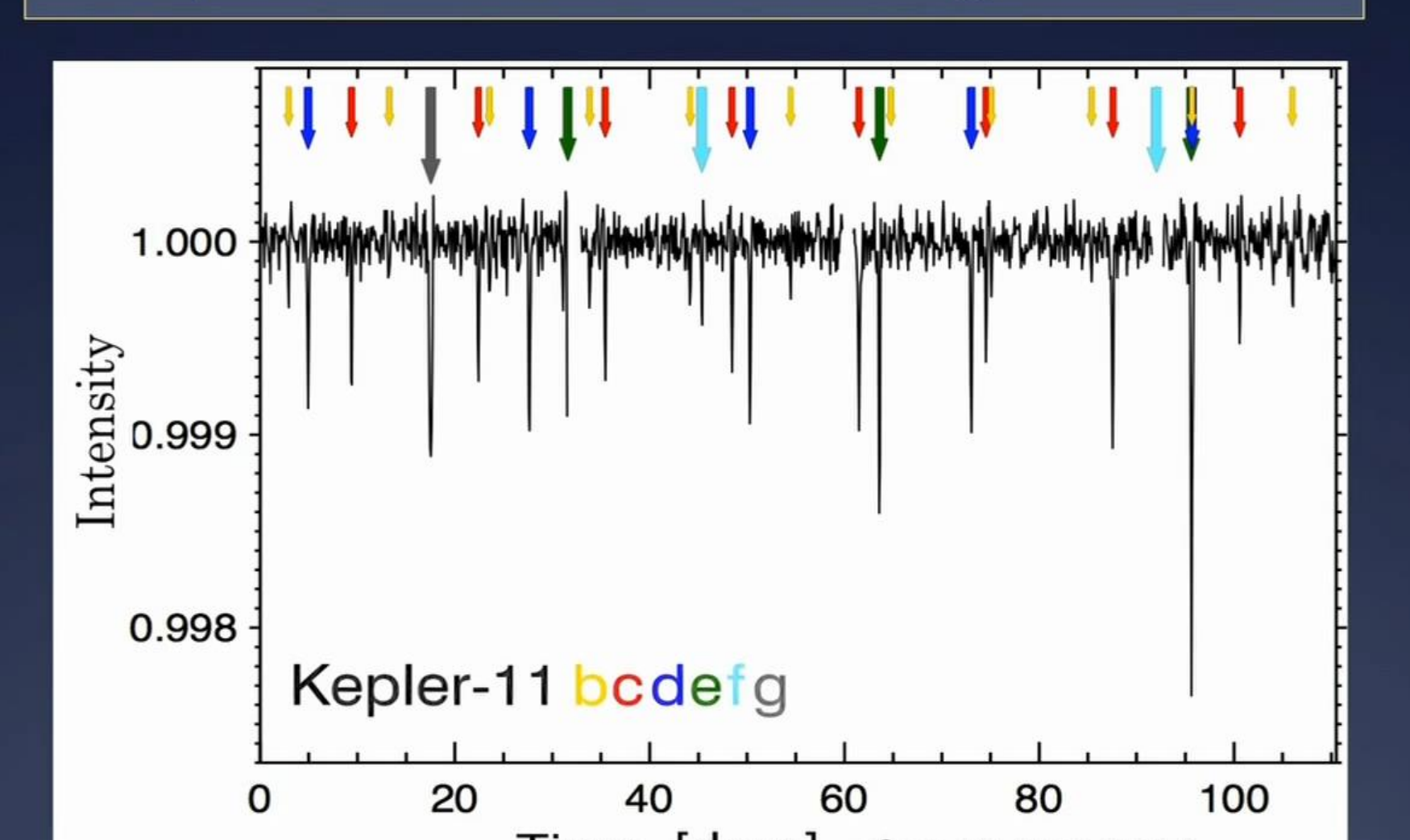
**Planet Properties:** 

Period = 3.213day

Radius =  $4.1 R_{Earth}$ 

Astrobiology - Exoplanets - Geoff Marcy

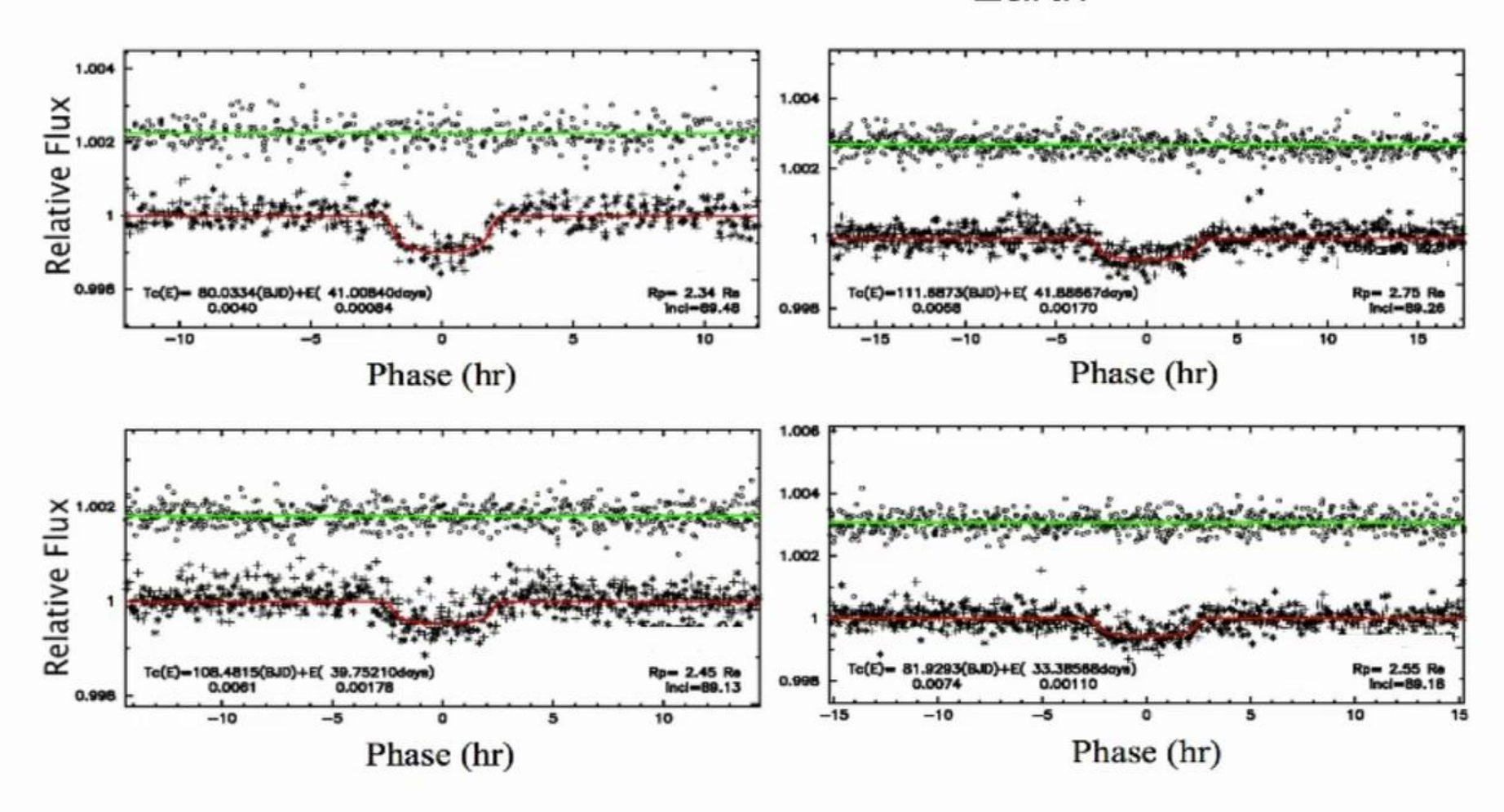
# Kepler-11: Six Transiting Planets



Astrobiology - Exoplanets - Geoff Marcy

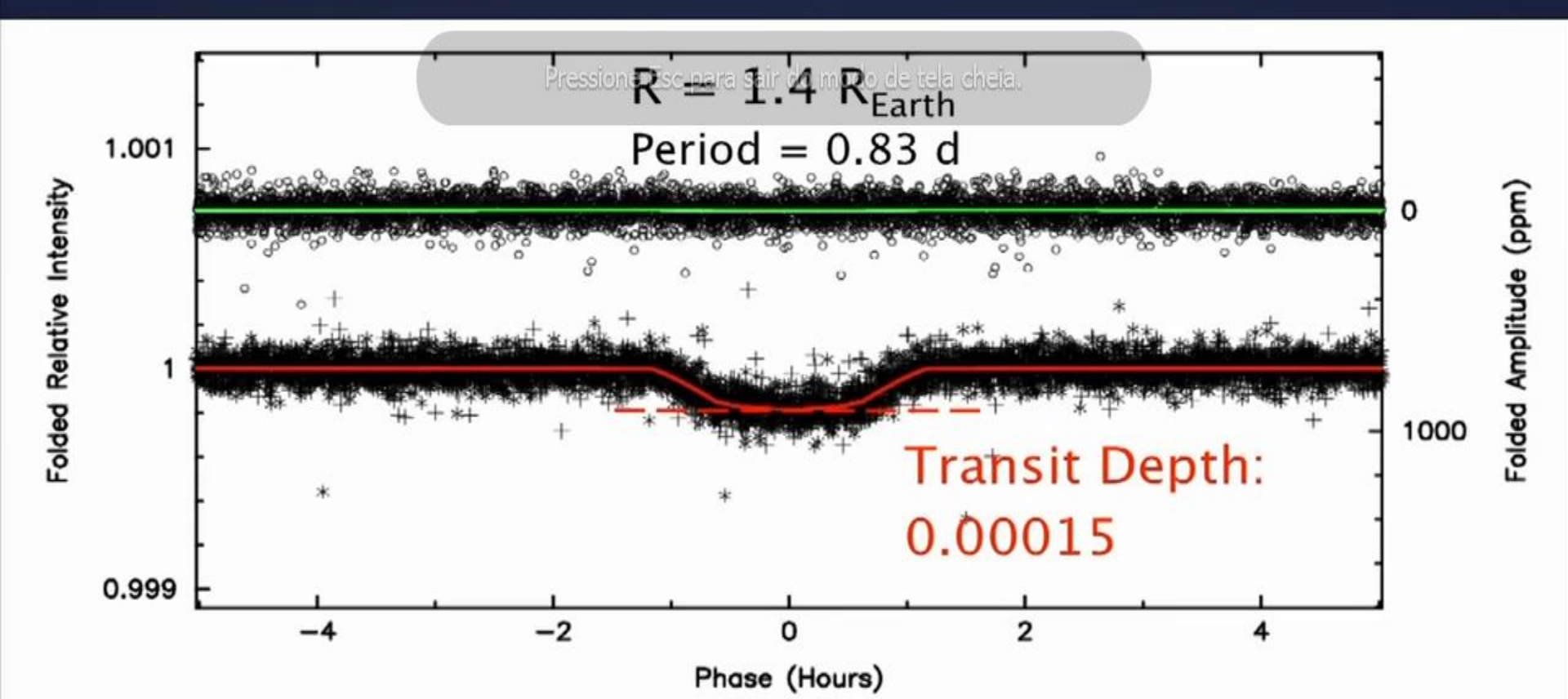
#### Most Common:

# Radius = $2 - 3 R_{Earth}$

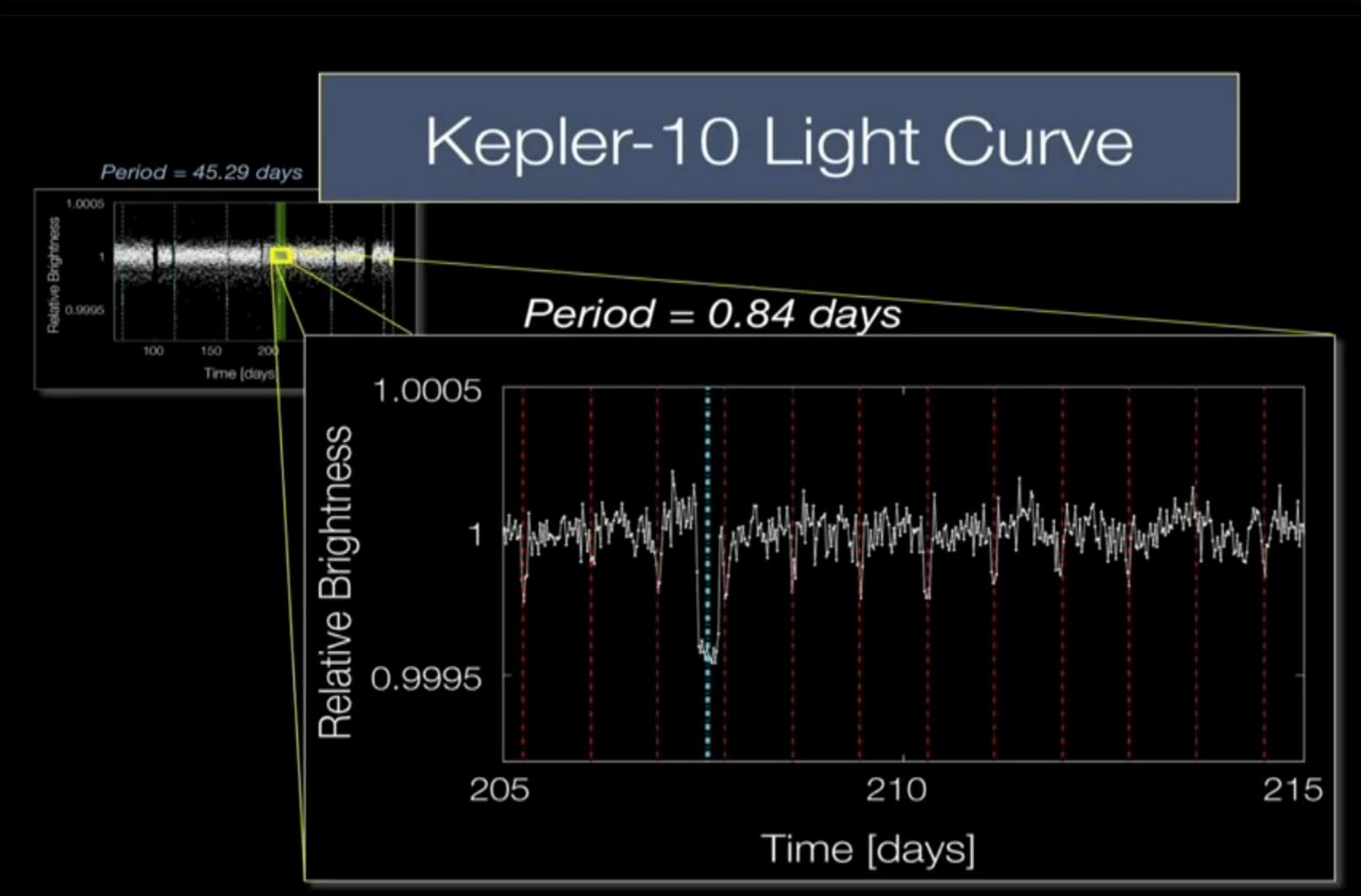


Astrobiology - Exoplanets - Geoff Marcy

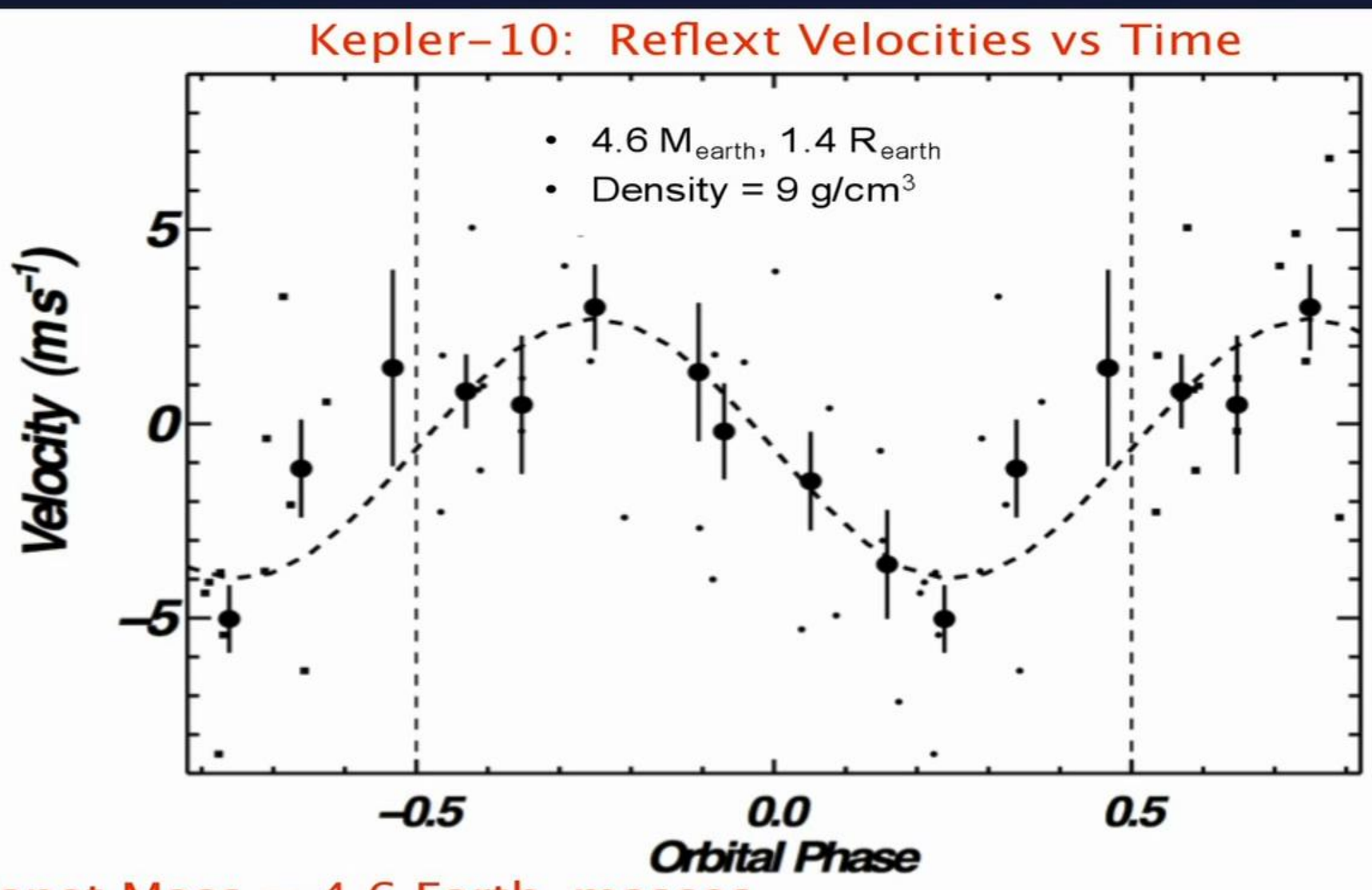
# Kepler-10 Light Curve



Astrobiology - Exoplanets - Geoff Marcy

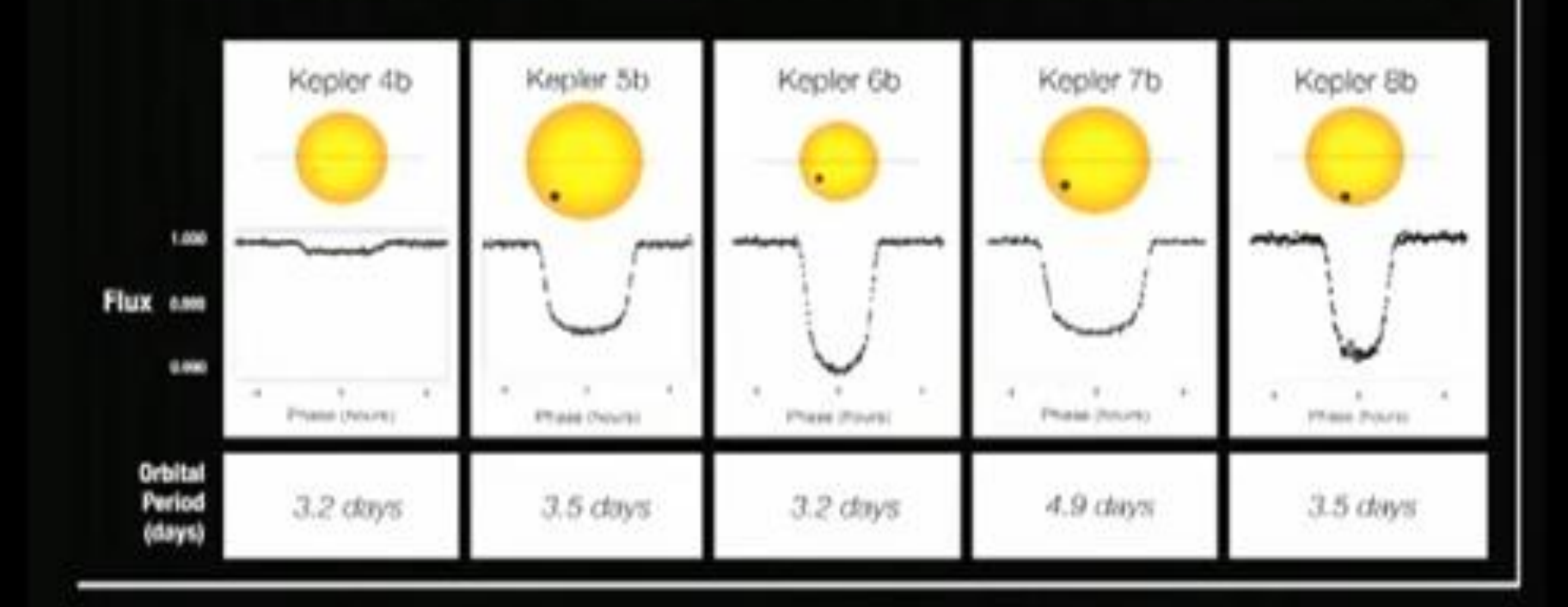


Astrobiology - Exoplanets - Geoff Marcy



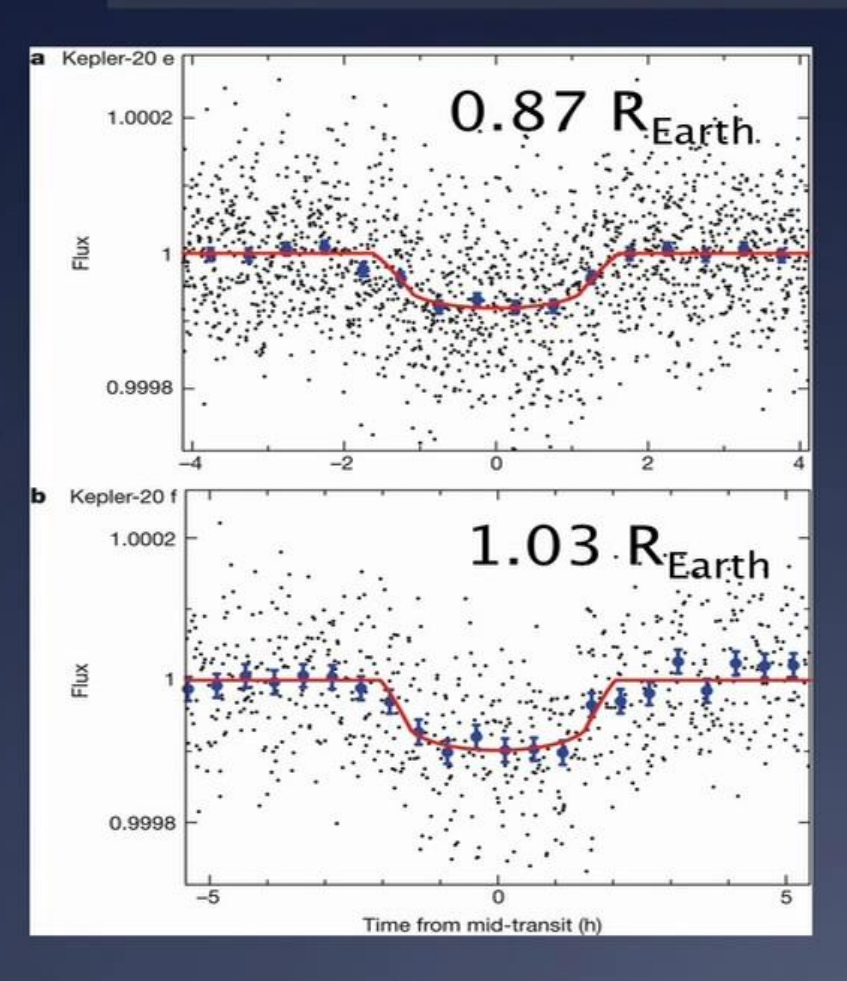
Planet Mass = 4.6 Earth-masses

# Transit Light Curves



Astrobiology - Exoplanets - Geoff Marcy

# The First Two Earth-Size Planets Kepler 20 e, f



Two Planet Transits in the G8 star Kepler-20.

Orbital periods: 6.1 days, 19.6 days.

Flux decrements of: 82 p.p.m. 101 p.p.m.:

# Determinação da densidade

Astrobiology - Exoplanets - Geoff Marcy



#### Planet Transit

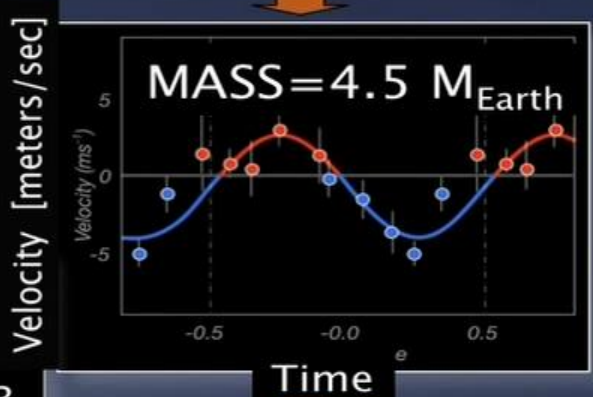




# The Planet Mass

#### Doppler of Star

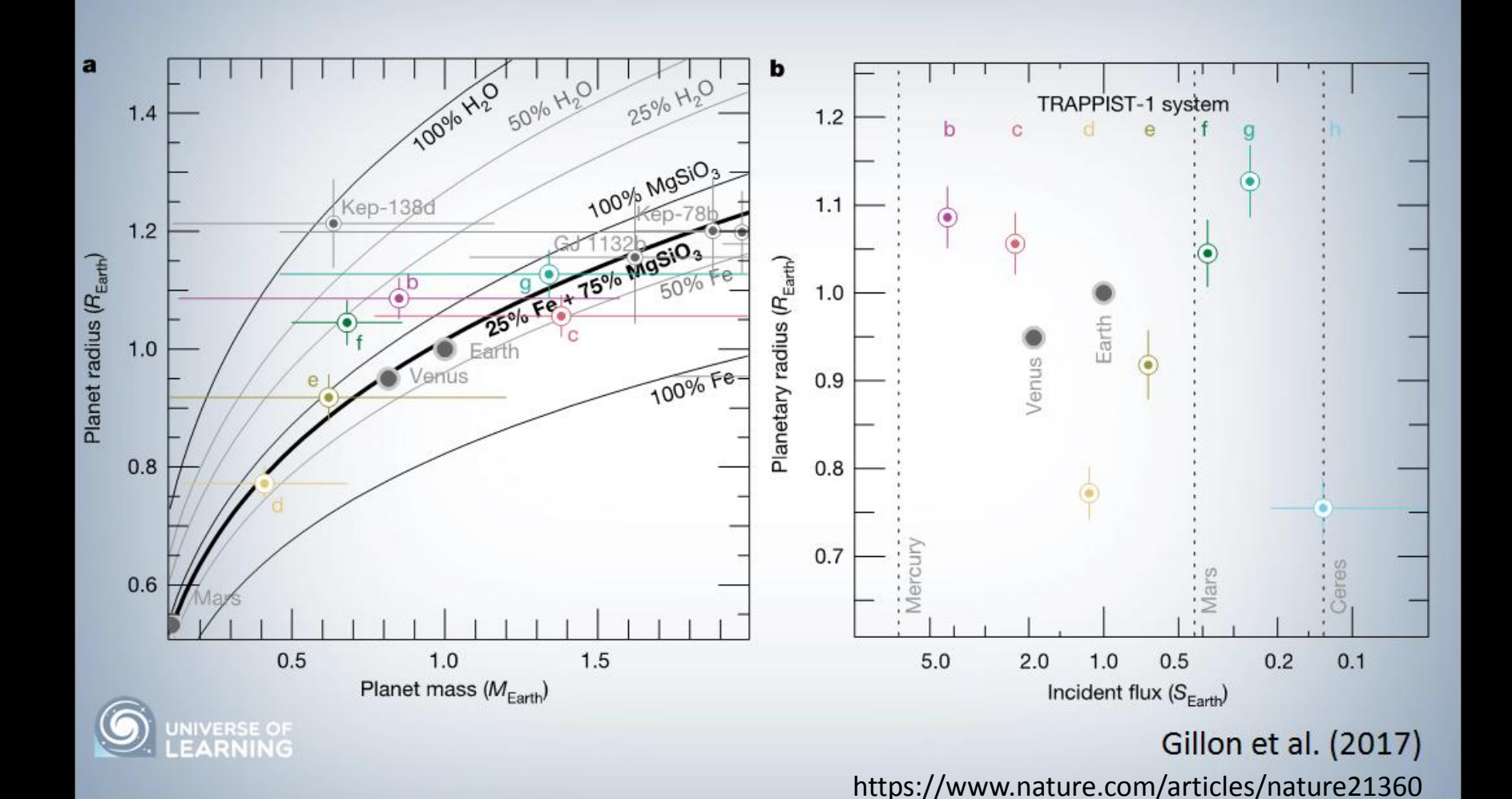




#### **Planet Density:**

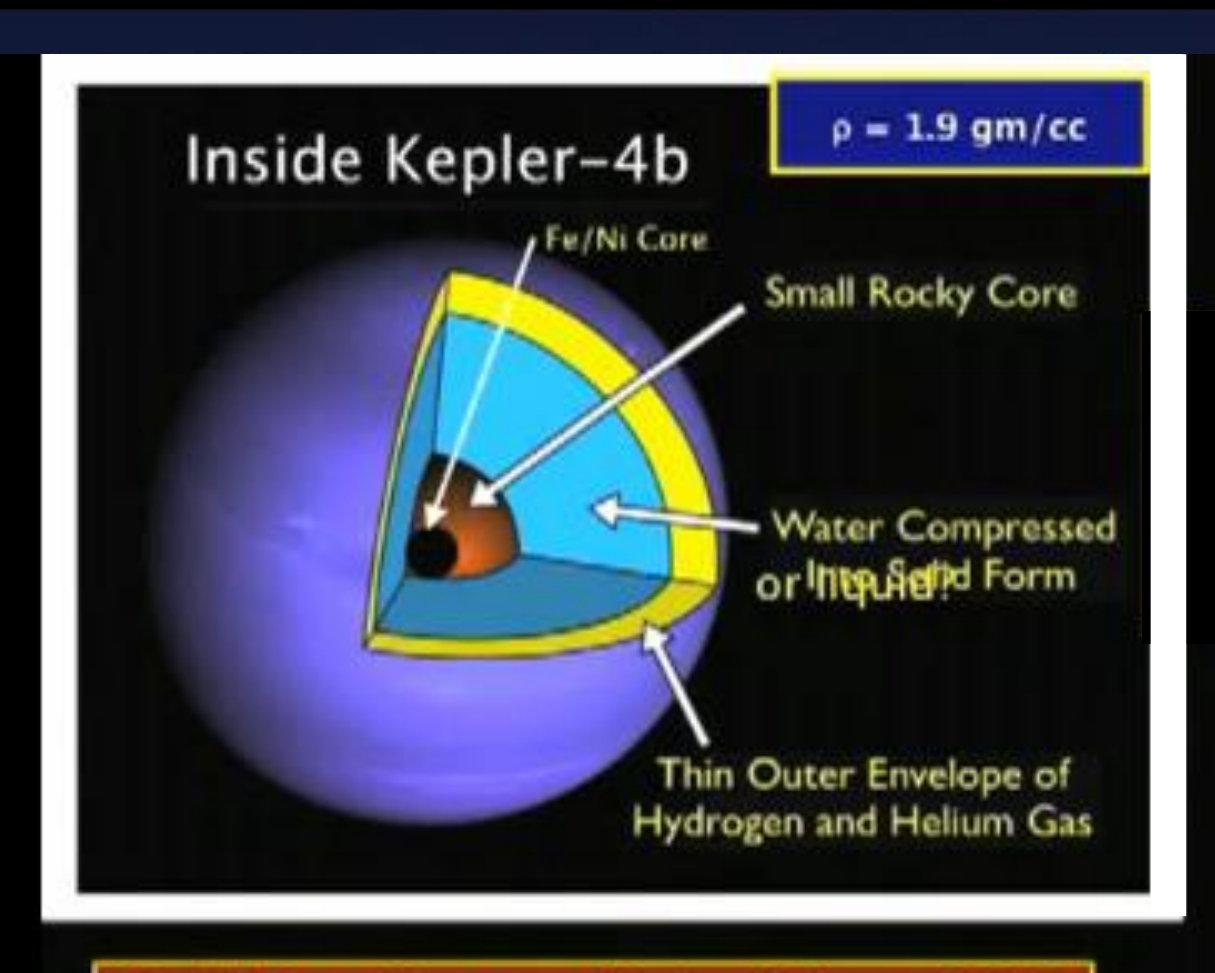
# Determinação da densidade

#### The 'Earth-like' Nature of the TRAPPIST-1 Planets



# Estrutura interna provável do exoplaneta Kepler 4B

Astrobiology - Exoplanets - Geoff Marcy



Model from Fortney, Marley, & Jones 2007

"It seems likely that planets with masses within an order of magnitude of the Earth's mass will be composed primary of ...ices, rocks, and iron." (Fortney et al. 2007)

Dave Stevenson,
Deming et al. 2007,
Chiang &
Murray-Clay 2007
Seager et al. 2008
Valencia et al. 2009

Planets and Exoplanets compartilhar¥ Mais informações California NANOSystems Institute C (N) S 1 C(N)S

#### **David Jewitt**

Earth and Space Sciences, Physics and Astronomy, UCLA

C (N) S 1

# Doppler

$$Mb = ma$$

$$V_{+} = \frac{2\pi Tb}{T} = \frac{2\pi}{T} a \frac{m}{M_{s}}$$

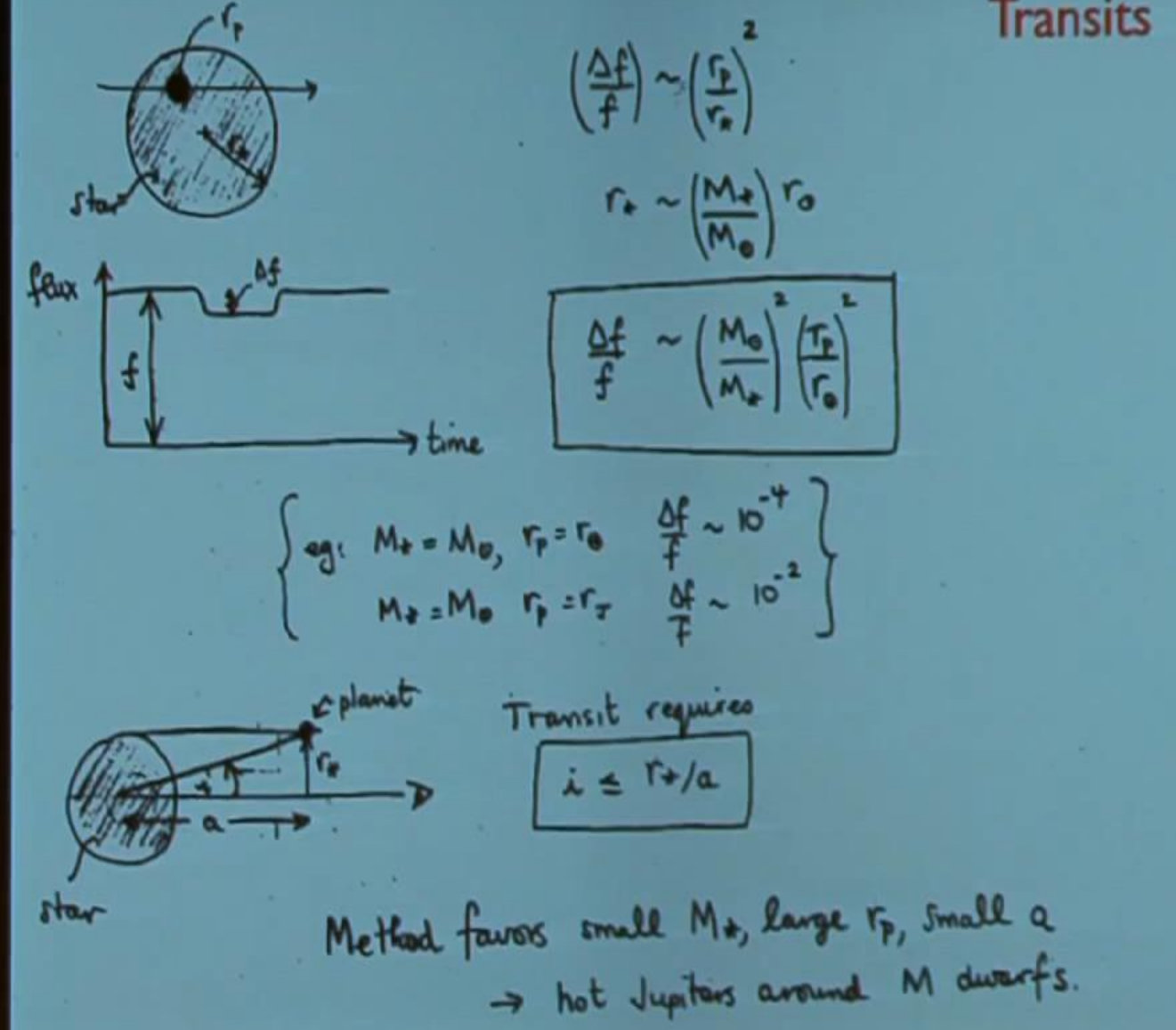
Kepler am = 
$$\sqrt{\frac{GM_e}{a^3}}$$

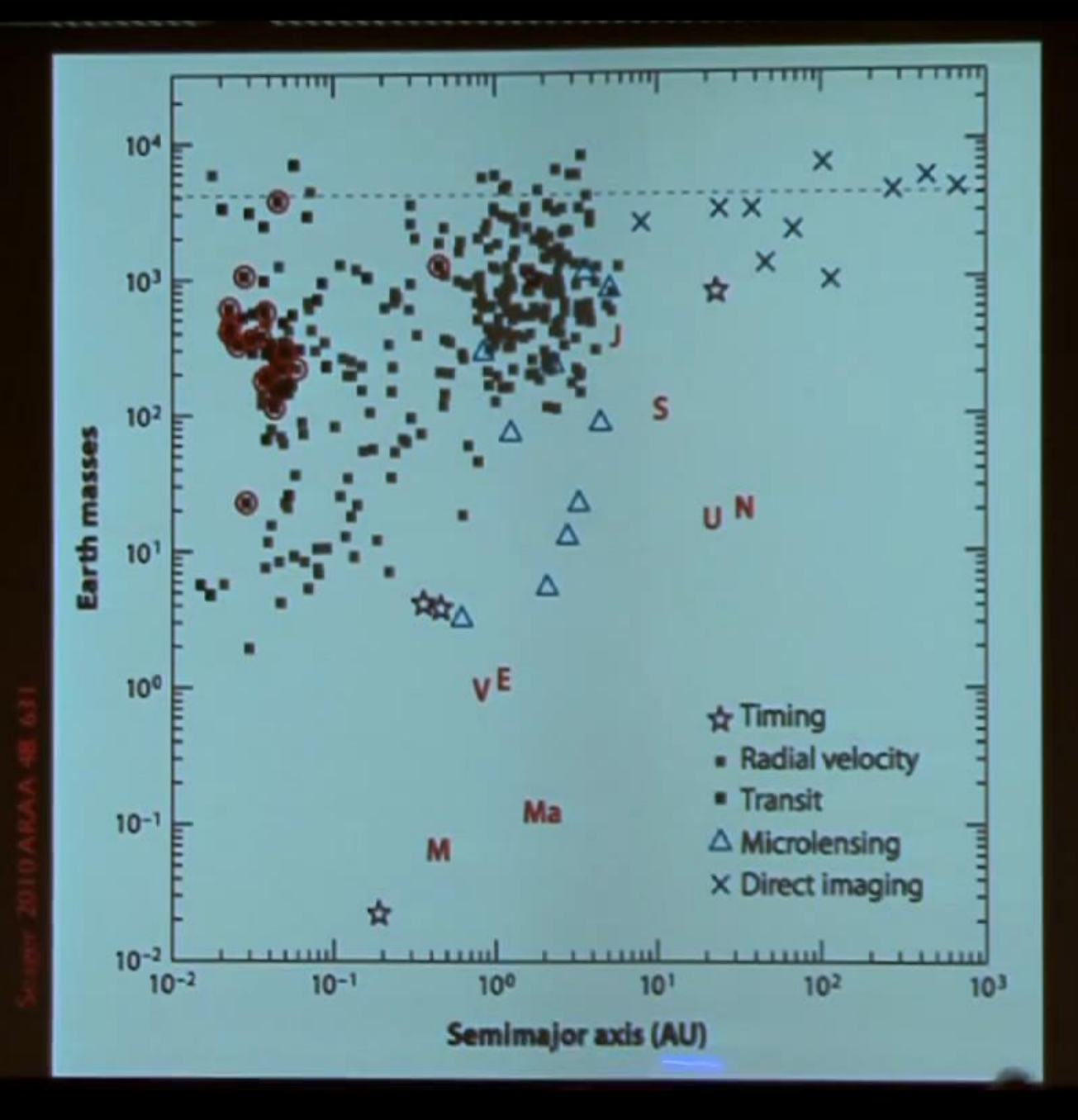
So 
$$V_{\phi} = \sqrt{\frac{G}{M_{\phi} a}} m$$

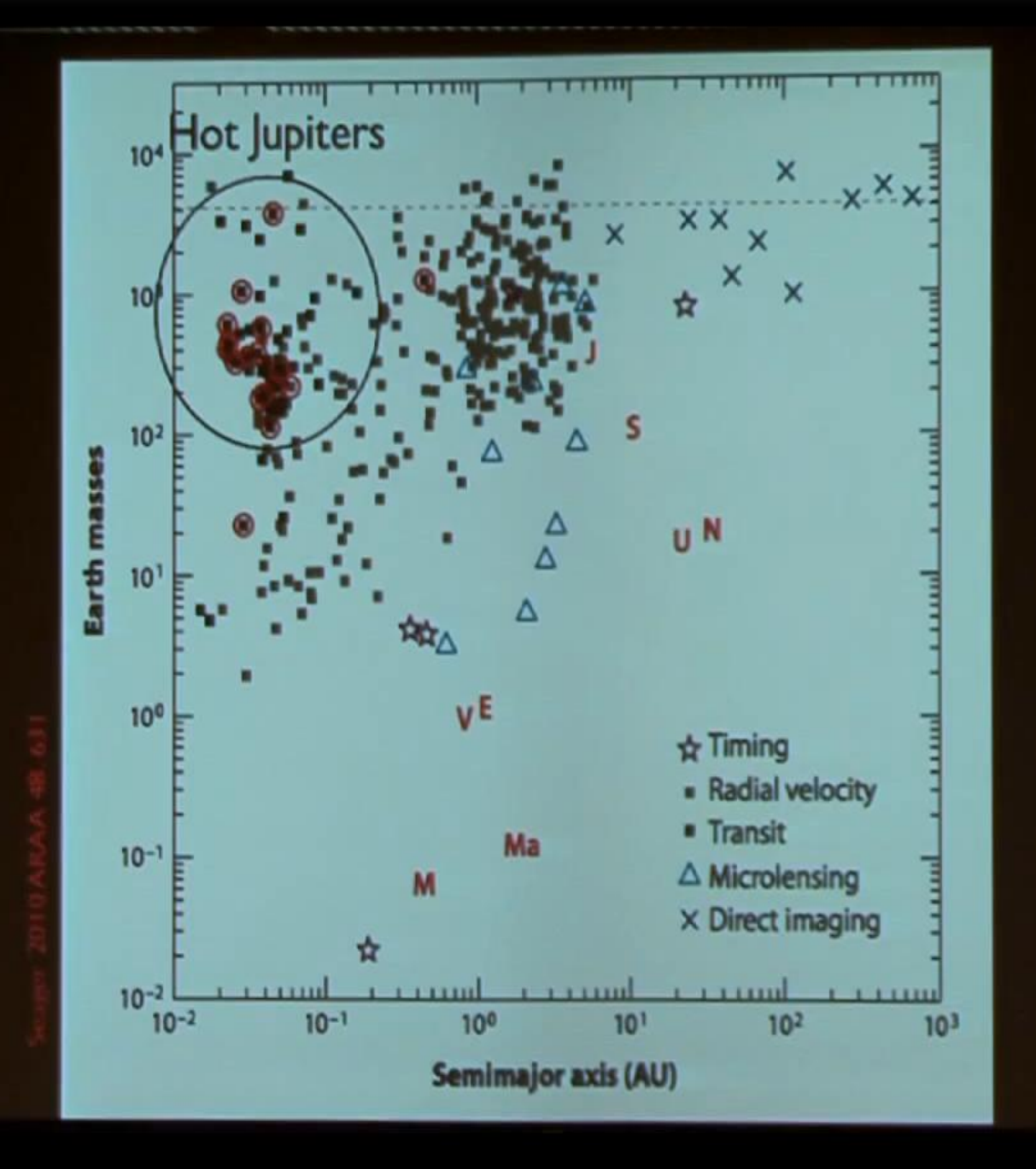
Large Vo favors small Me, small a, large m (M stors) "hot Jupiters

Current limits near I mi







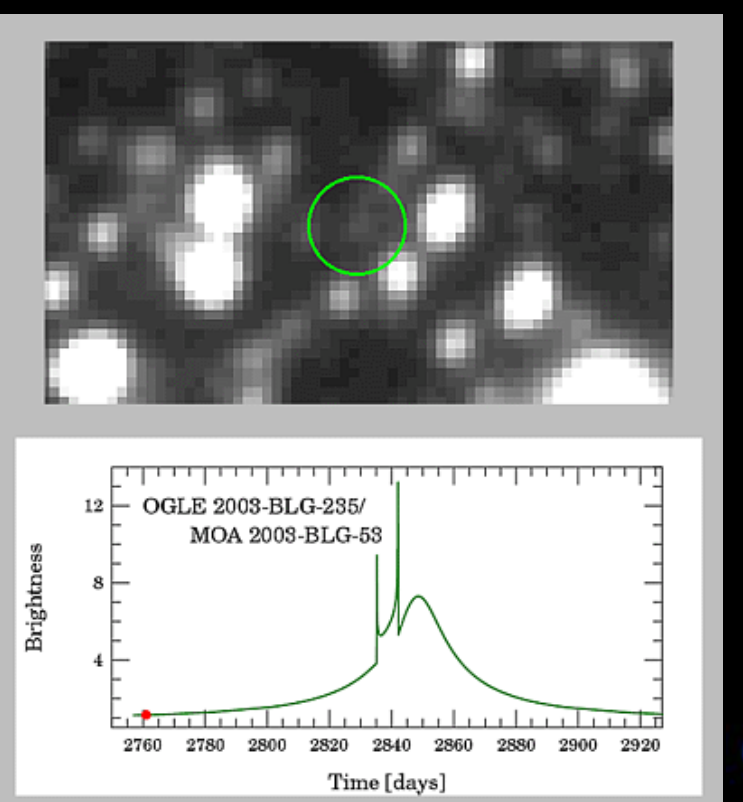


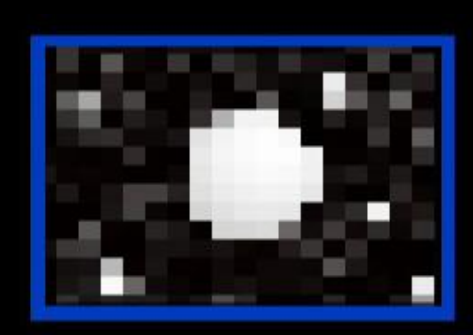


planethunters.org CLASSIFY LOGIN ABOUT CANDIDATES TALK TUTORIAL PLANETOMETER™ • Welcome to planet hunters. With your help, we are looking for planets around other stars Start hunting for planets



A curva de luz da estrela que está sendo submetida ao efeito, aumenta ligeiramente quando o planeta cruza seu disco.







#### Anel de Einstein

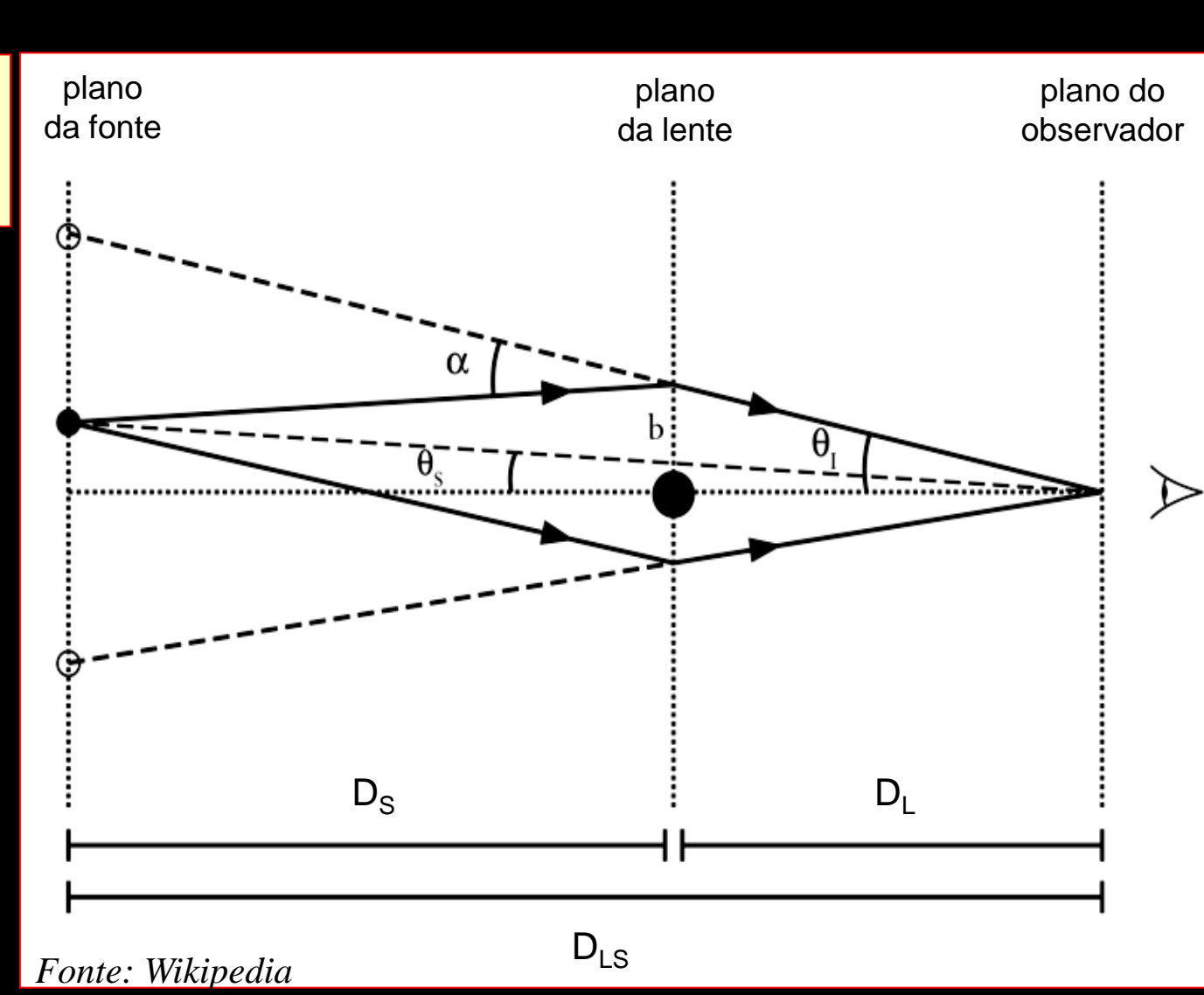
$$\theta_E = \sqrt{\frac{4GM}{c^2} \times \frac{D_{LS}}{D_L D_S}}$$

**G** = cte gravitacional

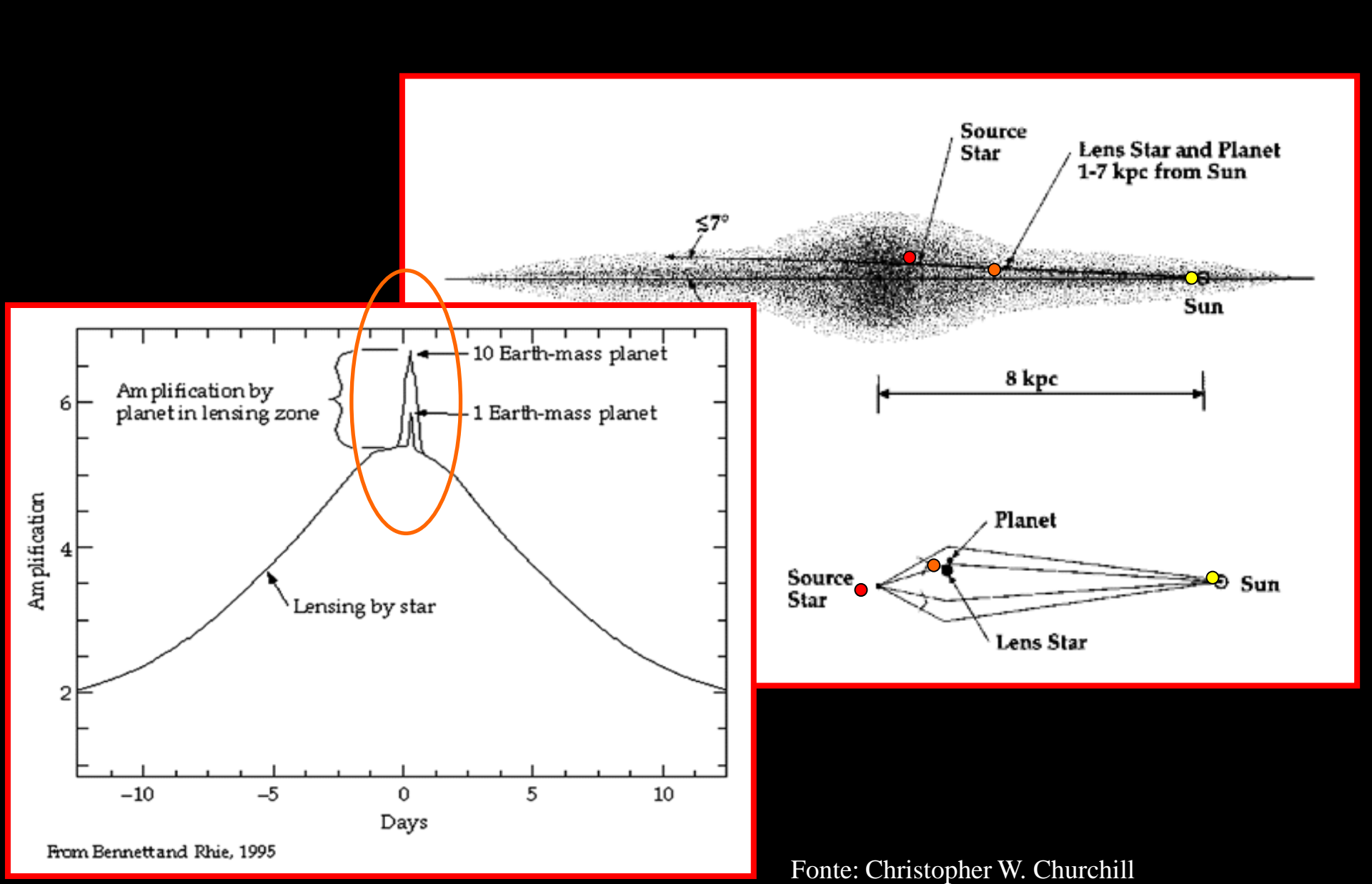
M = massa do objeto que causa a lente

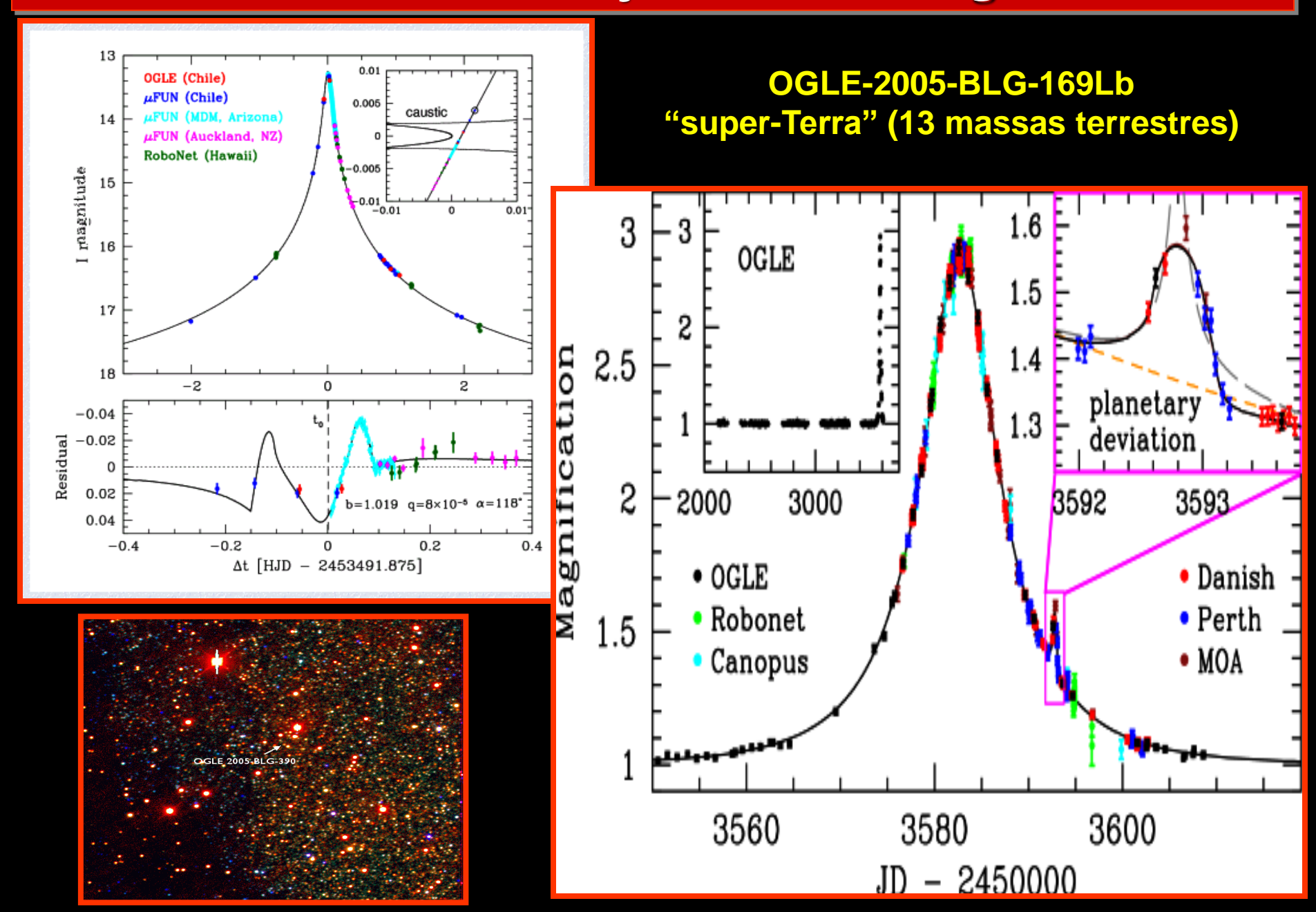
c = veloc. da luz

 $\theta_{\mathbf{E}}$  = diâmetro angular do anel de Einstein.



#### Pico sobre a curva de luz da estrelas de fundo





$$RV = \text{proj}_{\text{linha de visada}} \vec{\mathbf{V}} = \mathbf{K} [\cos(v + \omega) + e \cos \omega) ]$$

$$\mathbf{K} = \frac{m}{m+M} \, \frac{na \sin i}{\sqrt{1-e^2}}$$

RV = velocidade radial

K ~ a metade da amplitude de variação das velocidades radiais medidas.

 w - ângulo entre a direção do semi-eixo maior da órbita elíptica, no espaço, e a linha em que o plano do movimento intercepta um plano perpendicular à linha de visada

 v - ângulo formado pelo segmento estrela-planeta e o eixo-maior da elipse (contando-se a partir do periastro)

 $n = 2\pi/T$  (T - período)

a = semi-eixo maior

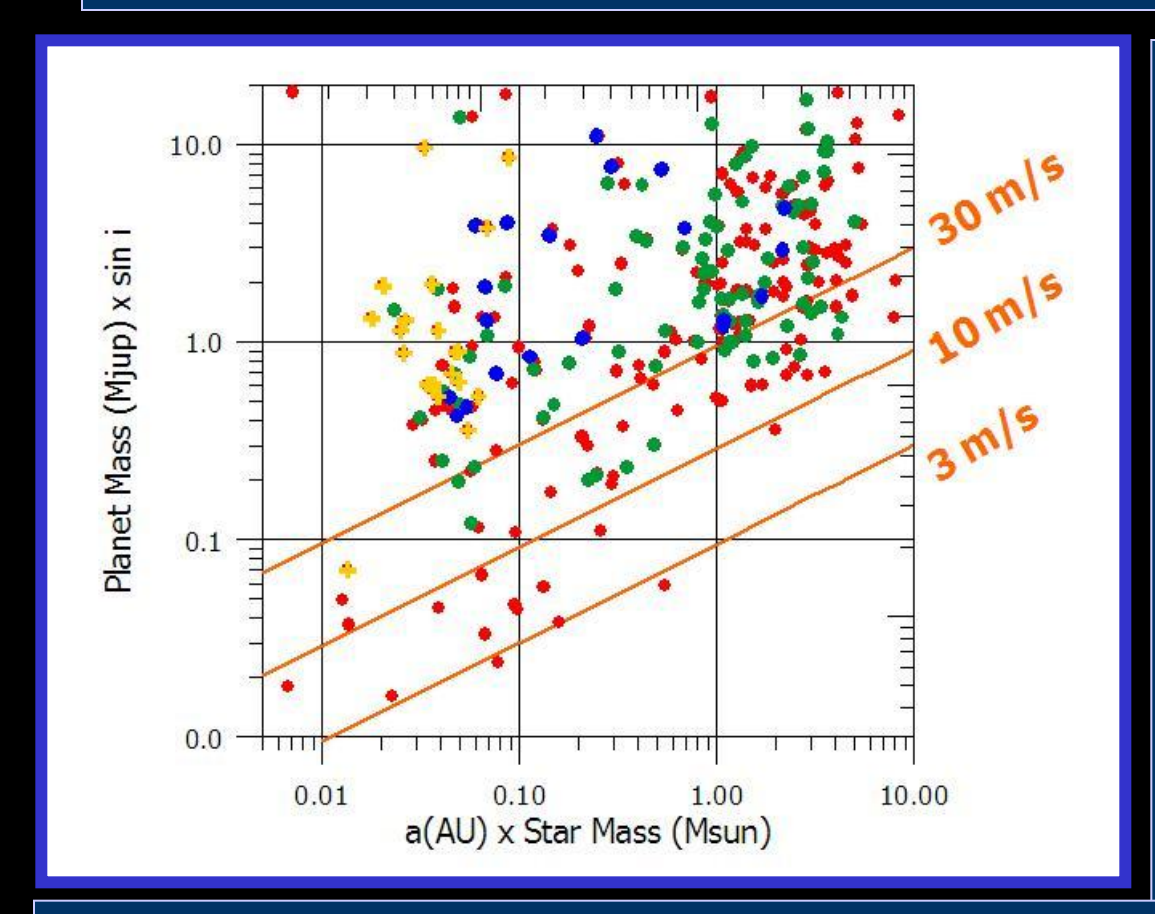
A curva das velocidades radiais medidas só é uma senóide se a órbita for circular (e=0). Se a órbita é elíptica, a curva é uma senóide deformada.

As deformações permitem determinar e e w.

Do tipo espectral da estrela podemos estimar o valor de M.

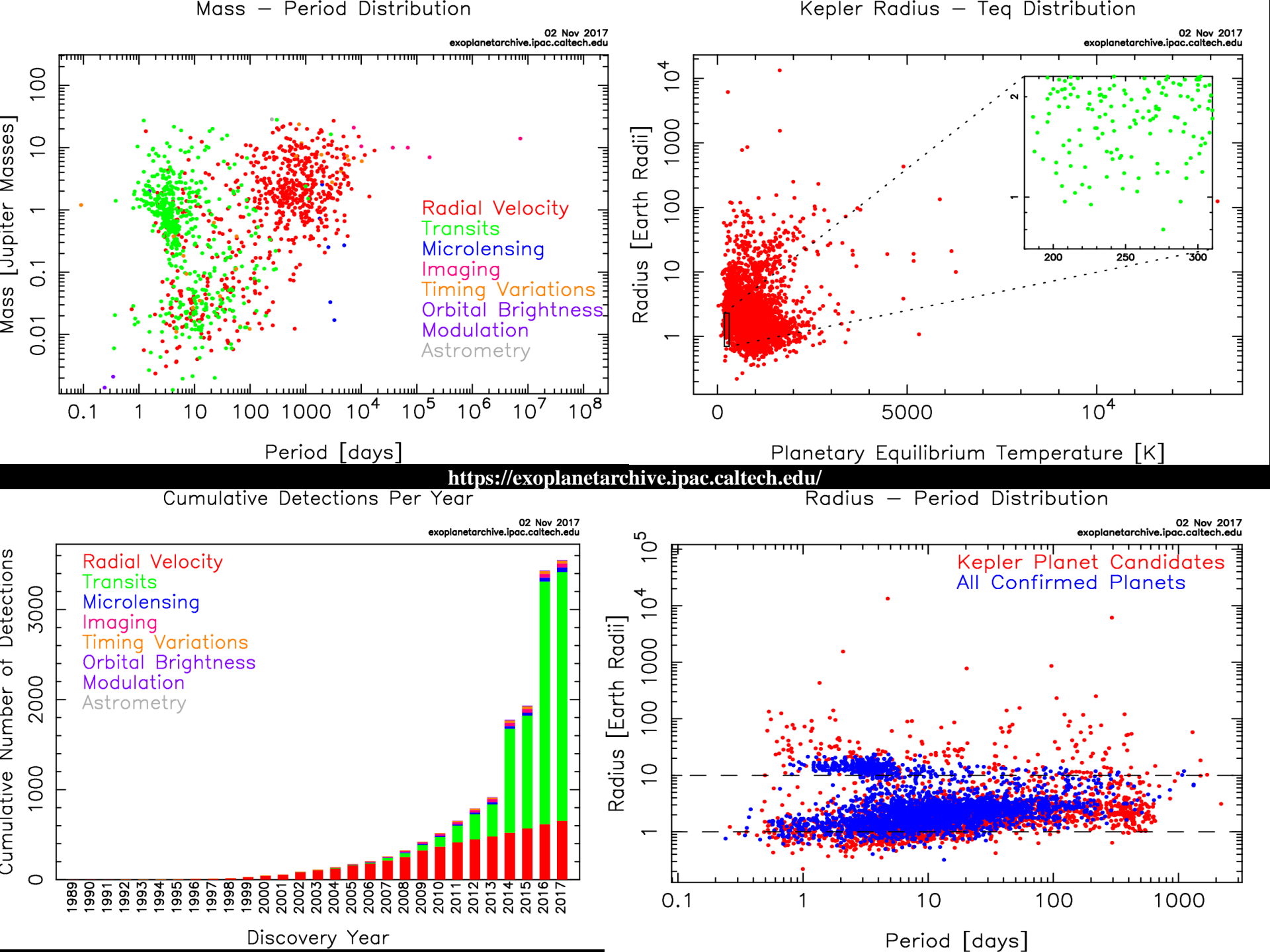
Das medidas obtemos 2 parâmetros principais: período e K e com eles determinamos os demais parâmetros (supondo que a massa da estrela é bem maior do que a do planeta e M+m ~ M). Não há como separar m e sin i sem informações adicionais.

A descoberta também é favorecida quando a estrela é de baixa massa. Estes resultados estão traduzidos de forma gráfica na figura:



<u>As tres linhas da </u> figura indicam os valores de K=30 m/s, K=10 m/s e K=3m/s. Para um planeta como Júpiter ao redor de uma estrela como o Sol, e à mesma distância da estrela que Júpiter do Sol, K=13 m/s. Esse valor está acima do limite dos espectrógrafos atuais e um planeta desse tipo poderá ser descoberto acumulando-se observações por um tempo longo (o período de Júpiter ao redor do Sol é 11,8 anos).

Já para um planeta como a Terra, a 1 UA de uma estrela como o Sol, K=10 cm/s. Isso é muito menos do que permitem os melhores espectrógrafos e menor do que as variações de velocidade na fotosfera de muitas estrelas devidas à turbulência.



## Alguns exemplos

# The Upsilon Andromedae System

0:06 AU 4.6 day orbit 75% Jupiter's Mass

0.83 AU 242 day orbit Twice Jupiter's Mass

2.5 AU 3.5 year orbit 4x Jupiter's Mass

# Our Inner Solar System

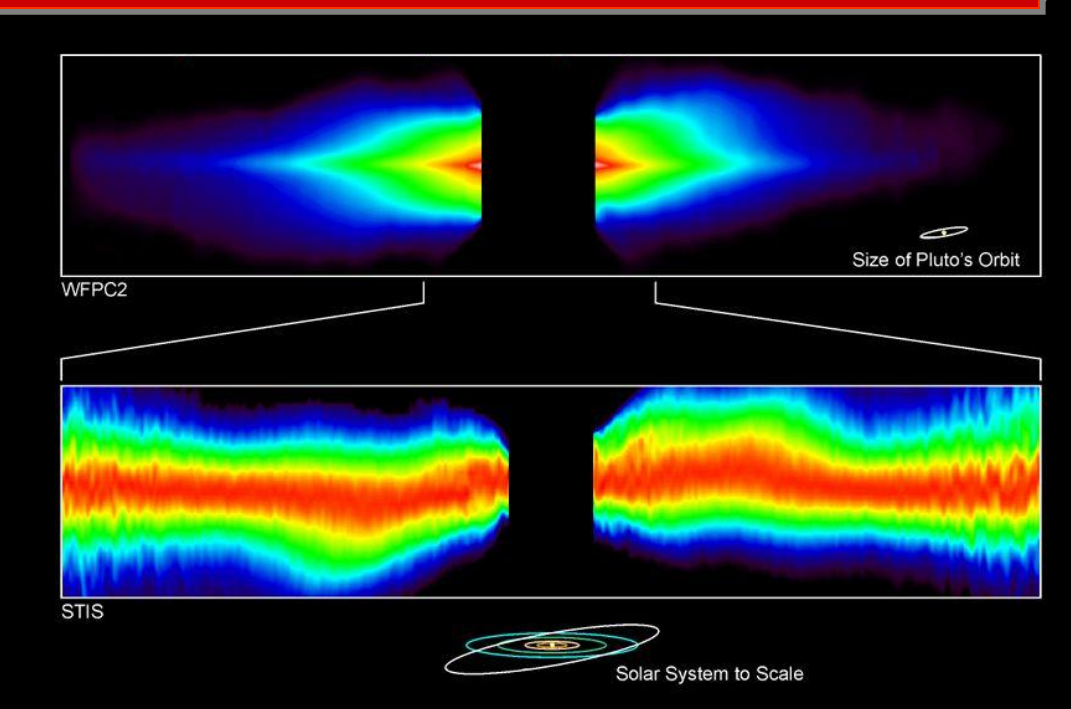
Mercury 0.39 AU 89 day orbit Venus 0.73 AU 228 day orbit

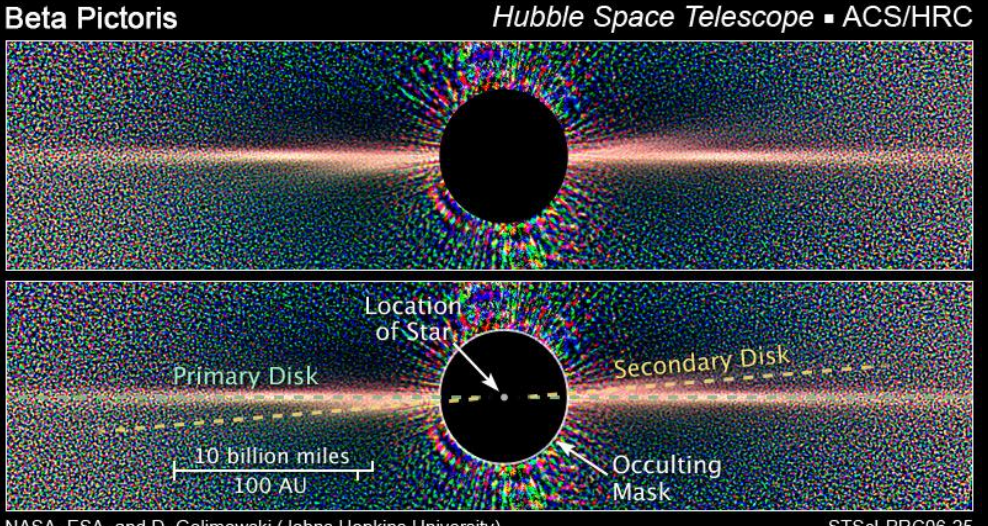
Earth 1.00 AU 1 year orbit Mars 1.54 AU 1.9 year orbit

Imagem da estrela beta da constelação do Pintor, obtida com coronógrafo estelar.

A estrela central é ocultada por um disco artificial no instrumento. (Smith & Terrile, 1987)

Disco secundário pode ser maior que 130 AU (HST 2006)

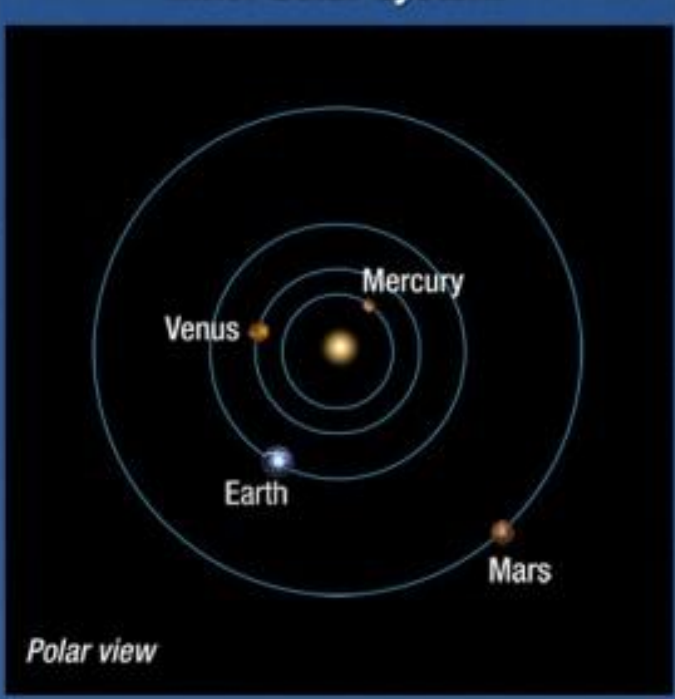




# Alguns exemplos

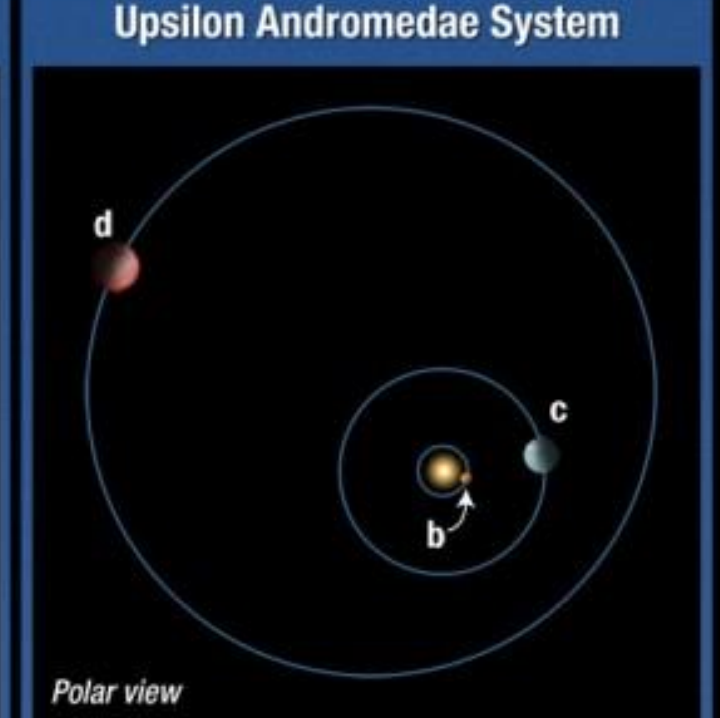
#### **Upsilon Andromedae**

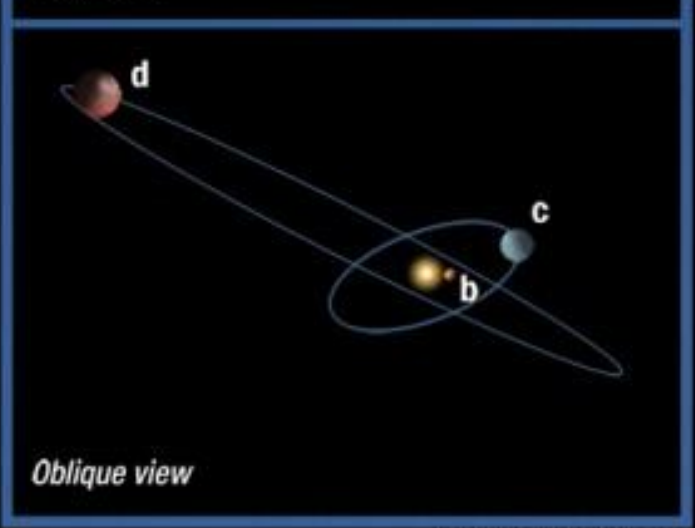
- semelhante ao Sol, porém um pouco mais jovem, mais massiva e mais brilhante
- 44 a.l. de distância
- conhecida há pouco mais de uma década
- tem 3 planetas do tipo de Júpiter
- 2 planetas têm órbitas inclinadas em ~ 30°
- é possível que haja um
   40. Planeta com órbita altamente excêntrica
- Causas possíveis para órbitas inclinadas:
  - √ migração interna dos planetas
  - ✓ ejeção de outros planetas do sistema, por interação mútua
  - √ influência da estrela companheira Upsilon B

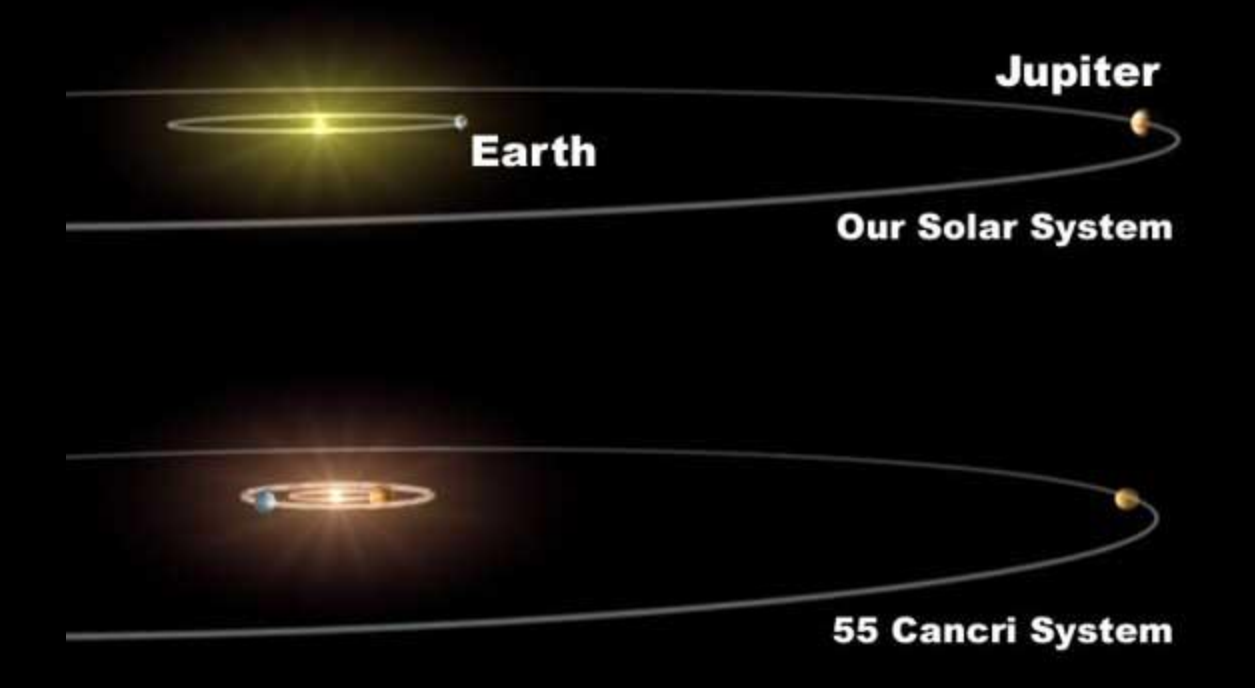


**Inner Solar System** 

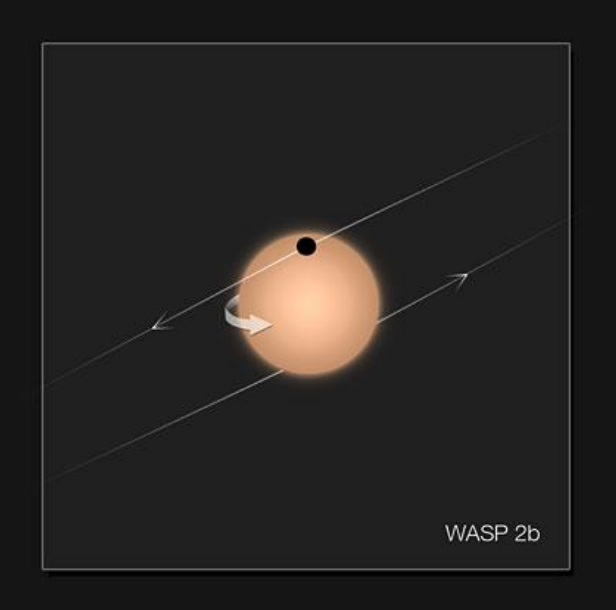




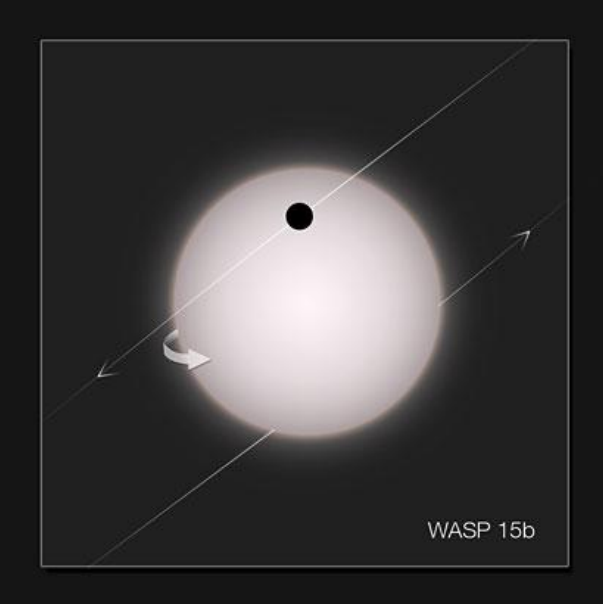


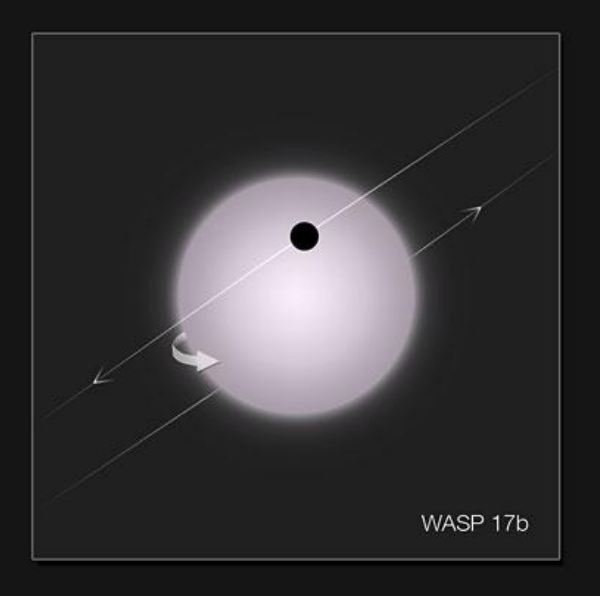


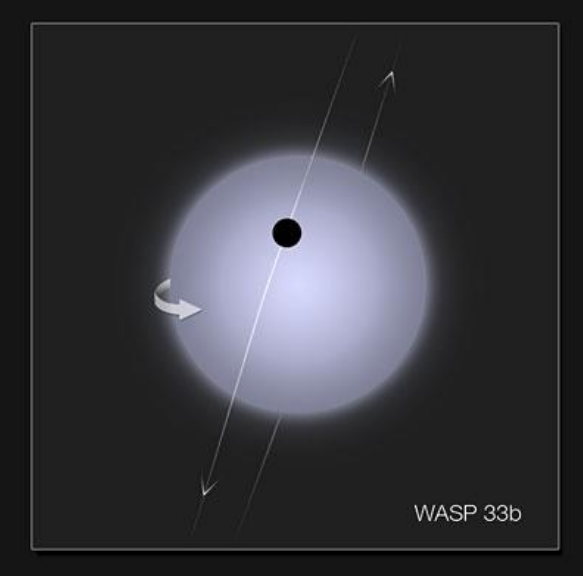
# Gigantes quentes com órbitas inclinadas

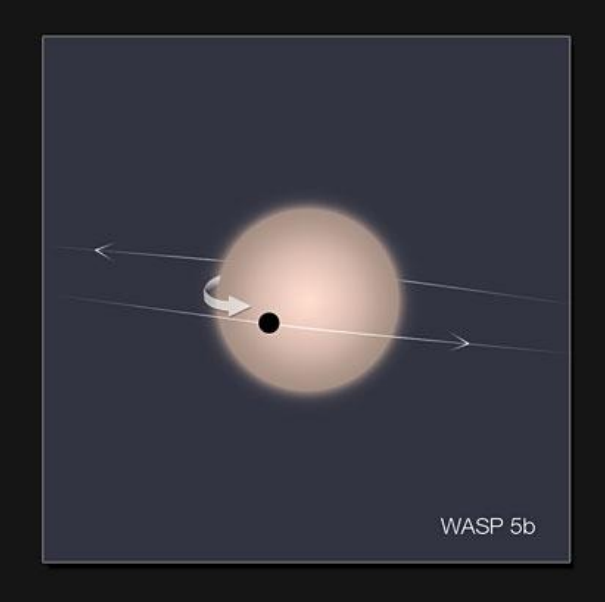




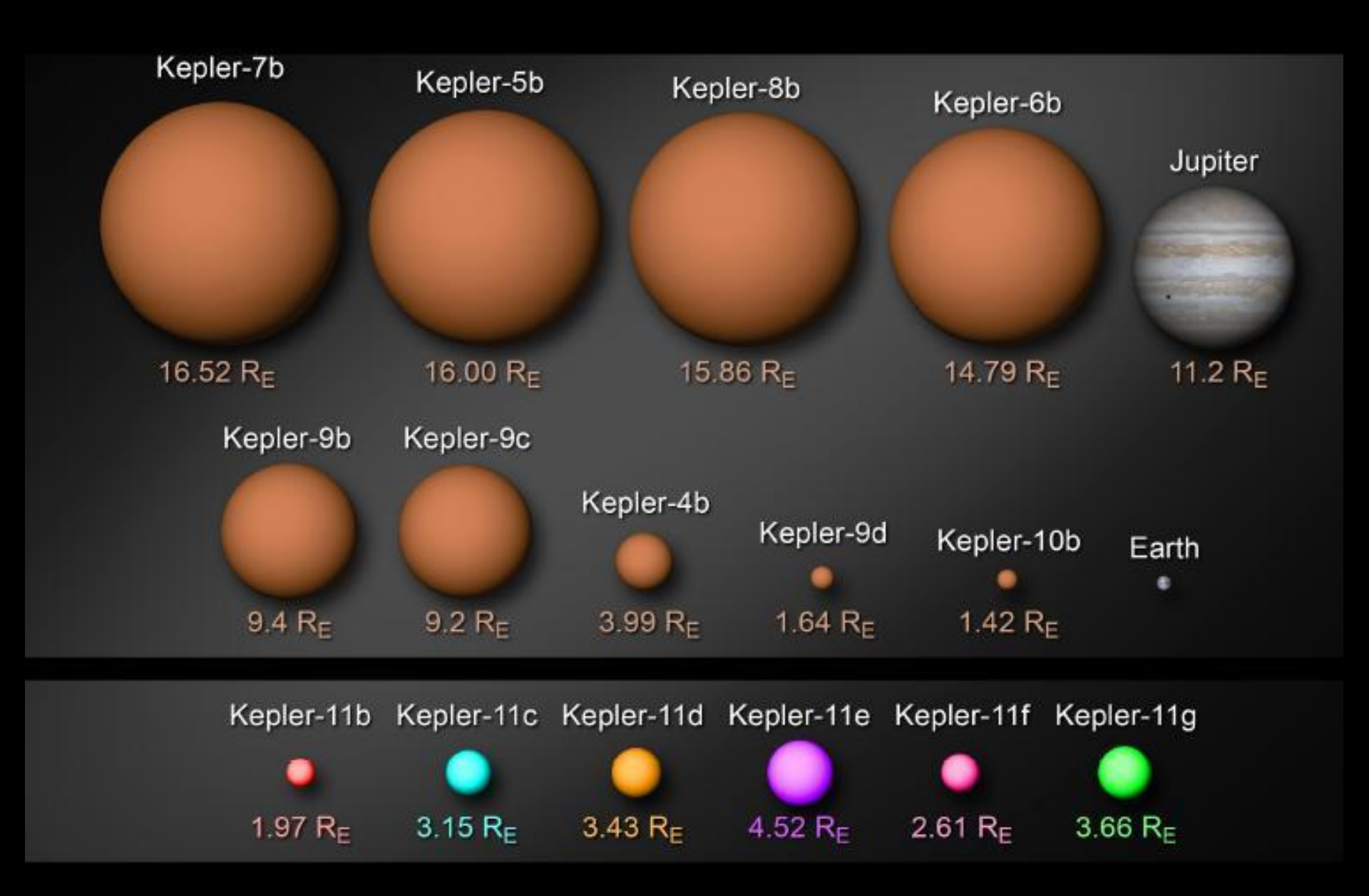






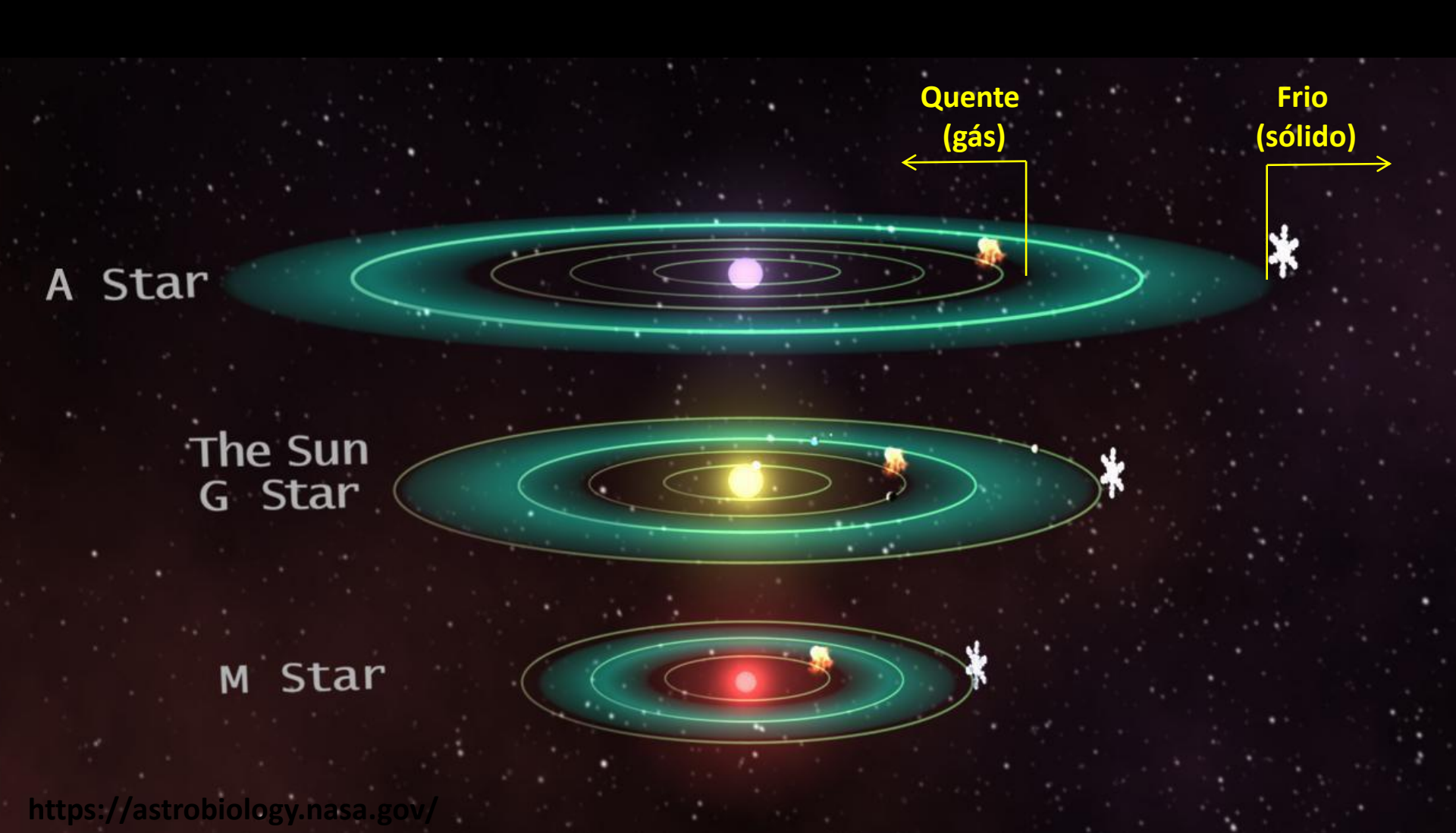


#### **Exoplanetas: Missão Kepler (Procura de Planetas Habitáveis)**



#### Zona Habitável

Região em torno de uma estrela onde a temperatura ambiente permite a existência de água líquida.

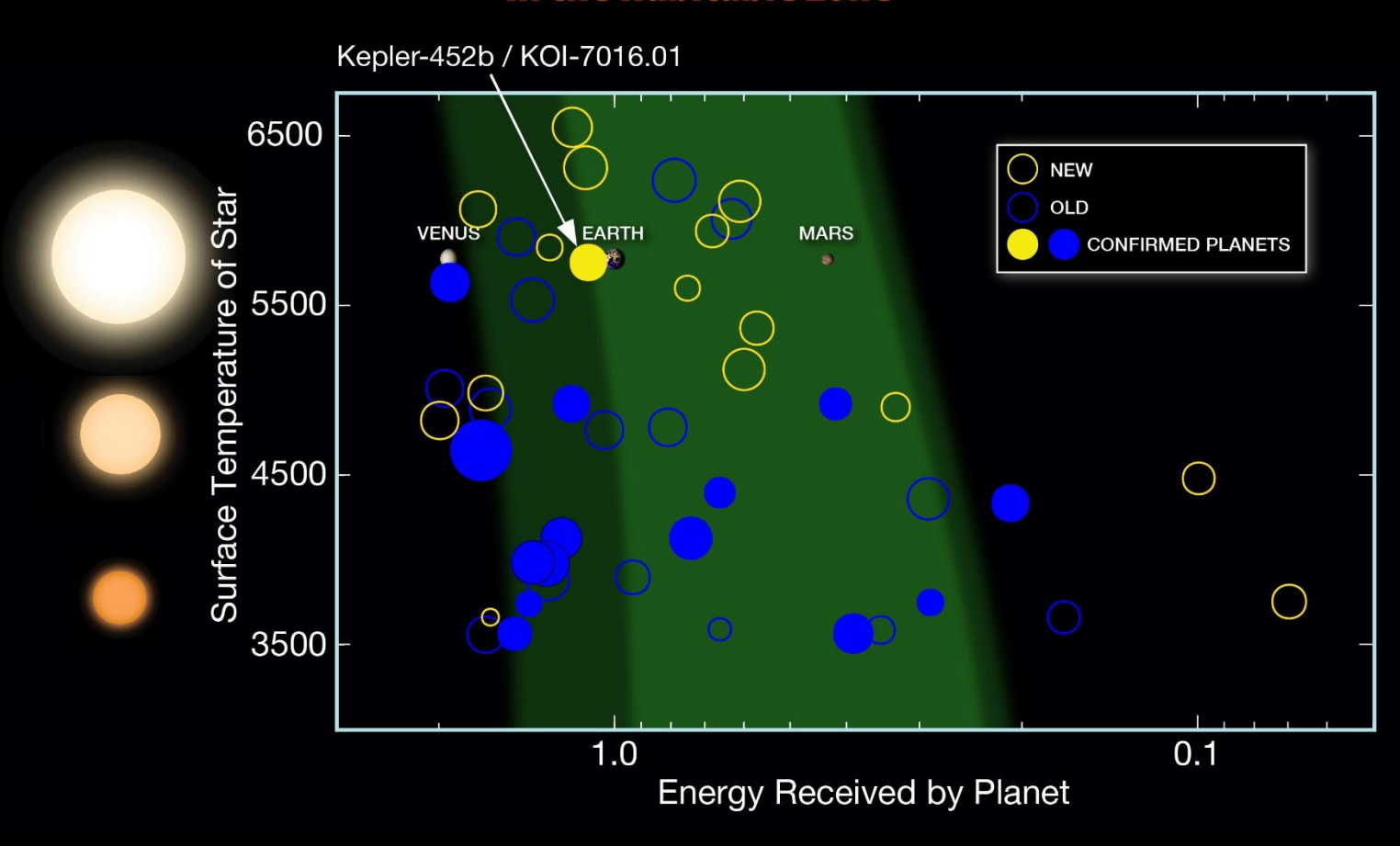


### Exoplanetas: o sistema Kepler-62

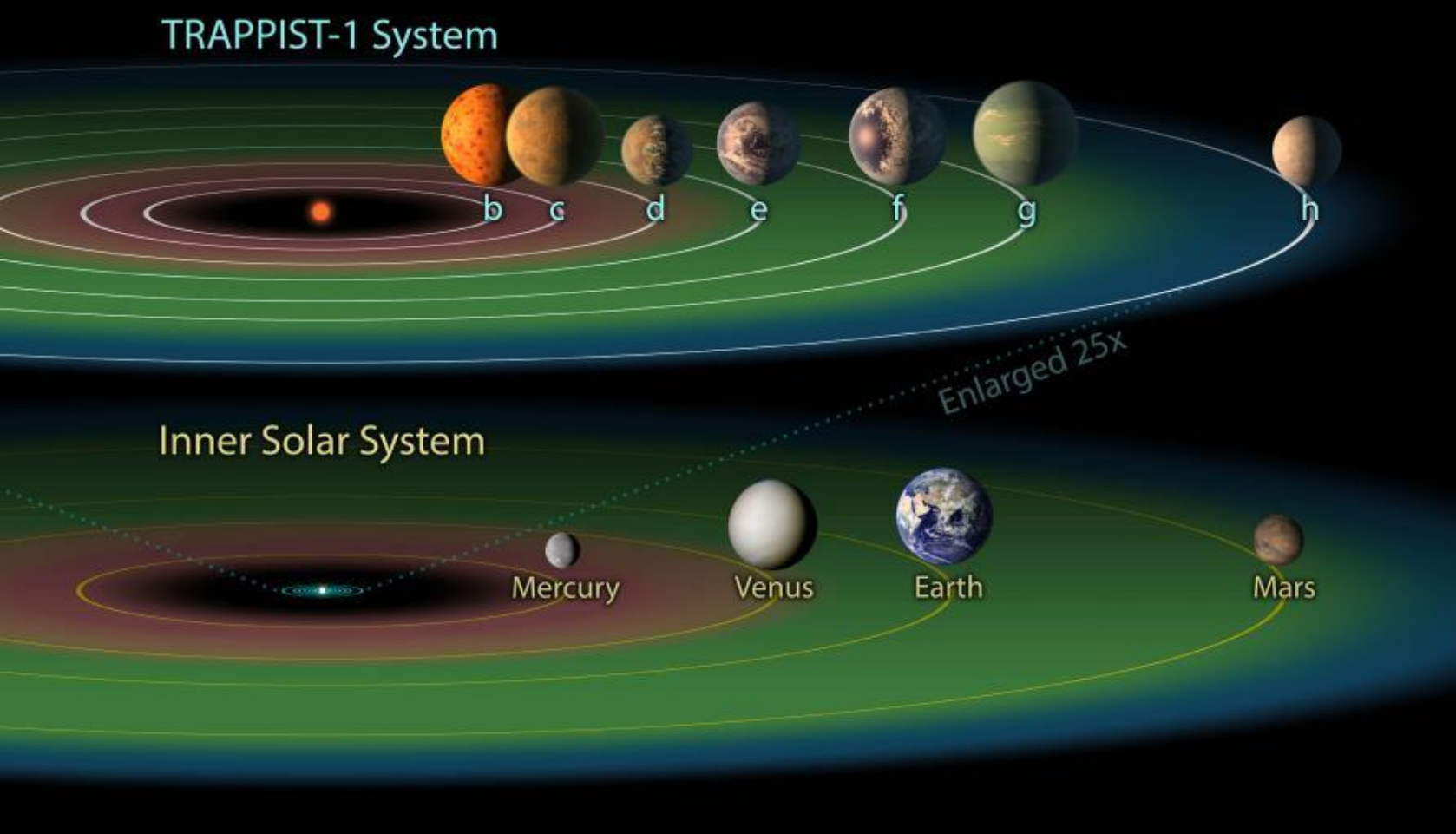


#### Exoplanetas pequenos na Zona Habitável - Missão Kepler

# Twelve New Small Kepler Candidates in the Habitable Zone

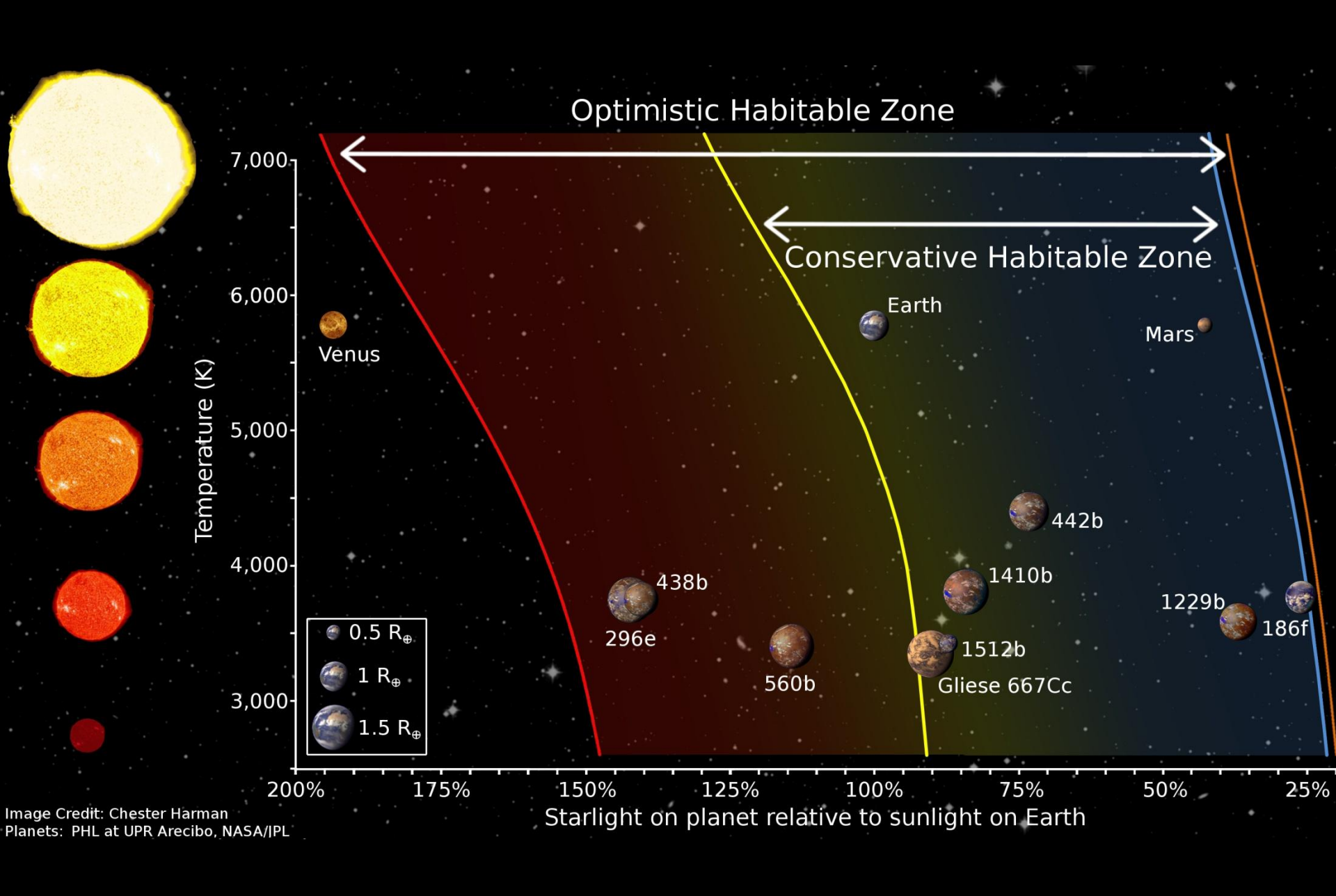


### Exoplanetas na Zona Habitável – sistema Trappist-1

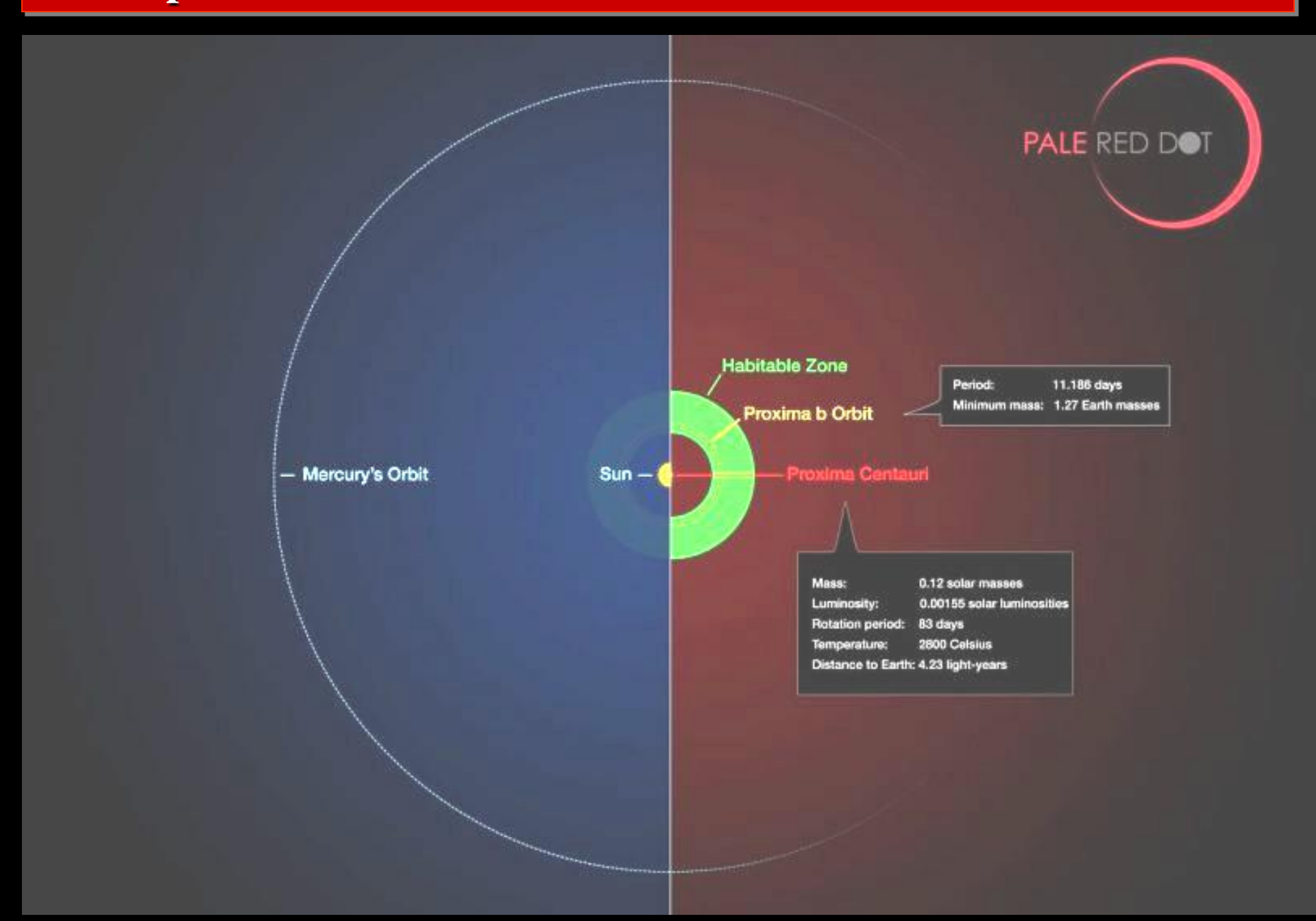


Illustration

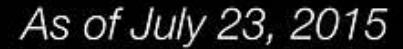
#### Exoplanetas na Zona Habitável

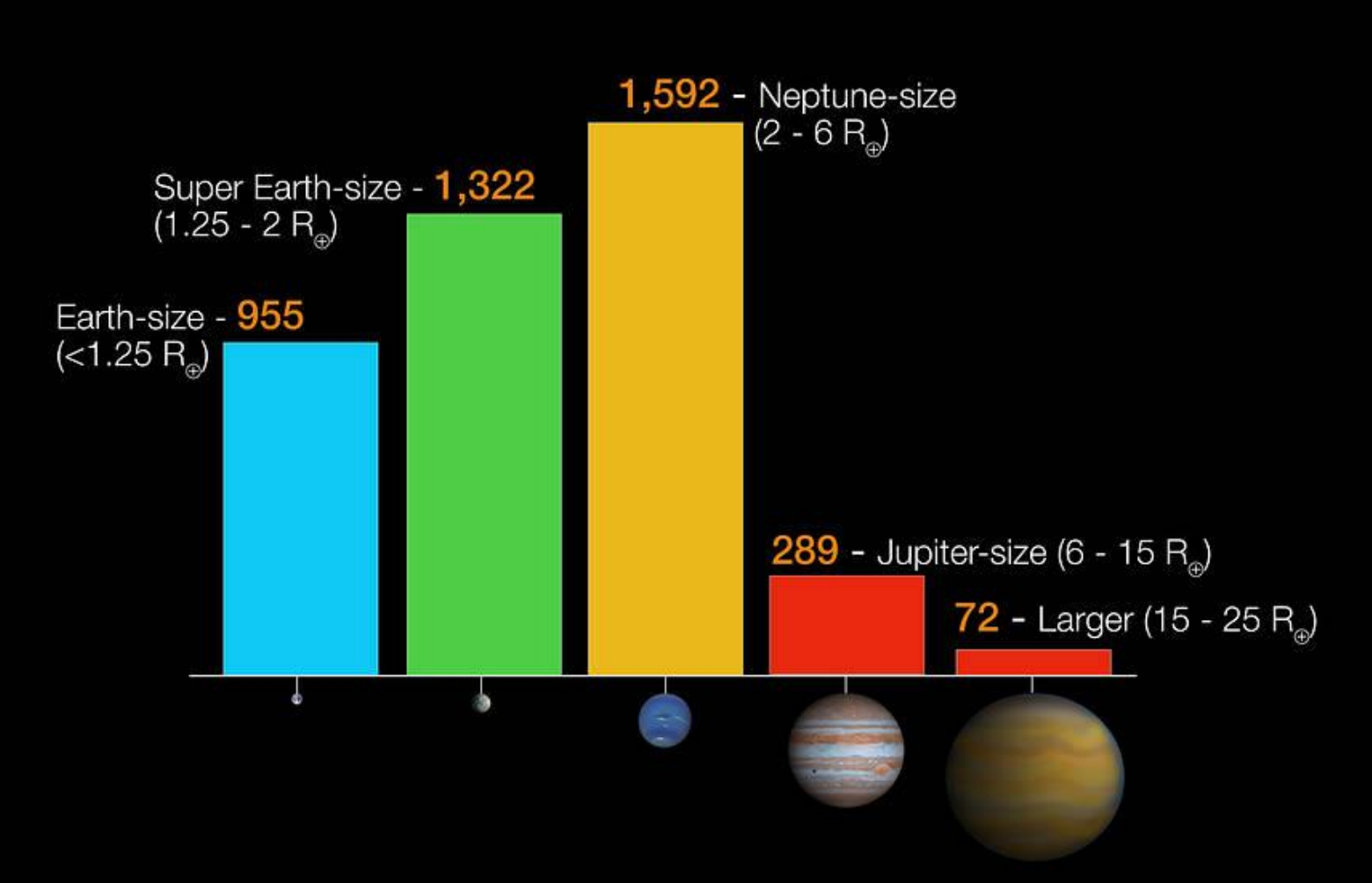


### Exoplanetas na Zona Habitável – sistema Próxima Centauro



#### Dimensões prováveis - Missão Kepler

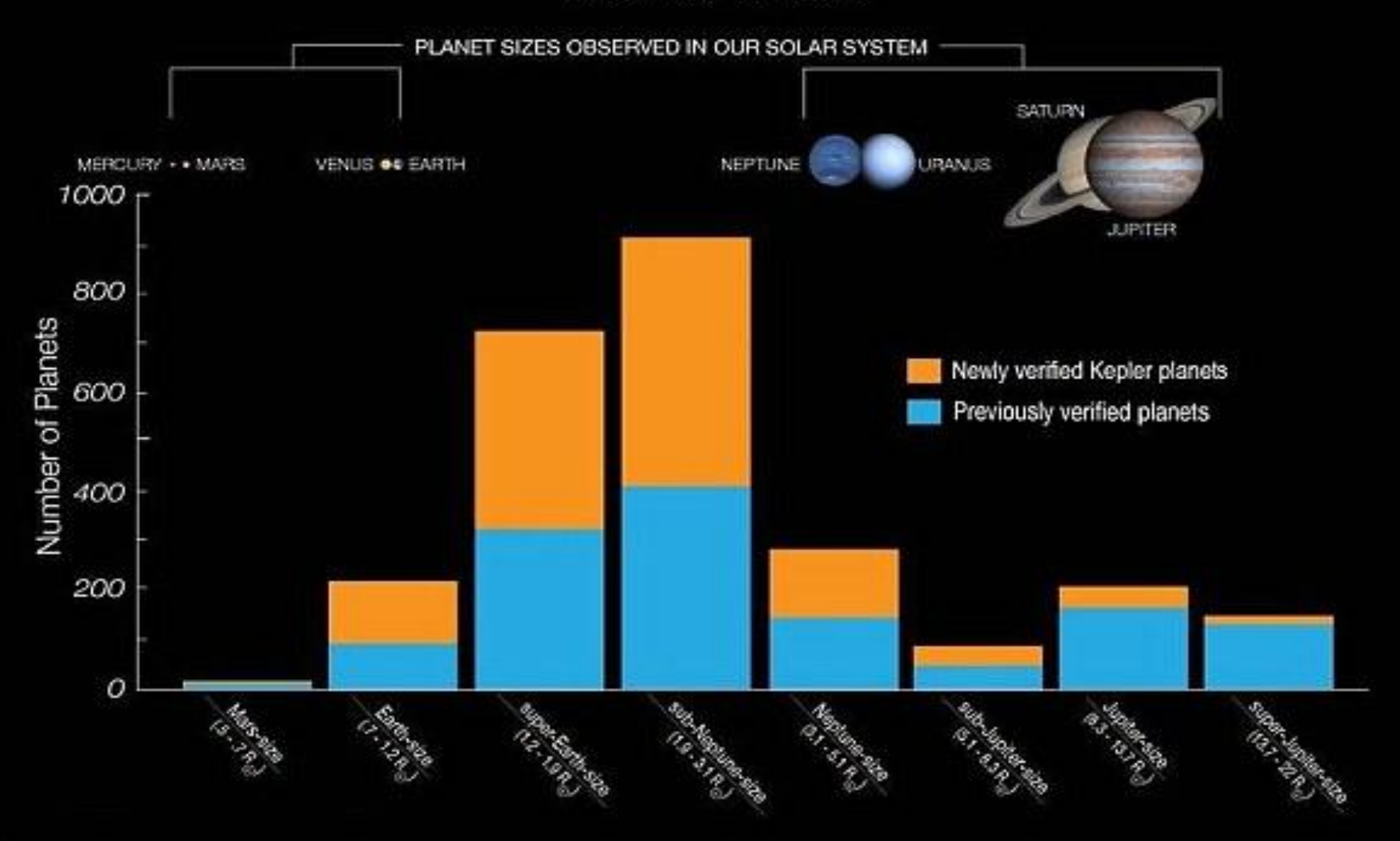




### Dimensões prováveis - Missão Kepler

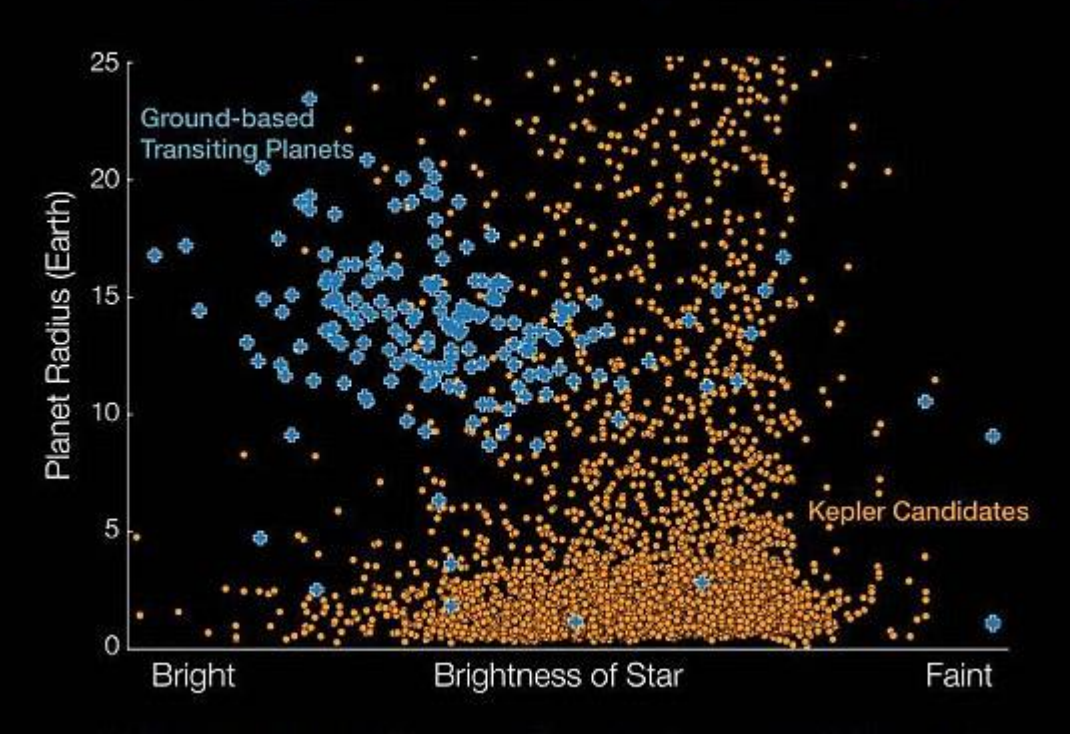
# Known Planets by Size

As of May 10, 2016



### Dimensões prováveis - Missão Kepler

### The Kepler Follow-up Challenge



Follow-up observations are time and resource intensive!
© NASA Ames/W. Stenzel; Princeton University/T. Morton

## Poucos gigantes gasosos são júpiteres-quentes



#### **Jupiter**

Composed primarily of hydrogen and helium
5 AU from the Sun
Orbit takes 12 Earth years
Cloud top temperatures ≈ 130 K
Clouds of various hydrogen compounds
Radius = 1 Jupiter radius
Mass = 1 Jupiter mass
Average density = 1.33 g/cm³
Moons, rings, magnetosphere



"Hot Jupiters" orbiting other stars

Composed primarily of hydrogen and helium
As close as 0.03 AU to their stars
Orbit as short as 1.2 Earth days
Cloud top temperatures up to 1,300 K
Clouds of "rock dust"
Radius up to 1.3 Jupiter radii
Mass from 0.2 to 2 Jupiter masses
Average density as low as 0.2 g/cm<sup>3</sup>
Moons, rings, magnetospheres: unknown

## Sobre a formação de sistemas planetários

Podemos explicar as peculiaridades das órbitas observadas?

Precisamos modificar a teoria de formação do Sistema Solar?

### Revisando a Teoria Nebular

- Essa teoria preve que planetas de grande massa como Júpiter não deveriam se formar na região interna a 5 UA (onde apenas rochas e metais se condensam).
- A presença de "júpiteres quentes" (gigantes gasosos muito próximos de suas estrelas) sugere o mecanismo de "migração planetária" (interação gravitacional desloca planetas na direção da estrela).

### Modificando a Teoria Nebular

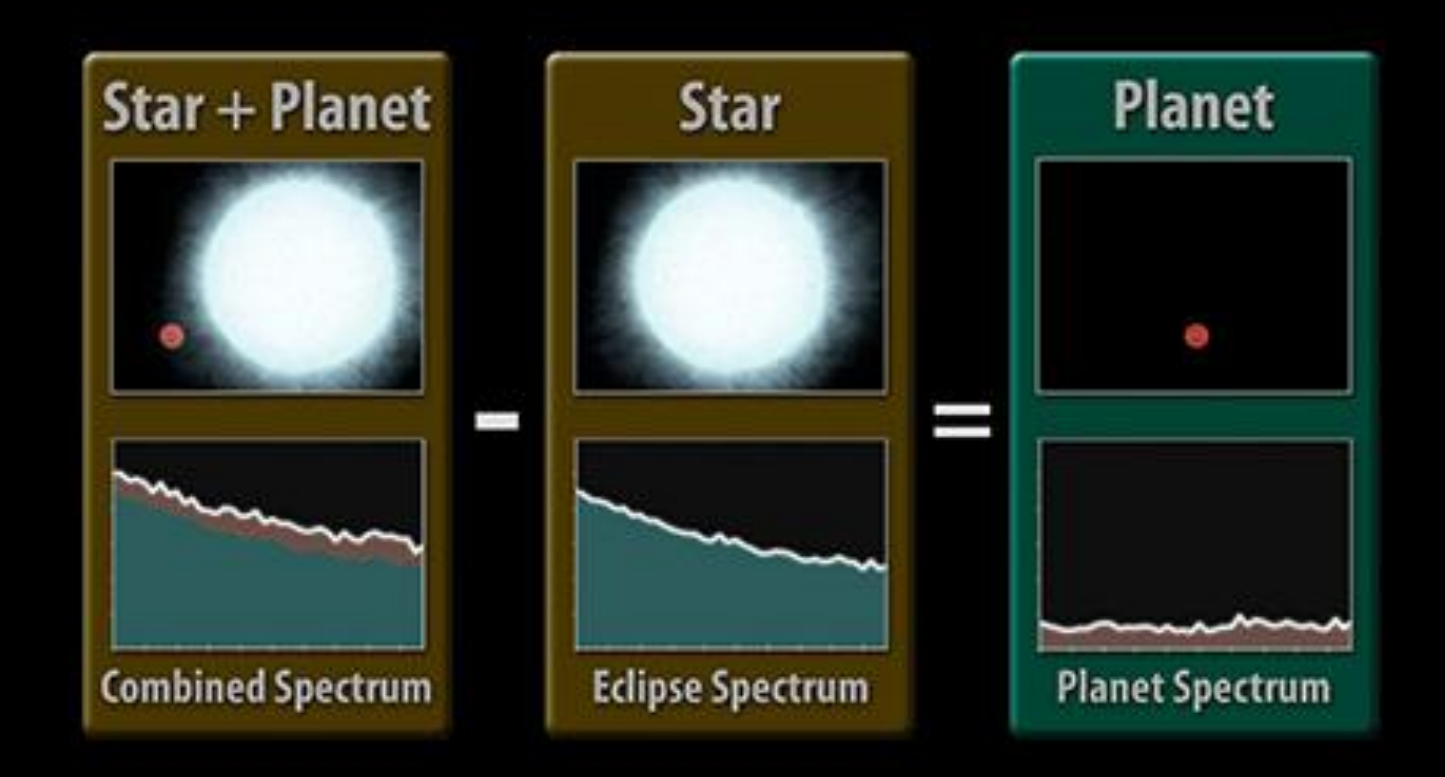
- Observações sugerem que a teoria nebular parece inadequada para explicar os sistemas planetários conhecidos.
- Migração planetária e encontros gravitacionais devem ser mais importantes do que se pensava.

### Exoplanetas são comuns ou raros?

• Uma em cada 10 estrelas examinadas tinham exoplanetas.

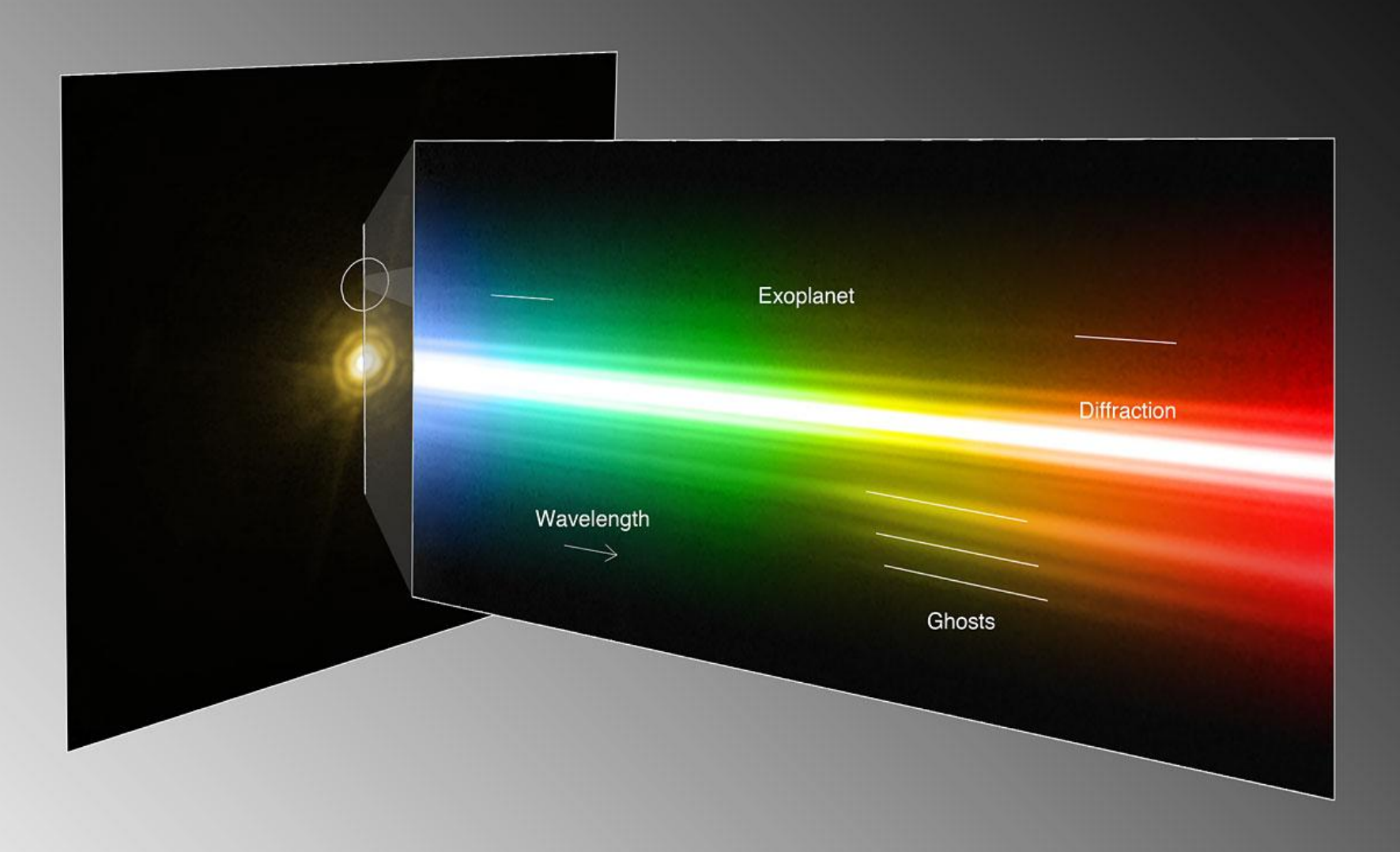
• As demais podem ter exoplanetas pequenos que ainda não podem ser identificados com a instrumentação e as técnicas atuais.

### Fotometria: extraindo espectro de exoplaneta

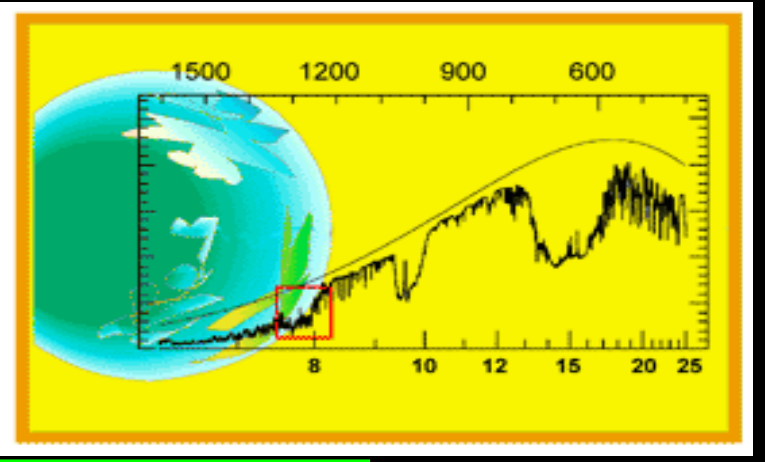


### Isolating a Planet's Spectrum

### Fotometria: extraindo espectro de exoplaneta



### Procura de planetas com alguma espécie de vida



Fonte: Christopher W. Churchill

